# ՄԵԽԱՆԻԿԱ

# МЕХАНИКА

# MECHANICS



Widowilliam.

#### А. М. СИМОНЯН

#### О ВЕРОЯТНОСТНОМ РАСЧЕТЕ СТАТИЧЕСКИ-НЕОПРЕДЕЛИ-МЫХ СТЕРЖНЕВЫХ СИСТЕМ ИЗ НЕЛИНЕЙНО-ДЕФОРМИРУЕМОГО МАТЕРИАЛА

Как известно, напражения, позникающие в стержнях статическинеопседелимых систем, зависят от д формативных характеристик этих стержней. Как правило, параметры, определяющие связь между деформациями и напряжениями, принимаются достоверными и приравниваются усредненным из достаточно большого количества соответствующих экспериментов. Однако, у элементов реальных конструкций параметры, определяющие деформационные свойства, не будут тождественно равны их усредненным акспериментальным значениям, причем расхождения эти будут тем больше, чем больше разброс экспериментальных данных, несмотря на то, что эти усредненные данные являются наиболее вероятными значениями рассматриваемых параметров. Этот вопрое приобретает особое значение в условиях ползучести, когда разброс деформационных криных значение в условиях ползучести, когда разброс деформационных криных значителен.

В настоящей работе рассматривае со вероятностный расчет статически-неопределимых стержневых систем, целью которого является определение вероятности того, что напряжения в стержиях систем заключены в произвольно заданных пределах. В терминологии [1] задача сведена к определению вероятностных свойств выходных параметров на основе вероятностных свойств стохастической системы. Определяются аналитические выражения для функции распределения выходных параметров без каких-либо ограничений в отношении изменчивости случайных величин, определяющих деформационные свойства матернала.

1. Постановка задачи. Задаются функции распределений нараметров. определяющих деформационные свойства стержней некоторой статически-неопределимой системы, и ищутся функции плотностей распределений напряжений, возникающих в этих стержнях.

В качестве плотностей распределения основного параметра полоучести здесь рассматриваются исследованные в работе [2] нормальный макон

$$f(x) = 1/1 \frac{2\pi \tilde{D}}{2\pi \tilde{D}} \exp[(x-m)^2/2D]$$
 (1.1)

где х — ковффициент при функционале ползучести, m — среднее арифметическое его значение,  $\bar{D}$  — выборочная дисперсия,

111 тип распределения Пирсона

$$f(x) = \begin{cases} a^{1}x^{x-1} \exp(-ax)/\Gamma(\gamma), & 0 < x < \infty, & \gamma > 1 \\ 0, & x \le 0 \end{cases}$$
 (1.2)

гле 
$$a = \frac{m}{\widetilde{D}}$$
,  $\gamma = \frac{m^2}{\widetilde{D}}$   $\Gamma = \Gamma$ амма-функция,

а также распределение

$$f(x) = \begin{cases} (bx^n + cx^n) \exp(-a^2x^2), & 0 \le x < \infty, \ b \ge 0, \ c \ge 0, \ n > 0, \ k > 0 \\ 0, \ x < 0 \end{cases}$$
(1.3)

где

$$a = \frac{(k-n)\,\bar{m}}{4\,(\bar{D}+\bar{m}^2)\,A\,(k,n)} +$$

$$+ \sqrt{\frac{(k-n)^{2}\widetilde{m^{2}}}{16 A^{2} (k, n) (\widetilde{D} + \widetilde{m^{2}})^{2}} + \frac{k+1}{2 (\widetilde{D} + \widetilde{m^{2}})} - \frac{(k-n) \Gamma(\frac{k+2}{2})}{2A (k, n) (\widetilde{m^{2}} + \widetilde{D}) \Gamma(\frac{k+1}{2})}}$$

$$4a^{\kappa+3} \qquad (k+1) = -\infty$$

$$b = \frac{4a^{n+3}}{(k-n)\Gamma(\frac{n+1}{2})} \left(\frac{k+1}{2a^2} - \tilde{D} - \tilde{m}^2\right)$$

$$c = \frac{2a^{k+1}}{\Gamma\left(\frac{k+1}{2}\right)} - ba^{k-n} \frac{\Gamma\left(\frac{n+1}{2}\right)}{\Gamma\left(\frac{k+1}{2}\right)}; \quad A\left(k,n\right) = \frac{\Gamma\left(\frac{k+2}{2}\right)}{\Gamma\left(\frac{k+1}{2}\right)} - \frac{\Gamma\left(\frac{n+2}{2}\right)}{\Gamma\left(\frac{n+1}{2}\right)}$$

$$B(k, n) = (k+1) \frac{\Gamma\left(\frac{n+2}{2}\right)}{\Gamma\left(\frac{n+1}{2}\right)} - (n+1) \frac{\Gamma\left(\frac{k+2}{2}\right)}{\Gamma\left(\frac{k+1}{2}\right)}$$

h и п — коэффициенты, подлежащие подбору при удовлетворении ряду условий [2]. Положим, что соотношения между деформациями и напряжениями в элементе і системы могут быть записаны согласно какой-либо из нижеприведенных теорий:

$$\varepsilon_i = x$$
.  $\tau_i^* f(t)$  (теория старения [3])

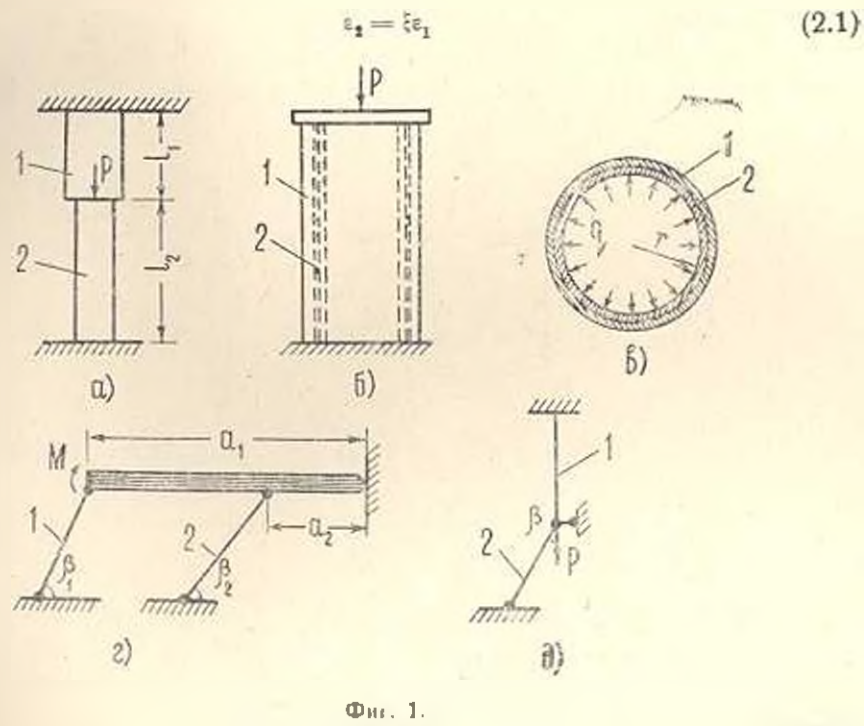
$$\frac{\partial t}{\partial t} = x_t \circ f(t) \text{ (теория течения [3])}$$

$$\varepsilon_l^{1/p} = \mathbf{x}_l^{1/p} = \left| z_l(t) + \int_0^t K(t, t) z_l(t) dt \right|$$
 (теорил наследственности [4])

$$\frac{\partial \varepsilon_i}{\partial t} = \mathbf{x}_i^* + \mathbf{\varepsilon}_l^{1-1}$$
 (гипотеза уравнения состояния [4])

$$\varepsilon_i = x \int_0^{a_i^{p-2}} (\cdot) \left| \int_0^a (\cdot) d\cdot \right| d^2$$
 (вариант теории разупрочнения [5]).

2. Двухстержневые статически-неопределимые системы. Рассмотрим задачи а—д, показанные на фиг. 1. Уравнения совместности и статики запишутся так:



 $\sigma_2 = P - \tau_i \sigma_1 \tag{2.2}$ 

где значения \$, 11 м P, соответственно рассмотренным задачам, можно взять из табл. 1 (индексы приняты соответственно номерам стержней).

					Таблица 1
Задачи	а	6	*	1	A
	$-I_1/I_2$	I	1	$\frac{a_1 l_2 \sin 8}{a_1 l_2 \sin 6}$	l1 cos 3
P	$-P^{j}F_{1}$	$-P/F_2$	gr/%2	M	F <sub>2</sub> cos B
η	$-F_{3}/F_{3}$	$F_1/F_2$	δ <sub>1</sub> /δ <sub>2</sub>	F,a, sin	F <sub>1</sub> cos S

Решая уравнения (2.1) и (2.2), согласно любой из теорий (1.4), получим

$$z_1 = P \xi^{-1/\rho} [(x_1/x_2)^{1/\rho} + \eta_5^{-1/\rho}]^{-1}$$
 (2.3)

Здесь и впоследствии для отрицательных значений аргумента степенная функция продолжается нечетно;  $x^n \equiv |x|^n \operatorname{sign} x$ .

Рассмотрим распределение у, определяемого равенством

$$y = [(x_1/x_2)^{1/\theta} + \theta]^{-1}$$
 (2.4)

в зависимости от распределения  $x_i$  и  $x_j$ . Для этого достаточно зафиксировать некоторое значение y и определить область изменения  $x_i$  и  $x_j$ , в которой значения  $y_i$  согласио (2.4), меньше фиксированиого, а затем я этой области осуществить интегрирование плотности распределения  $I(x_i, x_i)$ . При этом для функции распределения G(y) согласно [6], (с. 146), получим

$$G(y) = \int_{0}^{0} dx_{1} \left| \int_{y(x_{1})}^{y(x_{1})} f(x_{1}, x_{2}) dx_{1} + \int_{y(x_{2})}^{y(x_{2})} f(x_{1}, x_{2}) dx_{1} \right| + \int_{0}^{1} dx_{2} \int_{y(x_{2})}^{y(x_{2})} f(x_{1}, x_{2}) dx_{1}, \quad y > 0$$

$$(2.5)$$

$$G(y) = \int_{-\infty}^{a} dx_{1} \int_{-2(x_{1})}^{-\gamma(x_{1})} f(x_{1}, x_{1}) dx_{1} + \int_{0}^{-\zeta(x_{1})} f(x_{1}, x_{1}) dx_{1}, \quad y < 0$$
 (2.6)

rae 
$$(x_2) = x_2^{0^p}, \ \chi(x_2) = x_1 \left| \frac{1}{y} - 0 \right|^p$$

Aля плотности распределения  $g\left(y\right)=dG\left(y\right)/dy$  получим из (2.5) и (2.6)

$$g(y) = \frac{y}{y^2} \left| \frac{1}{y} - \frac{1}{y} \right|^{-1} \int |x_1| / \left| x_0 \left( \frac{1}{y} - \frac{1}{y} \right) \cdot x_0 \right| dx_1$$
 (2.7)

Отметим, что, вследствие независимости деформационных свойств стержней друг от друга.

$$f(x_1, x_2) = f(x_1) f(x_2)$$
 (2.8)

Принимая, что для распределения параметров x<sub>1</sub> и x имеет место нормальный закон (1.1), после ряда выкладок получим

$$\mathbf{x}(y) = \frac{\left| \left| \frac{1}{y} - \theta \right|^{p-1}}{2\pi y^{2} \sqrt[p]{D_{1}D_{1}}} \frac{\exp \left| \left| \Omega \left( y \right) - \frac{m_{1}}{2D_{1}} - \frac{m_{2}}{2D_{2}} \right|}{\frac{1}{2D_{1}} \left| \frac{1}{y} - \theta \right| + \frac{1}{2D_{2}}} \times \left| \exp \left[ -\Omega \left( y \right) \right] + V - \Omega \left( y \right) \text{ erf } \left| \left| \left| \Omega \left( y \right) \right| \right|_{1} - \pi < y < \infty \quad (2.9)$$

THE 
$$2(y) = \frac{1}{4} \left| \frac{m_1}{D_1} \left( \frac{1}{y} - \theta \right) + \frac{m_0}{D_2} \right|^2 \left| \frac{1}{2D_1} \left| \frac{1}{y} - \theta \right|^{2\varrho} + \frac{1}{2D_2} \right|^{-1}$$

а индексы при m и D соответствуют номеру стержия.

Плотности распределения о, и о- соответственно запишутся так:

$$\varphi_1(z_1) = \xi^{1/p} g(\xi^{1/p} z_1/\Gamma)/\Gamma$$
 (2.10)

$$\varphi_2(\sigma_3) = \frac{1}{\eta P} \, \xi^{1/\rho} g\left(\frac{P - \frac{1}{2}}{\eta P} \, \xi^{1/\rho}\right) \tag{2.11}$$

Для определения вероятности р нахождения в произвольно заданных пределах, например достаточно проинтегрировать (2.10) или (2.11) в этих пределах

$$p\left(\sigma_{i} \leqslant \sigma_{i} \leqslant \sigma_{i}\right) = \int_{\sigma_{i}} \Psi_{i}\left(\sigma_{i}\right) d\sigma_{i} \tag{2.12}$$

При использовании более точного для описания ползучести [2] распределения (1.3) после ряда выкладок получим

$$g(y) = \frac{1}{y} \left( \frac{1}{y} - \theta \right)^{p-1} \left[ b_1 \left( \frac{1}{y} - \theta \right)^{pn_1} \left[ T(y, n_1, n_2) b_1 + c_2 T(y, n_1, k_2) \right] + c_1 \left( \frac{1}{y} - \theta \right)^{pn_1} \left[ b_2 T(y, n_2, k_1) + c_2 T(y, k_1, k_2) \right] \right], \quad 0 < y < \frac{1}{\theta} \quad (2.13)$$

$$g(y) = 0, \quad y < 0 \text{ if } y > \frac{1}{\theta}$$

где

$$T(y, n, k) = \frac{1}{2} \Gamma\left(\frac{n + k + 2}{2}\right) \left[a_1^2 + a_1^2 \left(\frac{1}{y} - \theta\right)^{2p}\right]^{-\frac{n+2}{2}}$$

Менее громоздким оказывается выражение g(y) при использовании для  $x_1$  и  $x_2$  распределений Пирсона III типа (1.2)

$$g(y) = \frac{\Gamma(x_1 + x_1)}{\Gamma(x_1)\Gamma(x_2)} \rho y^{-2} a_1^{x_1} a_2^{x_2} (1/\rho - 6)^{\alpha_1 - 1} \left[ a_1 \left( \frac{1}{y} - 6 \right) + a_2 \right]^{-\alpha_2 - 1}$$

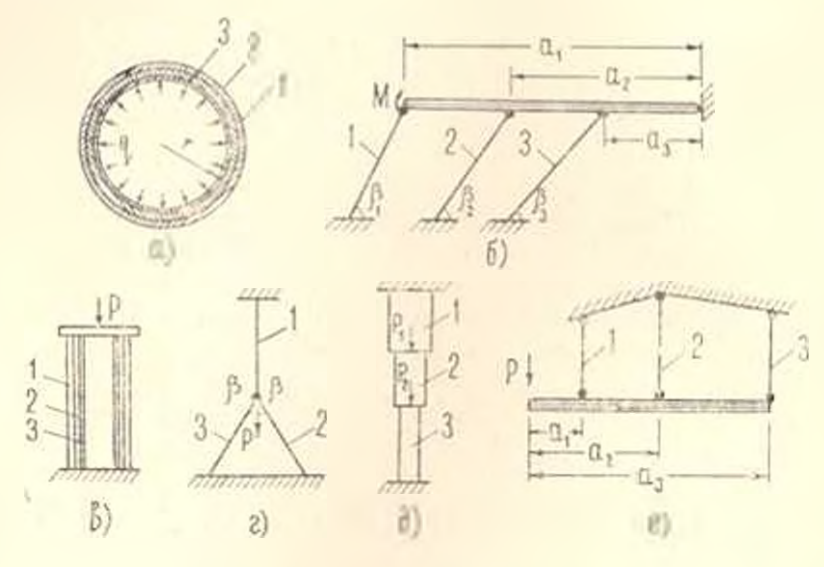
$$0 < y < \frac{1}{\rho}$$

$$g(y) = 0, \quad y < 0 \text{ if } y > \frac{1}{\rho}$$

$$(2.14)$$

Отметим, что использование пормального закона распределения (1.1) для параметра ползучести х вряд ли приемлемо, так как для х имеют смысл лишь положительные значения, с другой стороны, в этом случае выражение g (g) (формула (2.9)) менее удобно для применения, чем формулы (2.13) и (2.14). Это усложнение усугубляется при рассмотрении более сложных задач, поледствие чего ниже будут рассматриваться лишь распределения (1.2) и (1.3).

3. Трехстержневые статически-неопределимые системы. Рассматривая задачи а—с. показанные на фиг. 2. разделим их на три группы. Для задач а, 6 и в, входящих в первую группу, решение уравнении статики и совместности деформаций дает



Onr 2

$$\begin{split} \sigma_1 &= \mathbb{P}_1 \left[ 1 + \theta_1 \left( \frac{x_3}{x_3} \right)^{1/p} + \lambda_1 \left( \frac{x_3}{x_3} \right)^{1/p} \right]^{-1} \\ \sigma_2 &= \mathbb{P}_2 \left[ 1 + \theta_2 \left( \frac{x_2}{x_1} \right)^{1/p} + \lambda_2 \left( \frac{x_2}{x_3} \right)^{1/p} \right]^{-1} \\ \sigma_3 &= \mathbb{P}_3 \left[ 1 + \theta_3 \left( \frac{x_2}{x_1} \right)^{1/p} + \lambda_3 \left( \frac{x_3}{x_2} \right)^{1/p} \right]^{-1} \end{split}$$
(3.1)

 $heta_1= heta_1^{-1}, \quad = \quad heta_1= heta_1^{-1}, \quad \iota_1= heta_1\lambda_1$  , причем для задачи a  $heta_1= heta_2/\delta_1, \quad \iota_1= heta_3/\delta_1, \quad P_1=qr/\delta_1, \quad P_2=qr/\delta_2, \quad P_3=qr/\delta_2$ 

для задачи б

$$I = \frac{F_2 a_1 \sin \beta_2}{F_1 a_1 \sin \beta_1} \left( \frac{l_1 a_2 \sin \beta_2}{l_1 a_1 \sin \beta_1} \right)^{1/\alpha}, \quad i_1 = \frac{a_1 \sin \beta_1}{F_1 a_1 \sin \beta_1} \left( \frac{l_1 a_2 \sin \beta_2}{l_2 a_1 \sin \beta_1} \right)^{1/\alpha}$$

$$I'_{\ell} = \frac{a_{\ell}}{F_{\ell} a_{\ell} \sin \beta_1}, \quad \ell = 1, 2, 3$$

дан задачи в

$$\theta_1 = F_2/F_3$$
,  $\lambda_1 = F_4/F_3$ ,  $V_3 = -P/F_3$ ,  $V_4 = -P/F_4$ ,  $V_4 = -P/F_4$ 

$$y = [1 + \theta_1 (x_1/x_2)^{1/p} + \theta_1 (x_1/x_3)^{1/p}]^{-1}$$
(3.2)

Аналогично процедурам п. 2. а также учитывая  $x_t > 0$ , что соответствует (1,2) и (1,3), получим

$$G(y) = \int_{r_1(y)}^{\infty} g_{12}(x) dx \int_{0}^{\infty} g_{13}(x) dx + \int_{0}^{r_1(y)} g_{13}(x) dx \int_{r_1(y)}^{\infty} g_{13}(x) dx, \ 0 < y < 1 \quad (3.3)$$

где  $r_1(y)=(1/y-1)^r\,\theta_1^{-s},\; r_2(y)=(1/y-1-\theta_1x^{-sp})\,\theta_2^{-s}$  а через  $r_1(x_{ij})$  обозначена плотность распределения  $x_{ij}=x/x$ , которая определяется так:

$$g_{ij}(x_{ij}) = \frac{dG_{ij}(x_{ij})}{dx_{ij}} = \frac{d}{dx_{ij}} \left[ \int_{0}^{\infty} f(x_{i}) dx_{j} \int_{0}^{x_{j} \times t_{ij}} f(x_{i}) dx_{i} \right]$$
(3.4)

Для распределения Пирсона III рода (1.2) из соотношения (3.4) получим

$$q_{ij}(\mathbf{z}_{ij}) = \frac{\Gamma(\gamma_i + \gamma_j - 1)}{\Gamma(\gamma_i)\Gamma(\gamma_j)} \mathbf{a}_i^{\gamma_i} \mathbf{a}_j^{\gamma_j} \mathbf{z}_{ij}^{\gamma_j - 1} (\mathbf{a}_i - \mathbf{a}_i \mathbf{z}_{ij})$$
(3.5)

Отсюда для д (у) паходим выражение

$$g(y) = \frac{\rho a_{1}^{2\gamma_{1}} a_{2}^{\gamma_{2}} a_{3}^{\gamma_{3}} \Gamma(\gamma_{1} + \gamma_{2} - 1) \Gamma(\gamma_{1} + \gamma_{3} - 1)}{(\theta_{3} \theta_{2})^{\rho \gamma_{1}} \Gamma^{2}(\gamma_{1}) \Gamma(\gamma_{2}) \Gamma(\gamma_{3}) y^{2}} \left(\frac{1 - y}{y}\right)^{2\rho y_{1} - 1} \times \\ \times \int_{0}^{1} \left[a_{2} + a_{1} \left(\frac{1}{y} - 1\right)^{\rho} \xi \theta_{1}^{-\rho}\right]^{1 - \gamma_{1} - \gamma_{2}} \left[a_{3} + a_{1} \left(\frac{1}{y} - \theta\right)^{\rho} (1 - \xi^{1/\rho})^{\rho} \theta_{2}^{-\rho}\right]^{1 - \gamma_{1} - \gamma_{2}} \times \\ \times (1 - \xi^{1/\rho})^{\rho \gamma_{1} - 1} \xi^{\gamma_{1} - 1} d\xi, \quad 0 < y < 1$$

$$g(y) = 0, \quad y < 0, \quad y > 1$$
(3.6)

Аналогично п. 2 здесь имеем

$$\varphi_{1}(\sigma_{1}) = 1/P g(\sigma_{1}/P)$$

$$p(\sigma_{1}) = \varphi_{1}(\sigma_{1}) d\sigma_{1}$$
(3.7)

Для вероятностного расчета  $\sigma_{e}$  достаточно в формулах (3.6) и (3.7) поменять местами индексы 1 и 2, для расчета же  $\sigma_{e}$  — индексы 1 и 3.

Если распределение (1.2) для основного параметра ползучести х неудовлетворительно для описания разброса экспериментальных данных, представляется целесообразным использование распределения (1.3), в котором путем выбора показателей k и n возможно приближение к экспериментальным данным. Для нижеследующих аналитических выражений распределение (1.3) в применении к i-му стержню удобнее записать в виде

$$f_i(x_i) = \sum_{j=1,2} b_{ij} x^{n_{ij}} \exp(-a(x_i)), \quad i = 1, 2, 3, \quad 0 < x < \infty$$
 (3.8)

После ряда выклядок получим

$$\begin{array}{lll}
& (n) = \frac{(1 y - 1)}{4\theta_1 \theta_2 y^2} & \sum_{l \in \mathcal{S}} b_{l \in \mathcal{S}} b_{l \in \mathcal{S}} & \sum_{l \in \mathcal{S}} a_{l i} + a_{2i} + 1 \\
& \times \Gamma\left(\frac{n_{1i} + n_{2k} + 1}{2}\right) \Gamma\left(\frac{n_{1i} + n_{2i} + 1}{2}\right) (1/y - 1)^{2\rho} \left(\frac{n_{1i} + n_{2i} + 1}{2}\right) \\
& \times \int_{1}^{1} \left[a_2^2 + a_1^2 (1/y - 1)^{2\rho} \theta_1^{-2\rho} \xi^2\right] & \times \\
& \times \int_{1}^{1} \left[a_2^2 + a_1^2 (1/y - 1)^{2\rho} \theta_1^{-2\rho} \xi^2\right] & \times \\
& \times \int_{1}^{1} \left[a_2^2 + a_1^2 (1/y - 1)^{2\rho} \theta_1^{-2\rho} \xi^2\right] & \times \\
& \times \left[(1 - \xi)\right] & \int_{1}^{2\rho} a_{1i} + \frac{\rho - 1}{2\rho} d\xi, \quad 0 < y < 1 \\
& \times \xi \left[(1 - \xi)\right] & \int_{1}^{2\rho} a_{1i} + \frac{\rho - 1}{2\rho} d\xi, \quad 0 < y < 1 \\
& g(y) = 0, \quad y < 0, \quad y > 1
\end{array}$$
(3.9)

где суммирование производится по всем комбинациям i, i, i, принимающим значения 1 и 2, то есть в данном случае складываются из 16 членов. Использование (3.9) для вероятностного расчета  $\sigma_i$ ,  $\sigma_i$  и  $\sigma_i$  совершенно аналогично вышеописанному использованию (3.6).

Рассмотрим теперь задачу г (фиг. 2). Напряжения в стержиях определяются формулами

$$\sigma_{1} = \frac{P}{F_{1}} \left[ 1 + \frac{2F_{0}\cos\beta}{F_{1}} \left( \frac{2l_{1}\cos\beta}{l_{2}} \right)^{1/p} \left( \frac{x_{2}}{x_{1}} + \frac{x_{3}}{x_{1}} \frac{F_{2}^{p}}{F_{1}^{p}} \right)^{-1/p} \right]^{-1}$$

$$\sigma_{2} = \frac{F_{1}\sigma_{1} - P}{2F_{2}\cos\beta}, \quad \sigma_{3} = \frac{F_{2}\sigma_{2}}{F_{3}}$$
(3.10)

Положим

$$y = [1 + \omega (z_{21} + \alpha z_{31})^{-1/p}]^{-1}$$
(3.11)

rae  $x_{ij} = x/x_i$ .

Функция распределения G(y) для (3.11) я предположении x > 0, что соответствует (1.2) и (3.8), запишется тах:

$$G(y) = \int_{0}^{q_{1}(y)} g_{21}(x) dx \int_{0}^{q_{2}(y)} g_{21}(x) dx \quad 0 < y < 1$$
 (3.12)

где

$$q_1(y) = \left(\frac{\omega y}{1-y}\right)^{\theta}, \quad q_2(y) = \frac{1}{\alpha} \left[\left(\frac{\theta y}{1-y}\right)^{\theta} - x\right]$$

а  $g_{21}(x)$  и  $g_{31}(x)$  — плотности распределения  $x_{31}$  и  $x_{31}$ . После ряда выкладок для плотности распределения  $g\left(y\right)=dG\left(y\right)/dy$  соотнетственно III типу распределения Пирсона (1.2) получим следующее ныражение:

$$g(y) = \rho w^{\frac{1}{3} - \frac{1}{3}} a_{3}^{\frac{1}{3}} a_{2}^{\frac{1}{3}} \frac{\Gamma(\gamma_{1} + \gamma_{2} - 1) \Gamma(\gamma_{1} + \gamma_{2} - 1)}{\Gamma^{2}(\gamma_{1}) \Gamma(\gamma_{2}) \Gamma(\gamma_{3}) y^{2}} \left(\frac{y}{1 - y}\right)^{\ell(\gamma_{1} + \gamma_{2}) + 1} \times \\ \times \int_{0}^{1} \left[ a_{1} + a_{2} \xi \left(\frac{\omega y}{1 - y}\right)^{\ell} \right]^{1 - \gamma_{1} - \gamma_{1}} \left[ a_{1} + \frac{a_{1}}{a} \left(\frac{\omega y}{1 - y}\right)^{\ell} (1 - \xi) \right]^{1 - \gamma_{1} - \gamma_{1}} \times \\ \times \Gamma^{n-1} \left(1 - \xi\right)^{\gamma_{1} - 1} d\xi, \quad 0 < y < 1$$

$$g(y) = 0, \quad y < 0, \quad y > 1$$
(3.13)

соответственно же распределению (3.8) или, что то же. (1.3) будем иметь

$$\begin{split} g\left(y\right) &= \frac{\rho}{4} \sum_{i_1,i_2,i_3} a^{-n_{1j}} b_{1i} b_{1j} b_{2k} b_{3l} \left(1-y\right)^{\rho(n_{1l}+n_{1l})-1} y^{\rho(n_{2k}+n_{3l}+2)-1} \times \\ &\times \Gamma\left(\frac{n_{1i}+n_{2k}+1}{2}\right) \Gamma\left(\frac{n_{1i}+n_{3i}+1}{2}\right) w^{\rho(n_{2k}+n_{3l}+2)} \cdot \\ &\times \sqrt{\left[a_1^* \left(1-y\right)^{2\rho} + a_1^* w^{2\rho} y^{2\rho} \xi^2\right]} \times \end{split}$$

$$\times \left[a_1^{2}a^2(1-y)^2 + a_3^2 \omega^{2\rho}y^{2\rho}(1-\xi)^2\right]^{\frac{n_{1j}+n_{3l}+1}{2}} \frac{n_{2k}}{\epsilon} (1-\xi)^{\frac{n_{3l}}{2}} d^{\frac{1}{2}}, \quad (3.14)$$

$$0 < y < 1$$

$$g(y) = 0, y < 0, y > 1$$

Принимая  $\alpha = (F_2 F_1)^t$ ,  $\omega = 2F_2 F_1 (\cos 9)^{1+1}$ ,  $(2I_3/I_2)^1$ , при сравнении (3.10) и (3.11) получим

$$\varphi_{1}(z_{1}) = \frac{F_{1}}{P} g\left(\frac{F_{1}z_{1}}{P}\right)$$

$$\varphi_{1}(z_{2}) = \frac{2F_{2}\cos\beta}{P} g\left(1 + \frac{2}{P}F_{2}z_{2}\cos\beta\right)$$

$$\varphi_{1}(z_{2}) = \frac{2F_{2}\cos\beta}{P} g\left(1 + \frac{2}{P}F_{2}z_{3}\cos\beta\right)$$
(3.15)

Рассмотрим теперь задачи g п e (фиг. 2). Для определения напряжения  $\sigma_e$  получим уравнение

$$A(s_1) = s_1 - s_1(1 - bs_1)^t x_2/x_1 - s_2(1 - cs_1) x_2/x_1 = 0 (3.16)$$

где для задачи д

$$s_1 = \frac{l_1}{l_1} \left( \frac{P_1}{P_2} \right)^m$$
,  $s_2 = \frac{l_2}{l_1} \left( \frac{P_1 + P_2}{F} \right)^m$ ,  $b = \frac{F_1}{P_1}$ ,  $c = \frac{F_1}{P_1 + P_2}$ 

для задачи с

$$s_{1} = \frac{(a_{1} - a_{1}) a_{3}^{m} l_{2}}{(a_{3} - a_{1})^{m}} \left(\frac{P}{F_{1}}\right)^{m}, \qquad s_{1} = \frac{(a_{1} - a_{1}) a_{3}^{m} l_{1}}{(a_{3} - a_{1}) (a_{3} - a_{2})^{m} l_{1}} \left(\frac{P}{F_{3}}\right)^{m}$$

$$b = (1 - a_{1}/a_{3}) F_{1}/P, \qquad c = (1 - a_{1}/a_{2}) F_{1}/P$$

Функция распределения  $G(\sigma_i)$ , согласно (3.16), при условии  $x_i \gg 0$  определится так:

$$G(z_{1}) = \int_{0}^{z_{1}(z_{1})} g_{11}(x) dx \int_{0}^{z_{2}(z_{1}, x)} g_{21}(x) dx, \quad 0 < z_{1} < \frac{1}{b}$$

$$G(z_{1}) = \int_{0}^{z_{2}} g_{21}(x) dx \int_{0}^{z_{1}(z_{1}, x)} g_{21}(x) dx, \quad \frac{1}{b} < z_{1} < \frac{1}{c}$$
(3.17)

где

$$v_{z}(x) = \frac{1}{2} \left( \frac{x}{1 - bx} \right), \quad v_{z}(x, y) = \frac{x^{p} - 2}{2} \frac{(1 - bx)^{p} y}{(1 - cx)^{p}}$$

В применении к распределению Пирсона (1.2) отсюда получим нижеследующие выражения для  $q_1(\sigma_1)$  — плотиости распределения  $\sigma_1$ 

$$\varphi_{1}(z_{1}) = \frac{\Gamma(\gamma_{1} + \gamma_{2} - 1) \Gamma(\gamma_{1} + \gamma_{3} - 1)}{\Gamma(\gamma_{2}) \Gamma(\gamma_{2}) \Gamma(\gamma_{3}) (1 - bz_{1})^{\beta f_{1}} (1 - cz_{1})^{\beta f_{2} + 1}} \times \\
\times \int \left[ \left[ a_{1} + a_{1} \frac{1}{2} \frac{1}{2} \frac{1}{1 - bz_{1}} \right]^{1 - \gamma_{1} - \gamma_{2}} \left[ a_{1} - a_{1} \frac{1}{2} \frac{1}{2} (1 - cz_{1})^{\beta} \right] \right] \times (3.18) \\
\times \xi^{(a-1)} (1 - \varepsilon)^{\alpha - 1} = \left[ 1 + (b - c) \frac{a_{1}}{1 - bz_{1}} \right] d\xi \times \left[ \frac{1}{b} \right] \\
\times \left[ \frac{(a_{1}^{2} + a_{2}^{2} + a_{3}^{2}) \Gamma(\gamma_{1} + \gamma_{2} - 1) \Gamma(\gamma_{1} + \gamma_{3} - 1) z_{1}^{(1 - \gamma_{2} - 1)}}{2 2^{10} 2^{10} \Gamma^{2}(\gamma_{1}) \Gamma(\gamma_{2}) \Gamma(\gamma_{2}) \Gamma(\gamma_{3}) (1 - cz_{1})^{\beta f_{2} + 1} (bz_{1} - 1)^{\beta f_{2}}} \times \right] \\
\times \left[ \frac{a_{2}^{2} - a_{2}^{2} - a_{2}^{2}}{2 2^{10} \Gamma^{2}(\gamma_{1}) \Gamma(\gamma_{2}) \Gamma(\gamma_{3}) (1 - cz_{1})^{\beta f_{2} + 1} (bz_{1} - 1)^{\beta f_{2}}}{2 2^{10} 2^{10} \Gamma^{2}(\gamma_{1})^{\beta}} \right] \right]$$

$$+ \frac{\xi^{2\gamma_{1}-3}(1+\xi)^{\gamma_{1}-1}\left[(b-c)\frac{\sigma_{1}^{\beta}}{bz_{1}-1} + \xi\sigma_{1}^{\beta-1}\right]}{Q} d\xi \frac{1}{b} < \sigma_{1} < \frac{1}{c}$$

$$Q = \left[\frac{a_{2}z_{1}^{\beta}}{\Omega_{1}(z_{1}b-1)^{\beta}} + a_{1}\xi\right]^{\alpha_{1}+\beta_{2}-1} \left\{\frac{a_{2}z_{1}^{\beta}}{\Omega_{2}(1-cz_{1})^{\beta}} + \xi\left[a_{1} + \frac{a_{3}z_{1}^{\beta}}{\Omega_{2}(1-cz_{1})^{\beta}}\right]\right\}^{\gamma_{1}+\gamma_{2}-1}$$

$$\varphi_{1}(z_{1}) = 0 \quad \text{при} \quad z_{1} < 0, \quad z_{1} > \frac{1}{c}$$

$$(3.19)$$

В применении же к распределению (1.3), получим

$$\varphi_{1}(z_{1}) = -\frac{p}{4} \sum_{i} b_{1i}b_{2k}b_{1i}b_{3i} \Gamma\left(\frac{n_{1i} + n_{2i} + 1}{2}\right) \Gamma\left(\frac{n_{1i} + n_{3i} + 1}{2}\right) \times \\
\times \Omega_{1}^{n_{1i}}\Omega_{2}^{n_{1i}} (1 - cz_{1})^{2n_{1i} - 1} (1 - bz_{1})^{2n_{1i} - 1} \frac{p(n_{2k} - n_{1i} + 1)}{z_{1}} \times \\
\left(\frac{1}{1 - bz_{1} + z(b - c)z_{1}}z^{n_{2k}}(1 - z)^{n_{3i}}dz\right) \qquad 0 \le z_{1} \le \frac{1}{1} \qquad (3.20)$$

$$Q_{1} = \left[a_{1}\Omega_{1}(1 - bz_{1})^{2} + a^{2}z^{2}z^{2}\right] \frac{n_{1i} + n_{2k} + 1}{2} \left[a_{1}^{2}\Omega_{2}(1 - cz_{1})^{2p} + \frac{n_{1j} + n_{3j} + 1}{2}\right]$$

$$\pi_{1}(s_{i}) = \frac{\rho}{4} \sum_{l_{i}, l_{i}, k, l} b_{il} b_{2k} b_{1j} b_{3l} \Gamma\left(\frac{n_{1l} + n_{2k} + 1}{2}\right) \Gamma\left(\frac{n_{1j} + n_{3l} + 1}{2}\right) \times \\
\times 2_{1}^{n_{1l}} \Omega_{2}^{n_{1l}} (1 - c z_{1})^{n_{1l} - 1} (b z_{1} - 1)^{n_{1l} - 1} (b z_{1} + n_{3l} + 1) \times \\
\times \int_{0}^{\infty} \frac{\left(b z_{1} - 1 + z \left(b - c\right) z_{1}\right) z^{n_{2k}} (1 + z)^{n_{3l}} dz}{Q_{2}} \frac{1}{b} \leqslant z_{1} \leqslant \frac{1}{c} \quad (3.21)$$

$$\begin{aligned} Q_2 &= \left[a_1^2 \Omega_1^2 \left(bz_1 - 1\right)^{2p} + a_2^2 - z_1^{2p}\right] \frac{a_{1t} + a_{2t} - 1}{2} \left[a_1^2 \Omega_2^2 \left(1 - cz_1\right)^{2p} + a_2^2 z_1^2 \left(1 + cz_1\right)^{2p} + a_2^2 z_1^2 \left(1 + cz_1\right)^{2p}\right] \\ &+ a_3^2 z_1^2 \left(1 + cz_1\right)^{2p} \\ &+ a_3^2 z_1^2 \left(1 + cz_1\right)^{2p} + a_3^2 z_1^2 \left(1 + cz_1\right)^{$$

Плотности распределения од и од определяются по формулам

$$\varphi_2(z_2) = d_2 \varphi_1 \left( \frac{1}{b} - d_3 z_2 \right) 
\varphi_3(z_3) = d_3 \varphi_1 \left( \frac{1}{c} + d_3 z_3 \right)$$
(3.22)

где для задачи д

$$d_2 = \frac{F_2(a_2 - a_2)}{F_1(a_2 - a_1)} \cdot d_2 = \frac{F_2(a_3 - a_2)}{F_1(a_2 - a_1)}$$

а для задачи е

$$d_1 = -\frac{F_3}{F_1}, d_2 = \frac{F_4}{F_1}$$

4. Расчет на прочность. Подожим, что прочностные характеристики стержней являются достоверными. В этом случае задача сводится к определению пероятности р, пыполнения условия

$$-[\varepsilon] \le \varepsilon \le [\varepsilon], \qquad i = 1, 2, ...$$
 (4.1)

где  $\{s_i\}$ — значение допускаемого напряжения для стержня i. Принимая  $b=-[s_i]$  и  $s_i=[s_i]$ , искомую вероятность можно определить соответственно по формуле (2.12). Если прочностные характеристики рассматривать не как достоверные, а с учетом разброса их экспериментальных данных, то, обозначая функцию распределения  $[s_i]$  через  $f_i([s_i])$ , запишем формулу определения вероятности  $p_i$ , с которой удовлетворяется условие прочности (4.1):

$$p_{i}([\sigma_{i}] \gg |\sigma_{i}|) = \int_{0}^{\pi} \varphi(\sigma_{i}) \int_{\sigma_{i}}^{\pi} f([\sigma_{i}]) d[\sigma_{i}] d\sigma_{i} + \int_{-\infty}^{\pi} \varphi(\sigma_{i}) \int_{0}^{\pi} f([\sigma_{i}]) d[\sigma_{i}] d\sigma_{i}$$

$$+ \int_{-\infty}^{\pi} \varphi(\sigma_{i}) \int_{0}^{\pi} f([\sigma_{i}]) d[\sigma_{i}] d\sigma_{i}$$

$$(4.2)$$

5. Численный пример. Рассмотрим двухслойную грубу под действием внутреннего давления (фиг. 1, задача в), принимая, что оба слоя трубы имеют одну и ту же толщину ( $\delta_1 = \delta_2 = \delta$ ) и изготовлены из материала, разброс механических своиств которого можно описать распределением Пирсона. Плотности распределения напряжений в слоях 1 и 2 можно определить согласно формулам (2.10), (2.11) и (2.14).

В зависимости от разброса  $D_t/m^2$  показателя  $x_t$  механических своиств, определяемых уравнениями (1.4), в табл. 2 даны вероятности того, что напряжения  $\sigma_t$  и  $\sigma_t$  не превосходят  $\sigma_t$  для которого слева таблицы даны вначения  $\sigma_t/\sigma_t$ .

diegr	$\frac{D_1}{2} = \frac{D_2}{2} = 0.1$	$\frac{D}{D} = \frac{D_2}{D_2} - 0.2$	$\frac{D_1}{m_1} = \frac{D_2}{m_2} = 0.3$	$\frac{D_3}{m^2} = \frac{1}{3}$	
	m <sub>1</sub> m <sub>2</sub>	m <sub>1</sub> m <sub>2</sub>	m <sub>1</sub> m <sub>2</sub>	1º RAR	AAS 53
0.1	0	0.0009	0.0086	0.0015	0.0071
0.2	0.0007	0.0197	0.0579	0.0264	0.0517
0.3	0.0285	0.0988	0.1631	0.1024	0.1559
0.4	0.1497	0.2665	0.3174	0.2720	0.3208
0.5	0.5	0.5	0.5	0.4753	0.5247
0.6	0.8503	0.7335	0.6826	0.6792	0.7280
0.7	0.9715	0.9012	0.8369	0.8441	0.8976
0.8	0.9993	0.9803	0,9421	0.9483	0.9736
0.9	1,0000	0.9991	0,9914	0.4929	0.9985

Отметим, что согласно достоверным значениям параметров x<sub>t</sub>, как ато деластся в обычных расчетах без вероятностей, мы имели бы

$$p\left(z_{i} < 0.5 \frac{qr}{r}\right) = 0 \text{ m } p\left(z_{i} > 0.5 \frac{qr}{r}\right) = 1, i = 1.2.$$

СКТВ Института механики АН Армянской ССР

Поступила 4 XI 1980

#### u. v. nevoesue

#### ՍՈՂՔԻ ՊԱՅՄԱՆՆԵՐՈՒՄ ՍՏԱՏԻԿՈՐՆՆ–ԱՆՈՐՈՇ ՉՈՂԱՅԻՆ ՍԻՍՏԵՄՆԵՐԻ ՀԱՎԱՆԱԿԱՆՈՒԹՅԱՆ ՀԱՇՎԱՐԿԻ ՄԱՍԻՆ

#### Unification of the Land

ինանգրելով լարումների բայիւման խաությունը այդ սահմաններում ,

հանգրելով լարումների բայիւման խաությունը այդ սահմաններում ,

հանգրելով լարումների իրայիւման հարցերում այսնացած աված սահմաններում ,

հանդան հանդան հարդականություն որոշվում են տարբեր անսակի երկու և երևը ստատիկորներ անություն և արևանին սիստանների արություն և աալիս որոշել լարումները ստատիկուն հրան հրանին մեխանիկական բնութադրերի ստատիստիկական թոււները անսակի հրանակական թոււները անսակի հրանականան կառումները

հանդերի վրա հիրառված ձևը հետակորություն է տալիս որոշել լարումները

հանդերի վրա հիրառված ձևը հետակորություն է տալիս որոշել լարումները

հիրանդերի վրա հիրառված ձևը հետակորություն է տալիս որոշել լարումները

հիրանդերի վրա հիրառված ձևը հետակորություն է տալիս որոշել լարումները

հիրանդերի վրա հրանականում իրա հումաների այդ սահմաններում ։

Որպես ֆունկցիաներ դեֆորմացիոն ընութադրնրի բաշխման համար դիտարկված են նորմալ բաշխման օրենքը, Պիրսոնի բաշխման 3-րդ տիպը, ինչպես նաև բաշխման մի նոր տեսակ, որը փորձարարական հիմնավորում է ատացել մի շարք նյութերի համար։

Որպես օրինակ է թննարկված սողջի վիճակում դանվող հրկչնրա խողովակի ամրուկյան հավանականային հաշվարկը ներթին ճնշման պայմաններում։

### ON PROBABILITY CALCULATION OF PIVOTED STATICALLY-INDEFINITE SYSTEMS TAKING ACCOUNT CREEP

#### A. M. SIMONIAN

#### Summary

Experimental properties of creep of materials have considerable distribution and therefore the usual calculation based on the overage data of these properties are not hopefull. The distribution densities of stresses in different double and triple-pivoted statically-indefinite systems on the basis of statistical data of mechanical properties of pivots are defined in this work. It becomes possible to determine the probability of finding the stresses in any pivot in the arbitrary given limits by the integration of the stress distribution densities in these limits. As a distribution function of strain properties the normal distribution, Pearson type III distribution and a new type of distribution are considered each having experimental confirmation for some materials.

As an example the probability calculation of two-layer cylinders under internal pressure is considered.

#### **ЛИТЕРАТУРА**

- 1. Болотин В. В. Применение методов теории вероятностей и эгории надежности в расчетах конструкций. М.: Стройиздат, 1971, 255 с.
- Симбиян Л. М. К вопросу о выборе функции распределения при высокотемпературпой ползучести металлов.— Изв. АН Арм. ССР, Механика. 1978, т. 31, № 2, с. 55—66.
- 3. Качанов Л. М. Теория полаучести. М.: Физматгиз, 1960, 450 с.
- 4. Аругинян Н. X. Некоторые вопросы теория полаучести. М.—Л.: Гостехтеориздат. 1952. 323 с.
- Симонян А. М. Исследование полаучести стали X 18H 10T при больших деформациях. Проблемы прочности, 1975, № 6, с. 63—66.
- 6. Гисденко Б. В. Курс теорин вероятностей. М.: Физматека, 1961, 406 с.

#### А. В. БЕЛОКОНЬ, Е. П. МАЛИКОВ

# МЕТОД ИНТЕГРАЛЬНЫХ УРАВНЕНИЙ В ЗАДАЧАХ ОСЕСИММЕТРИЧНОЙ ДЕФОРМАЦИИ ТРАНСВЕРСАЛЬНО-ИЗОТРОПНОГО ЦИЛИНДРА

Осесимметричная деформация трансверсально-изотронного цилиндра конечной длины при заданных на исей поверхности напряжениях изучалась в работе [1], где поставленная краевая задача известным способом [2] сводилась к бесконечной системе линейных алгебраических уравнений. В настоящей статье метод интегральных уравнений, предложенный в работе [3] для изотропного тела, обобщен на краевые задачи для трансверсально-изотропного цилиндра с произвольными граничными условиями. Получающиеся здесь системы интегральных уравнений решаются методом Бубнова-Галеркина с учетом особенности решения рассматриваемой краевой задачи. Излагается способ определения этон особенности из систем интегральных уравнений. Приведенные численные результаты для конкретнои краевой задачи об изгибе жестко заделанного по боковой поверхности цилиндра иллюстрируют эффективность предлагаемого метода.

§ 1. Рассмотрим прямой круговой цилипар высотой 2h и радпусом и из трансверсально-изотропного материала. Примем ось симметрии цилиндра за ось Z цилиндрической системы координат, а начало координат поместим в центре цилиндра. Уравнения обобщенного закона Гука имеют вид:

$$c_{11} = c_{11}\varepsilon_{11} + c_{12}\varepsilon_{22} + c_{13}\varepsilon_{33}, \quad c_{13} = 2c_{44}\varepsilon_{13}$$

$$c_{22} = c_{12}\varepsilon_{11} + c_{11}\varepsilon_{02} + c_{13}\varepsilon_{33}$$

$$c_{33} = c_{13}\varepsilon_{11} + c_{13}\varepsilon_{22} + c_{33}\varepsilon_{33}$$

$$(1.1)$$

где индексы 1, 2, 3 соответствуют имлиндрическим координатам г. Ө. Z.

В дальнейшем будем использовать следующие безразмерные величины:

$$\rho = r/a, \quad \zeta = Z/a, \quad \zeta_0 = h/a$$

$$\alpha_{ij} = c_{ij}/c_{11}, \quad v_i = u_i/a, \quad z_i/c_{11}$$

Используя формулы (1.1) и уравнения равновесия сплошного тела, обычным образом получим систему дифференциальных уравнений в перемещениях. Ес общее решение будем отыскивать через две функции  $I_*$  ( $\rho$ ,  $\zeta$ ) и  $I_*$  ( $\rho$ ,  $\chi$ ), которые введем так:

$$v_1 = \partial f_1 \partial v_2 = \partial f_2 \partial v_3 \tag{1.2}$$

В этом случае / (р. с.) определяются из системы дифференциальных уравнений

$$\begin{aligned} & \left[ \Delta_0 f_1 + a_{44} \partial^2 f_1 / \partial \zeta^2 + (a_{13} + a_{44}) \right] = 0 \\ & \partial^2 \partial^2 \left[ a_{44} \Delta_0 f_2 + (a_{13} - a_{24}) \Delta_0 f_1 + a_{33} \partial^2 f_2 / \partial \zeta^2 \right] = 0 \end{aligned}$$

rae  $\Delta_0 = \partial^2/\partial \rho^2 + 1/\rho \, \partial/\partial \rho$ .

Здесь нужно отметить, что при решении задачи можно было бы воспользоваться известными представлениями общего решения системы дифференциальных уравнений статики либо через одну функцию, удовлетворяющую уравнению четвертого порядка [7], либо через две функции, удовлетворяющие уравнениям второго порядка [10]. Авторами использовались представления (1,2) лишь по той причине, что они оказались удобными и при решении динамических задач [5].

По существу, подход к построению общего решения, используемый в данной работе, тесно смыкается с методом суперпозиции, берущим свое начало с иден, высказанной еще Ламе в лекциях по теории упругости, и получившим свое дальнейшее развитие в работах Б. Л. Абрамяна [2], А. А. Баблояка [1], Г. М. Валова [8], В. Т. Гринченко [9] и др.

Здесь дадим несколько ниую трактовку этого подхода. Основой для дальнейших рассуждений служит следующая лемма:

Пусть функция  $\varphi(\varphi, \zeta)$  такова, что в области W=0 она может быть разложена в двойной ряд по полным ортогональным системам функций  $P_{1k}(\varphi)$  и  $P_{2k}(\zeta)$ . Тогда в этой области функция  $\varphi(\varphi, \zeta)$  представима, и причем единственным образом. в виде

$$\varphi(p, \zeta) = \sum_{k=0}^{\infty} l_{1k}(\zeta) P_{1k}(z) + \sum_{k=0}^{\infty} l_{2k}(p) P_{2k}(\zeta)$$
 (1.4)

где произвольно заданы либо функции (1,4 (5), либо (24 (2).

На доказательстве леммы, вследствие его простоты, останавливаться не будем.

Сформулированная лемма позволяет искать решение системы (1.3) в виде

$$f_{1}(\rho, \zeta) = \sum_{k=1}^{\infty} l_{1k}(\zeta) f_{0}(v_{k}\rho) + \sum_{k=1}^{\infty} l_{2k}(\rho) \cos z_{k}(\zeta - \zeta_{0}) + l_{10}(\zeta) + l_{20}(\rho)$$

$$f_{2}(\rho, \zeta) = \sum_{k=1}^{\infty} m_{1k}(\zeta) f_{0}(v_{k}\rho) + \sum_{k=1}^{\infty} m_{2k}(\rho) \cos z_{k}(\zeta - \zeta_{0}) - m_{10}(\zeta) - m_{20}(\rho)$$
(1.5)

где функции  $l_A$ ,  $m_A$  пока произвольные: таковы, что  $l_1(\cdot_k)=0$ : для случая антисимметричного деформирования цилиндра имеют вид:  $\alpha_k=\pi\,(2k-1)/(2_{70})$ .

Подставляя теперь функции  $f_1(3, 5)$  и  $f_2(6, 5)$  и виде (1.5) в ураннения системы (1.3), получим

$$- \sum |a_{44}l_{1k}(\zeta) - v_k^2l_{1k}(\zeta) + (a_{13} + a_{44}) m_{1k}(\zeta)|_{v_k} f_1(v_k \varphi) +$$

$$+ \sum |[\Delta_0 l_{2k}(\varphi) - a_{44}a_1^2l_{2k}(\varphi) - (a_{13} + a_{44}) a_k^2 m_{2k}(\varphi)] \cos a_k(\zeta - \zeta_0) - (1.6)$$

$$+ \Delta_0 l_{20}(\varphi) = 0$$

$$+ \sum_{k=1}^{\infty} \partial / \partial^* [a_{33}m_{1k}(\zeta) - a_{44}a_k^2 m_{1k}(\zeta) - (a_{13} + a_{44}) v_k l_{1k}(\zeta)] f_0(v_k \varphi) -$$

$$- \sum [a_{44}\Delta_0 m_{2k}(\varphi) - a_{13} m_{1k}(\varphi) - (1.7)$$

$$+ (a_{13} + a_{24}) \Delta l_{2k}(\varphi) a_{1k}(\varphi) - a_{1k} m_{1k}(\varphi)$$

$$+ (a_{13} + a_{44}) \, \Delta_0 l_{2k}(p) ] \, a_k \sin a_k \, ([-]_0) + a_{33} m_{10} \, ([) = 0$$

Равенства (1.6), (1.7) можно рассматривать как разложения нуля в ряды янда (1.4).

Воспользовавшись имеющимся произволом, ныберем функции  $l_{2k}\left( lpha 
ight)$  и  $m_{1k}\left( egin{aligned} lpha \end{aligned} 
ight)$  так, чтобы они удовлетворили дифференциальным уравменням

$$\Delta_{0}l_{2k}(\rho) - a_{4k}a_{k}^{2}l_{2k}(\rho) - (a_{13} + a_{4k})a_{k}m_{2k}(\rho) = 0$$

$$\Delta_{0}l_{20}(\rho) = 0$$

$$a_{3k}m_{1k}(\zeta) - a_{4k}a_{k}^{2}m_{1k}(\zeta) - (a_{13} + a_{4k})a_{k}l_{1k}(\zeta) = 0$$

$$m_{10}(\zeta) = 0$$
(1.8)

Тогда, по доказанной лемме

$$a_{44}l_{1k}(\zeta) - v_k^2 l_{1k}(\zeta) + (a_{12} + a_{14}) m_{1k}(\zeta) = 0$$

$$a_{44} \Delta_0 m_{2k}(\rho) - a_{33} a_k^2 m_{2k}(\rho) + (a_{13} + a_{44}) \Delta_0 l_{2k}(\rho) = 0$$
(1.9)

Кроме того, такой выбор функций  $l_{2k}(\xi)$  и  $m_{1k}(\zeta)$  однозначно определяет функции  $l_{1k}(\zeta)$  и  $m_{2k}(\rho)$  в представлении (1.5) по заданным  $f_1\left( {{
ho }_1} \right)$  и  $f_2\left( {{
ho }_2} \right)$ , которые уже не являются произвольными, а должны удовлетворять урапнениям системы (1.3).

Решая полученные системы (1.8)—(1.9), нетрудно найти  $f_1(\rho, \zeta)$  и f2(P, -), a по ним, используя формулы (1.2), следующие представления для компонент вектора смещений:

$$v_{1}(\rho, \xi) = -\sum_{i} \sum_{j=1}^{n} A_{jk} \sinh(\delta_{jk} \xi) v_{k} \int_{\mathbb{T}} (v_{k} \rho) d\rho$$

$$+ \sum_{i} \sum_{j=1}^{n} B_{jk} \prod_{i} (\beta_{jk} \rho) \cos a_{k} (\xi - \xi_{0})$$

$$v_{1}(\rho) = \left| \sum_{k=1}^{n} \sum_{j=1}^{n} (a_{31} - a_{14} \varepsilon_{j}^{2}) / \varepsilon_{j}^{2} A_{jk} \delta_{jk} \cosh(\delta_{jk} \xi) \int_{0} (v_{k} \rho) - \right|$$

$$- \sum_{i} \sum_{j} (\xi_{j} - a_{14}) B_{jk} I_{0} (\beta_{jk} \rho) a_{k} \sin a_{k} (\xi - \xi_{0}) \left| \int_{0}^{\infty} (a_{12} + a_{44}) + C \right|$$
(1.10)

где  $A_{jk}$ ,  $B_{jk}$ , C — произвольные постоянные.

Отметим, что построенное таким образом общее решение (1.10) системы дифференциальных уравнений равновесия обладает необходимым функциональным произволом для удовлетворения любых граничных условий как в смещениях, так и в наряжениях на граничных поверхностях цилиндра.

§ 2. Имея нвиду то обстоятельство, что в дальнейшем при решении задачи будет использоваться метод, предложенный в работе [3], введем в рассмотрение вспомогательную задачу

$$\begin{aligned}
\tau_{13}(\varphi, \, \zeta_3) &= \tau_1(\varphi), \quad \psi_1(\varphi, \, \zeta_0) - \varphi_2(\varphi) \\
\tau_{13}(1, \, \zeta) &= \varphi_3(\zeta), \quad \psi_1(1, \, \zeta) = \varphi_4(\zeta)
\end{aligned} \tag{2.1}$$

гле, в силу своиств симметрии решаемой задачи (антисимметричная деформация), функции ф (ζ) и ф. (ζ) должны удовлетворять соотношениям:

$$\varphi_{3}(-\zeta) = \varphi_{3}(\zeta), \quad \varphi_{4}(-\zeta) = -\varphi_{4}(\zeta)$$

Решение задачи (2.1) нетрудно получить в замкнутой форме, при этом произпольные постоянные из (1.10) будут иметь вид:

$$A_{jk} = \frac{(-1)}{(\xi_{1})} \frac{1}{\varphi_{jk}} \frac{1}{\varphi_{1k}} \left[ \frac{1}{\alpha_{11} \eta_{k}} \varphi_{1k} + (\xi_{1}^{2} + \alpha_{13}) \varphi_{2k} \right]$$

$$B_{1} = \frac{(-1)^{3} (\alpha_{13} + \alpha_{14})}{\alpha_{14} (\xi_{2}^{2} - \xi_{1}^{2}) (\varphi_{jk})} \left[ \frac{1}{\alpha_{13} + \alpha_{13}} \varphi_{4k} \right] \cdot C = 0$$
(2.2)

где

$$\varphi_{20} = 2 \int_{0}^{1} \varphi_{2}(\rho) d\rho, \qquad \varphi_{2k} = \frac{2}{J_{0}(v_{k})} \int_{0}^{1} \varphi_{4}(\rho) J_{0}(v_{k}) d\rho$$

$$\varphi_{2k} = \frac{2}{J_{0}(v_{k})} \int_{0}^{1} \varphi_{4}(\rho) J_{0}(v_{k}) d\rho$$

$$\varphi_{3k} = \frac{2}{\zeta_{0}} \int_{0}^{\infty} \varphi_{3}(\zeta) \sin \alpha_{k}(\zeta - \zeta_{0}) d\zeta, \qquad \varphi_{4k} = \frac{2}{\zeta_{0}} \int_{0}^{\infty} \varphi_{4}(\zeta) \cos \alpha_{k}(\zeta - \zeta_{0}) d\zeta$$

Подставляя теперь найденные значения постоянных в выражения для перемещений и напряжений, получим следующие, необходимые для дальнейшего решения задачи, формулы:

$$v_{1}(\rho, \zeta_{0}) = M_{11}(\rho, \varphi_{1}(\rho)) + M_{12}(\rho, \varphi_{2}(\rho)) + M_{13}(\rho, \varphi_{3}(\zeta)) + M_{14}(\rho, \varphi_{4}(\zeta))$$
(2.3)  
$$v_{3}(1, \zeta) = M_{21}(\zeta, \varphi_{1}(\rho)) + M_{22}(\zeta, \varphi_{2}(\rho)) + M_{23}(\zeta, \varphi_{3}(\zeta)) + M_{44}(\zeta)$$
(2.4)

$$I_{11}(1, \zeta) = M_{31}(\zeta, \varphi_1(\varphi)) + M_{32}(\zeta, \varphi_2(\varphi)) + M_{31}(\zeta, \varphi_3(\zeta)) + M_{34}(\zeta, \varphi_4(\zeta))$$
 (2.5) 
$$I_{33}(\varphi, \gamma_0) = M_{41}(\varphi, \varphi_1(\varphi)) + M_{42}(\varphi, \varphi_2(\varphi)) + M_{42}(\varphi, \varphi_3(\zeta)) + M_{41}(\varphi, \varphi_4(\zeta))$$
 (2.6)

где, в частности, оператор  $M_{11}(\rho,...)$  имеет нид:

$$M_{11}(z,...) = \frac{2}{a_{11}(z_2^2 - \xi_1^2)} \sum_{k=1}^{n} \frac{\int_{1} (z_1 z_2)}{\int_{0}^{2} (y_k)} \left[ \xi_1 (\xi_1 - a_{44}) \operatorname{th} (\delta_{24} \xi_2) - \xi_2 (\xi_1 - a_{44}) \operatorname{th} (\delta_{14} \xi_2) \right] \int_{0}^{1} g \dots \int_{1} (y_k y_k) dy$$

остальные операторы в силу громоздкости не приведены, но могут быть **легко получены из формул** (1.1), (1.10) и (2.2).

Соотношения (2.3)—(2.6) позволяют свести любую краевую задачу для цилиндра в случае антисимметричного деформирования к системе интегральных уравнении.

Проиллюстрируем это утверждение на примере следующих задач. Задача 1. На всей поверхности пилиидра заданы напряжения:

$$\tau_{13}(\varphi, \zeta_0) = \varphi_1(\varphi), \quad \tau_{13}(1, \zeta) = \varphi_3(\zeta) 
\tau_{11}(1, \zeta) = \tau_1(\zeta), \quad \tau_{12}(\varphi, \zeta_0) = \tau_3(\varphi)$$
(2.7)

Решение задачи в этом случае сводится к определению двух неизвестных функции q, (ρ) и φ, (ς) на системы интегральных уравнений вида (2.5), (2.6).

Задача 2. На торцах цилиндра заданы напряжения, на боковой поверхности — персмещения:

$$\begin{aligned}
& v_{13}(\varphi, z_0) &= v_1(\varphi), & v_1(1, z) &= \varphi_4(z) \\
& v_{33}(\varphi, z_0) &= v(\varphi), & v_3(1, z) &= u(z)
\end{aligned}$$
(2.8)

Аналогично предыдущей, эта задача сводится к отысканию функции ч. (р) в ф. (ξ) из системы вида (2.4), (2.6).

Задача 3. Боковая поверхность цилиндра жестко защемлена, а на горцах заданы условия контактного типа:

$$v_{1}(1, 1) = v_{3}(1, 1) = 0, \quad 0 \leqslant \zeta \leqslant \zeta_{0}$$

$$v_{3}(\rho, \gamma_{0}) = v_{13}(\rho, \gamma_{0}) = 0, \quad \rho_{0} < \rho < 1$$

$$v_{1}(\rho, \gamma_{0}) = g_{1}(\rho), \quad v_{3}(\rho, \gamma_{0}) = g_{2}(\rho), \quad 0 \leqslant \rho \leqslant \rho_{0}$$
(2.9)

Задача может быть сведена к системе теперь уже трех интегральных уравнений вида (2.3), (2.4), (2.6), где неизвестными будут являться

$$\varphi_1(\rho), \quad 0 \leqslant \rho \leqslant \rho_0; \quad \varphi_2(\rho), \quad \rho_0 \leqslant \rho \leqslant 1; \quad \varphi_3(\zeta), \quad 0 \leqslant 1$$

тода.

Очевидно, что список задач может быть продолжен. Однако, и приведенных здесь достаточно для понимания существа предлагаемого ме§ 3. Доказательства теорем существования и единственности решения получающихся систем интегральных уравнении можно провести так же, как это сделано, например, в работах [3, 4, 6]. Здесь они не приводятся.

Основное внимание в настоящей работе уделяется методам построения приближенного решения систем интегральных уравнений. Хорошо известно, что эффективность приближенных методов существенно зависит от того, насколько выбранное приближение правильно описывает свойства искомого решения задачи. Поэтому, в первую очередь, займемся выяснением характера поведения решения вблизи ребра цилиндра, а также на линии смены граничных условий в контактной задаче.

Поведение решения в окрестности особых линий можно выяснить двумя способами. Первый способ связан с изучением ядер интегральных операторов, второй способ, изложением которого мы займемся, основан на предположении о поведении решения в окрестности этих линий.

Пусть в задаче 1 искомые функции в окрестности ребра цилиндра ведут себя следующим образом:

$$\varphi_{\alpha}(p) = A (1 - p^2)^3, \quad \varphi_{\alpha}(1) = B_{\alpha}^{\alpha}(1 - p^2)^{\alpha}$$
 (3.1)

Подставляя формулы (3.1) в систему интегральных уравнений, соответствующую рассматриваемой задаче, без учета поведения заданных граничных функции, получим, что  $\beta = \gamma$  определяется из уравнения

$$ch(35) = 1 + \frac{(\xi_1 - \xi_2)^2}{2\xi_1 \xi_2} \sin^2 \frac{\pi i}{2}, \qquad \xi = \ln\left(\frac{\xi_1}{\xi_2}\right) \tag{3.2}$$

а постоянные А и В связаны соотношением

$$(\xi_2 - \xi_1) \sin \frac{\pi \beta}{2} A + (\xi_2^3 - \xi_1^3) \zeta_0^{n+1} B = 0$$
 (3.3)

Проводя аналогичное исследование системы интегральных уравнений в задаче 2, получим, что искомые функции в окрестности ребра цилиндра всдут себя следующим образом:

$$\varphi_2(\rho) = C(1-\rho^2)^2, \quad \varphi_3(\zeta) = D(\zeta_0^2 - \zeta_0^2)^{\alpha-1}$$
 (3.4)

где постоянные С и В связаны между собой

$$\frac{(\xi_2^2 + a_{13})\,\xi_2^{-\alpha} - (\xi_1^2 + a_{13})\,\xi_1^{-\alpha}}{\xi_2 - \xi_1} \,\alpha C + \frac{a_{14} + \xi_1 \xi_2}{2a_{14}\xi_{13}} \sin \frac{1}{2} \,\xi_2^{\alpha - 1} \,D = 0 \quad (3.5)$$

а а является корнем уравнения [5, 6]:

$$ch(\hat{c}x) = Q_1 + Q_2 cos^2 \frac{m}{2}$$
 (3.6)

где

$$Q_{1} = \frac{a_{13}^{2} + 2a_{11}a_{11} + a_{23}}{2a_{23}(a_{23} + a_{44})} = \frac{(a_{44}a_{11}a_{21} + a_{33}) + a_{11} - a_{21}^{2}}{2a_{23}(a_{13} + a_{41})}$$

В задаче 3 поведение решения в окрестности ребра такое же, как и в вадаче 2, а на границе контактной области характер особенности определяется на уравнения

$$\cos 2^{-2} = -\frac{2a_{11}(V a_{33} + a_{12}) + (1 a_{33} + a_{12})(a_{21} + 1 a_{33})}{(V a_{31} + a_{12})(a_{21} + 1 a_{33})}$$
(3.7)

Перейдем теперь к наложению методов решения получающихся систем интегральных уравнений. Причем, все далькейшие рассуждения бужем иллюстрировать, изучая рассмотренную выше задачу 2.

Очевидно, что полученная в этой задаче система интегральных ураввений (2.4), (2.6) может быть сведена к бесконечной системе линейных гатебраических уравнений. Такой подход к этим задачам естественен и, так показали исследования Б. Л. Абрамяна и В. Т. Гринченко, достаточно эффективен. Особо здесь следует отметить метод В. Т. Гринченко [9], готорый позволяет учитывать в решении характер напряженного состояцилиндра вблизи ребра, что, в конечном итоге, в отличие от метода простой редукции, позволяет найти весь набор неизвестных бесконечной системы по решению всего лишь конечной.

Вместе с тем, как показали численные расчеты [5, 6], песьма эффективным при решении подобных задач является метод Бубнова-Галеркиа, к описанию которого мы переходим.

Будем отыскивать функции ч. (р) и ч. (д) в виде

тае  $C_{I_1}$  — неизвестные постоянные,  $\tau_1$  вещественный корень,  $\tau_1$  (  $j=2,\ 3,\ldots,\ S$  ) — комплексные корни уравления (3.6).

Если сравнить формулы (3.8) с соответствующими разложеннями функций  $q_*(\rho)$  и  $q_*(\zeta)$  в ряды Фурье-Дини, то станет очевидной идея предлагаемого метода, основанного, в конечном счете, на аппроксимации ве самих функций, а коэффициентов их разложений. Числа N и M есть оответственно номера выхода на асимптотику этих коэффициентов, а вызмения, записанные в квадратных скобках в (3.4), являются их асимптотическими формулами. Причем, первые слагаемые в квадратных скобках изветственны за учет особенности решения вблизи ребра цилиндра, вторые загаемые — за учет поведения правых частей рассматриваемой системы итегральных уравнений.

Подставляя теперь функции  $q_1(\rho)$  и  $q_1(\xi)$  в виде (3.8) в эту систему и используя ортогональность координатных функций  $J_0(\nu\rho)$  и

 $\sin \alpha_k (\zeta - \zeta_0)$ , получим конечную систему линейных алгебраических уравнений относительно неизвестных  $C_f$  и  $D_f$ .

Здесь нужно также отметить, что если в формулах (3.8) устремить N и M к бескопечности, то предлагаемый подход соппадет с методом решения подобных задач. берущим начало в работах Б. Л. Абрамяна. Если же в формулах (3.8) положить  $S=1,\,T=0,\,$  то мы придем к методу, развитому В. Т. Гринченко.

Другой подход к решению рассматриваемой системы основан на ее сведении к одному интегральному уравнению относительно функции  $\phi_1(\zeta)$ :

$$L\left(\zeta, \gamma_{3}(\zeta)\right) = F(\zeta) \tag{3.9}$$

LAC

$$\frac{1}{\ln n_{1k}} = \frac{1}{n_{1k}} \left[ -\frac{ch (\alpha_{2k}\zeta)}{ch (\alpha_{2k}\zeta_{0})} - \frac{ch (\alpha_{2k}\zeta)}{ch (\alpha_{1k}\zeta_{0})} \right] \\
\times \left[ -\frac{1}{ch (\alpha_{2k}\zeta)} - \frac{ch (\alpha_{2k}\zeta)}{ch (\alpha_{1k}\zeta_{0})} d\zeta + n_{1} \right] - \frac{ch (\alpha_{1k}\zeta)}{ch (\alpha_{1k}\zeta_{0})} d\zeta \right] + \\
+ \sum_{i=1}^{n} n_{ik} \sin \left( (1 - \epsilon_{0}) \right) - \frac{ch (\alpha_{1k}\zeta_{0})}{ch (\alpha_{1k}\zeta_{0})} d\zeta \right] + \\
+ \sum_{i=1}^{n} n_{ik} \sin \left( (1 - \epsilon_{0}) \right) - \frac{ch (\alpha_{1k}\zeta_{0})}{ch (\alpha_{1k}\zeta_{0})} d\zeta \right] + \\
+ \sum_{i=1}^{n} n_{ik} \sin \left( (1 - \epsilon_{0}) \right) - \frac{ch (\alpha_{1k}\zeta_{0})}{ch (\alpha_{1k}\zeta_{0})} d\zeta \right] + \\
+ \sum_{i=1}^{n} n_{ik} \sin \left( (1 - \epsilon_{0}) \right) - \frac{ch (\alpha_{1k}\zeta_{0})}{ch (\alpha_{1k}\zeta_{0})} d\zeta \right] + \\
+ \sum_{i=1}^{n} n_{ik} \sin \left( (1 - \epsilon_{0}) \right) - \frac{ch (\alpha_{1k}\zeta_{0})}{ch (\alpha_{1k}\zeta_{0})} d\zeta \right] + \\
+ \sum_{i=1}^{n} n_{ik} \sin \left( (1 - \epsilon_{0}) \right) - \frac{ch (\alpha_{1k}\zeta_{0})}{ch (\alpha_{1k}\zeta_{0})} d\zeta \right] + \\
+ \sum_{i=1}^{n} n_{ik} \sin \left( (1 - \epsilon_{0}) \right) - \frac{ch (\alpha_{1k}\zeta_{0})}{ch (\alpha_{1k}\zeta_{0})} d\zeta \right] + \\
+ \sum_{i=1}^{n} n_{ik} \sin \left( (1 - \epsilon_{0}) \right) - \frac{ch (\alpha_{1k}\zeta_{0})}{ch (\alpha_{1k}\zeta_{0})} d\zeta \right] + \\
+ \sum_{i=1}^{n} n_{ik} \sin \left( (1 - \epsilon_{0}) \right) - \frac{ch (\alpha_{1k}\zeta_{0})}{ch (\alpha_{1k}\zeta_{0})} d\zeta \right] + \\
+ \sum_{i=1}^{n} n_{ik} \sin \left( (1 - \epsilon_{0}) \right) - \frac{ch (\alpha_{1k}\zeta_{0})}{ch (\alpha_{1k}\zeta_{0})} d\zeta \right] + \\
+ \sum_{i=1}^{n} n_{ik} \sin \left( (1 - \epsilon_{0}) \right) - \frac{ch (\alpha_{1k}\zeta_{0})}{ch (\alpha_{1k}\zeta_{0})} - \frac{ch (\alpha_{1k}\zeta_{0})}{ch (\alpha_{1k}\zeta_{0})} d\zeta \right] + \\
+ \sum_{i=1}^{n} n_{ik} \sin \left( (1 - \epsilon_{0}) \right) - \frac{ch (\alpha_{1k}\zeta_{0})}{ch (\alpha_{1k}\zeta_{0})} - \frac{ch (\alpha_{1k}\zeta_{0})}{ch (\alpha_{1k}\zeta_{0})} d\zeta \right] + \\
+ \sum_{i=1}^{n} n_{ik} \sin \left( (1 - \epsilon_{0}) \right) - \frac{ch (\alpha_{1k}\zeta_{0})}{ch (\alpha_{1k}\zeta_{0})} - \frac{ch (\alpha_{1k}\zeta_{0})}{ch (\alpha_{1k}\zeta_{0})} d\zeta \right] + \\
+ \sum_{i=1}^{n} n_{ik} \sin \left( (1 - \epsilon_{0}) \right) - \frac{ch (\alpha_{1k}\zeta_{0})}{ch (\alpha_{1k}\zeta_{0})} - \frac{ch (\alpha_{1k}\zeta_{0})}{ch (\alpha_{1k}\zeta_{0})} d\zeta \right] + \\
+ \sum_{i=1}^{n} n_{ik} \sin \left( (1 - \epsilon_{0}) \right) - \frac{ch (\alpha_{1k}\zeta_{0})}{ch (\alpha_{1k}\zeta_{0})} - \frac{ch (\alpha_{1k}\zeta_{0$$

а  $F(\zeta)$  выражается через известные функции  $u(\zeta)$ ,  $\sigma(\rho)$ ,  $\tau_1(\rho)$ ,  $\tau_4(\zeta)$ .

Полученное уравнение (3.9) решалось методом Бубнова-Галеркина, в котором неизвестная функция  $\phi_4$  ( $\epsilon$ ) отыскивалась в виде

$$\varphi_3(\zeta) = \sum_{j=1}^N A_j (\zeta_0^2 - \zeta^2)^{\alpha_j + j - 2}$$
 (3.10)

где  $A_i$  — неизвестные постоянные,  $\alpha_i$  — вещественный корень уравнения (3.6).

При таком подходе к решению задачи также получаем конечную систему линейных алгебраических уравнений для определения неизвестных Ау, порядок которой намного меньше порядка систем, решаемых в прелыдущем случае. Однако, здесь приходится суммировать ряды с коэффициентами, содержащими бесселевы функции с нецелым индексом, что связано с определенными вычислительными трудностями.

§ 4. Предложенные выше методы решения были реализованы на ЭВМ БЭСМ-6 для конкретной краевой задачи изгиба жестко заделанного по боковой поверхности цилиндра равномерно распределенной по торцам нагрузкой. Граничные условия задачи имеют вид (2.8), где

$$\varphi_1(z) = \varphi_4(z) = u(z) = 0,$$
 (3)

Расчеты проводились для трансверсально-изотронного материала со следующими значениями упругих постоянных:

$$c_{11} = 1.1 \cdot 10^{11} \, \text{H/M}^2, \quad c_{12} = 0.675 \cdot 10^{11} \, \text{H/M}^2, \quad c_{13} = 0.7 \cdot 10^{11} \, \text{H/M}^2$$
  
 $c_{33} = 1.5 \cdot 10^{11} \, \text{H/M}^2, \quad c_{41} = 0.22 \cdot 10^{11} \, \text{H/M}^2$ 

При таком наборе числа и с из (1.11) вещественны

$$= 1.756, = 0.665$$

а кории характеристического уравнения (3.6) имеют вид:

$$\alpha_1 = 0.682$$
  
 $\alpha_2 = 1.636 \pm i \, 0.270, \quad \alpha_3 = 3.548 \pm i \, 1.369$ 

остальные  $\alpha_k = \tau_k \pm i \tau_k$  (k=4,5,...) находятся с точностью до  $0.1^{\circ}$  по асимптотической формуле [5].

Численные результаты показали, что оба метода являются аффективными для расчета напряженно-деформированного состояния цилиндра в области изменения параметра  $\zeta$  от 0.1 до 5.0. О качестве получаемых решений можно судить по точности удовлетворения граничных условий. Так, в обоих подходах граничные условия для осевого смещения удовлетворяются с точностью до 0.2% от его значения в центре цилиндра. При этом, в первом случае (3.8) принималось  $N \leq 5$ ,  $M \leq 5$ , S = 2, T = 1 и решались системы до 16 порядка, а в случае (3.10)  $N \leq 3$  и решались системы 2-3 порядка.

_					Таблица 1
	-0.1	t <sub>0</sub> = 0.3	; <sub>0</sub> 1.0	£ <sub>0</sub> = 2.0	C <sub>0</sub> = 5.0
e <sub>2</sub> (P	80.781	7.212	1.273	0.400	0,019
* <sub>11</sub> /P	-22.176	-2.429	-0.026	0.261	0.223
13/P	- 1.272	-0.677	-0.506	−D.420	-0.285
-33 P	0.992	0.906	0.70)	0.542	0.316

В таблице принедены значения осевого смещения, вычисленные в центре цилиндра, и значения компонент тензора напряжений, вычисленные при  $\rho=0.9$  п z=0.9 для раздичных  $z_0$ .

Ростовский государственный университет

Поступила 25 XI 1980

#### ԻՆՏԵԳՐԱԼ ՀԱՎԱՍԱՐՈՒՄՆԵՐԻ ՄԵԹՈԳԸ ՏՐԱՆՍՎԵՐՍԱԼ ԻԶՈՏՐՈՊ ԳԼԱՆԻ ԱՌԱՆՑՔԱՍԻՄԵՏՐԻԿ ԳԵՖՈՐՄԱՑԻԱՅԻ ԽՆԿԻՐՆԵՐՈՒՄ

#### Ամփոփում

Հայվածում մշակված է մեքիող, ըստ որի վերջավոր չափեր ունեցող մարմիծների համար առաձգականության տեսության եղրային խնդիրները հանդեցվում են ինտեցրալ հավասարումների համակարգերի լուծմանը։ Ստացվան ինտեցրալ հավասարումների համակարգերի ուսումնա-իրությունը թույլաարում է կառուցել նրանց լումելու արդյունավետ ալգորիքմներ, որոնք հիմնրվում են Բուրնով-Գալյորկինի մեքիոյի իրագործման մրա ու այվի են առնում դիտարկվող եզրային խնդրի լուծման եղակիությունը։

# THE METHOD OF INTEGRAL EQUATIONS IN AXISYMMETRIC DEFORMATION OF TRANSVERSELY ISOTROPIC CYLINDER PROBLEMS

#### A. W. BELOKON, E. P. MALIKOV

#### Summary

The method of solving problems of theory of elasticity for bodies of finite dimensions which take into account the description of boundary problems with the help of systems of integral equations is presented in this paper. The investigation of the systems of integral equations helps to build effective algorithmes to solve these equations; the algorithmes are founded on the Bubnov-Galerkin method while peculiarities of the boundary problem are taken into account.

#### **АИТЕРАТУРА**

- Беблин А. А. К задач- осесимистранной деформации круглого цилиндра конечной длины вы гранспертально-изотроиного материала.— Изв. АН Арм.ССР. сер. фил.-мат. илук. 1961, т. 14, № 4.
- Абремян Б. Л. К задаче осесным тричной деформации круглого цилипара. Дока. АН Арм.ССР, 1954, т. 19, № 1.
- з. Балоково А. В. Об одном методе решения задач теории упругости для тел конечных размеров.— Дока АН СССР, 1977, т. 233, № 1.
- 4. Белокона А. В Применение нариационных методов и решению контактных залач.— Пяв. СКНЦ ВШ, сер. ектекта. наук. 1973, № 4,
- 5. Белокень А. В. Меничов Е. П. Аннамическая смещанная задачи для конечного трансперсально изотропного цианидра.— Тенисы докладов Всесоюзной конференции по смещанным задачам мехапини деформируемого тела. Ростов и/А, 1977.
- Беликовы А. В.: Милинов Е. П. Смешлиня задача чеории упругости для конечного трансперсадано-наотронного цилинара.— Тезисы доилалов Всесоюзной конферецции по чеории упругости Ереван, 1979.
- 7. Л. гицикии С. Г. Теория упруго за внядотроппосо теля. М.: Наука, 1977.
- 8. Валов Г. М. Об осесимметринной деформации сплашного кругового цилиндра конечной длины.—ПММ, 1962, т. 28, № 4.
- 9. Гранченко В. Т. Ганионеме и установинимен ког бания упругих тех конечных размеров. Кнеи: Наукова думка, 1978.
- 10. Elliott H. A. Three-dimensional atress distributions in hexagonal acolotropic crystals. Proc. of the Cambridge philos. soc., 1948, 44, part 4.

White they

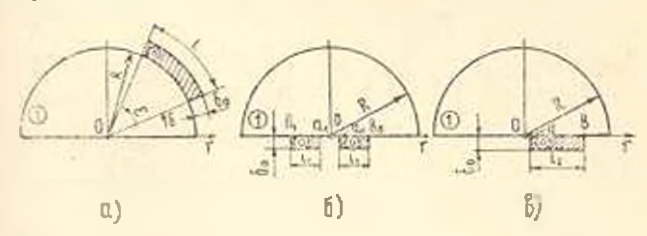
#### Ю А АНТИПОВ, А Ф. ДАЩЕНКО, Г. Я ПОПОВ

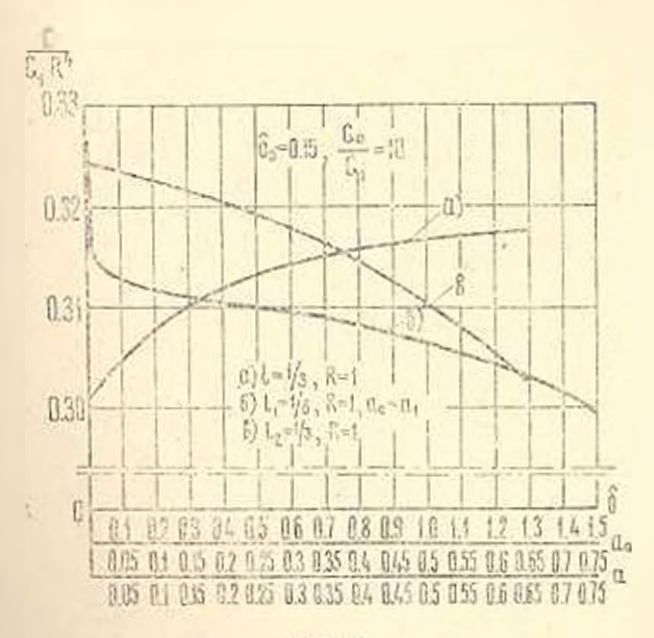
## О НЕКОТОРЫХ ЗАДАЧАХ КРУЧЕНИЯ СТЕРЖНЕЙ ПРИ НАЛИЧИИ ТРЕЩИН И ТОНКИХ ПОДКРЕПЛЕНИИ

Обобщенным методом интегральных преобразований [7] решаются следующие задачи кручения упругих изотропных стержней (валов)

1. Стержень с модулем сдвига  $G_1$ , имеющий сечение  $\Omega$  в виде полукруга ( $0 \le r = R$ ,  $0 \le n$ ), с тонким подкреплением толіциной  $\delta_0$  и модулем сдвига  $G_2$ , расположенным:

6) на прямодинейном участке  $0 \le a_t < b_t \le R$  (t = 0, 1) (фиг. 16), скручивается моментами, придоженными к горцам. Необходимо найти зависимость жесткости скручиваемого стержия от положения подкрепления на боковой поверхности.





Фиг. 1.

2. Круглый цилиндрический вал (0 r = R) с несколькими кольце выми поперечными трещинами скручивается моментами M (фиг. 3).

Требуется определять коэффициент интенсивности напряжений (Кін) на краях трещин.

\$ 1. Согласно известной теории кручения подкрепленных стержней
 [1] задачи 1а и 16 сводятся к нахождению функции напряжений φ (r, θ),
 удовлетворяющей в области Ω уравнению

$$\varphi = \left(\frac{\partial^2}{\partial r^2} + \frac{1}{r}\frac{\partial}{\partial r} + \frac{1}{r^2}\frac{\partial^2}{\partial \theta^2}\right)\psi = -2$$

а на контуре сечения условиям:

в случае задачи 1а

$$\varphi(r, 0) - \varphi(r, \pi) = 0, r \in [0, R]; \quad (R, 0) = 0, \quad 0 \in [0, \epsilon]$$
 (1.1)

$$= 0, \theta \in [\delta, \varepsilon], (\mu_0 = \delta_0 G_0 G_1^{-1})$$
 (1.2)

в случае задачи 16

$$\varphi(R, \theta) = 0, \ \theta \in [0, +]; \ \varphi(r, 0) = 0, \ r \in [a_0, b_0]; \ \varphi(r, +) = 0, \ r \in [a_1, b_1] \\
\left[ \varphi - \frac{\mu_0}{r} \frac{\partial \varphi}{\partial \theta} \right] = 0, \ r \in [a_0, b_0]; \ \left[ + \frac{\mu_0}{r} \frac{\partial \varphi}{\partial \theta} \right] = 0, \ r \in [a_1, b_1]$$

Займемся решением задачи (а. Введем функцию  $\omega(\theta) = \varphi(R, \theta)$ . Гогда из (1.1) следует, что  $\omega(\theta) = 0$  при  $0 \le \theta < \delta$  и  $\varepsilon < \theta \le \pi$ .

Применяя конечное синус-преобразование

$$\varphi_{k}(r) = \int_{-\infty}^{\infty} \varphi(r, \theta) \sin k\theta d\theta, \qquad \varphi(r, \theta) = \frac{2}{\pi} \sum_{k=1}^{\infty} \varphi_{k}(r) \sin k\theta \qquad (1.4)$$

приходим к одномерной краевой задаче

$$\left(r^{2} \frac{d^{2}}{dr^{2}} + r \frac{d}{dr} - k^{2}\right) \approx_{k}(r) - 2k^{-1} \left[ (-1)^{k} - 1 \right] r^{2} \quad (0 < r < R)$$

$$\approx_{k}(r) = \omega_{k} \quad \left(\omega_{k} = \int_{-1}^{\infty} (1) \sin kz dz \right)$$
(1.5)

Непользуя функцию Грина

$$G_k(r, t) = -\frac{1}{2kt} \left[ e^{-k |\ln r dt|} - \left( \frac{rt}{R^2} \right)^k \right]$$

решение краевой задачи (1.5) найдем в виде

$$\varphi_k(r) = \left(\frac{r}{R}\right)^k \omega_k + \frac{2[1-(-1)^k]}{k(k^2-4)} \left[r^2 - R^2\left(\frac{r}{R}\right)^k\right]$$

Возвращаясь к оригиналу  $\phi(r, \theta)$  с помощью второн формулы из (1.4) и суммируя получающиеся при этом ряды, имеем

$$\varphi(r, \theta) = \frac{2}{3} \int_{\mathbb{R}^{n}} \sum_{r=1,3,\dots,k} \frac{1}{r} \left( \frac{r}{R} \right)^{k} dz + g(r, \theta) = \frac{1}{2\pi} \int_{\mathbb{R}^{n}} \frac{\sinh R/r}{\cosh R/r - \cos(r - \theta)} \frac{\sinh R/r}{\cosh R/r - \cos(r + \theta)} dz + g(r, \theta) = \frac{1}{2\pi} \int_{\mathbb{R}^{n}} \frac{\sinh R/r}{\cosh R/r - \cos(r + \theta)} dz + g(r, \theta) = \frac{1}{2\pi} \int_{\mathbb{R}^{n}} \frac{\sinh k\theta}{k(k - \theta)} dz + g(r, \theta) = \frac{1}{2\pi} \int_{\mathbb{R}^{n}} \frac{\sinh k\theta}{k(k - \theta)} dz + g(r, \theta) = \frac{1}{2\pi} \int_{\mathbb{R}^{n}} \frac{\sinh k\theta}{k(k - \theta)} dz + g(r, \theta) = \frac{1}{2\pi} \int_{\mathbb{R}^{n}} \frac{\sinh k\theta}{k(k - \theta)} dz + g(r, \theta) = \frac{1}{2\pi} \int_{\mathbb{R}^{n}} \frac{\sinh k\theta}{k(k - \theta)} dz + g(r, \theta) = \frac{1}{2\pi} \int_{\mathbb{R}^{n}} \frac{\sinh k\theta}{k(k - \theta)} dz + g(r, \theta) = \frac{1}{2\pi} \int_{\mathbb{R}^{n}} \frac{\sinh k\theta}{k(k - \theta)} dz + g(r, \theta) = \frac{1}{2\pi} \int_{\mathbb{R}^{n}} \frac{\sinh k\theta}{k(k - \theta)} dz + g(r, \theta) = \frac{1}{2\pi} \int_{\mathbb{R}^{n}} \frac{\sinh k\theta}{k(k - \theta)} dz + g(r, \theta) = \frac{1}{2\pi} \int_{\mathbb{R}^{n}} \frac{\sinh k\theta}{k(k - \theta)} dz + g(r, \theta) = \frac{1}{2\pi} \int_{\mathbb{R}^{n}} \frac{\sinh k\theta}{k(k - \theta)} dz + g(r, \theta) = \frac{1}{2\pi} \int_{\mathbb{R}^{n}} \frac{\sinh k\theta}{k(k - \theta)} dz + g(r, \theta) = \frac{1}{2\pi} \int_{\mathbb{R}^{n}} \frac{\sinh k\theta}{k(k - \theta)} dz + g(r, \theta) = \frac{1}{2\pi} \int_{\mathbb{R}^{n}} \frac{\sinh k\theta}{k(k - \theta)} dz + g(r, \theta) = \frac{1}{2\pi} \int_{\mathbb{R}^{n}} \frac{\sinh k\theta}{k(k - \theta)} dz + g(r, \theta) = \frac{1}{2\pi} \int_{\mathbb{R}^{n}} \frac{\sinh k\theta}{k(k - \theta)} dz + g(r, \theta) = \frac{1}{2\pi} \int_{\mathbb{R}^{n}} \frac{\sinh k\theta}{k(k - \theta)} dz + g(r, \theta) = \frac{1}{2\pi} \int_{\mathbb{R}^{n}} \frac{\sinh k\theta}{k(k - \theta)} dz + g(r, \theta) = \frac{1}{2\pi} \int_{\mathbb{R}^{n}} \frac{\sinh k\theta}{k(k - \theta)} dz + g(r, \theta) = \frac{1}{2\pi} \int_{\mathbb{R}^{n}} \frac{\sinh k\theta}{k(k - \theta)} dz + g(r, \theta) = \frac{1}{2\pi} \int_{\mathbb{R}^{n}} \frac{\sinh k\theta}{k(k - \theta)} dz + g(r, \theta) = \frac{1}{2\pi} \int_{\mathbb{R}^{n}} \frac{\sinh k\theta}{k(k - \theta)} dz + g(r, \theta) = \frac{1}{2\pi} \int_{\mathbb{R}^{n}} \frac{\sinh k\theta}{k(k - \theta)} dz + g(r, \theta) = \frac{1}{2\pi} \int_{\mathbb{R}^{n}} \frac{\sinh k\theta}{k(k - \theta)} dz + g(r, \theta) = \frac{1}{2\pi} \int_{\mathbb{R}^{n}} \frac{\sinh k\theta}{k(k - \theta)} dz + g(r, \theta) = \frac{1}{2\pi} \int_{\mathbb{R}^{n}} \frac{\sinh k\theta}{k(k - \theta)} dz + g(r, \theta) = \frac{1}{2\pi} \int_{\mathbb{R}^{n}} \frac{\sinh k\theta}{k(k - \theta)} dz + g(r, \theta) = \frac{1}{2\pi} \int_{\mathbb{R}^{n}} \frac{\sinh k\theta}{k(k - \theta)} dz + g(r, \theta) = \frac{1}{2\pi} \int_{\mathbb{R}^{n}} \frac{\sinh k\theta}{k(k - \theta)} dz + g(r, \theta) = \frac{1}{2\pi} \int_{\mathbb{R}^{n}} \frac{\sinh k\theta}{k(k - \theta)} dz + g(r, \theta) = \frac{1}{2\pi} \int_{\mathbb{R}^{n}} \frac{\sinh k\theta}{k(k - \theta)} dz + g(r, \theta) = \frac{1}{2\pi} \int_{\mathbb{R}^{n}} \frac{\sinh k\theta}{k(k - \theta)} dz + g(r, \theta) = \frac{1}{2\pi} \int_{\mathbb{R}^{n}} \frac{\sinh k\theta}{k(k - \theta)} dz$$

Реализуя условие (1.2), приходим к следующему интегро-дифференциальному уравнению:

$$= (\theta) - \frac{\mu_0}{2\pi R} \int \omega'(\tau) \left[ \operatorname{etg} \frac{\tau - \theta}{2} - \operatorname{etg} \frac{\tau + \theta}{2} \right] d\tau = f(\theta) \quad (\delta < \theta < \epsilon)$$

$$= f(\theta) - \frac{8R\mu_0}{\pi} \sum_{k=1,3,\dots,k} \frac{\sin k\theta}{k (k+2)}$$

$$= (1.7)$$

Решение уравиения (1.7) ищем в классе функции, имеющих интегрируемую особенность. Анализируя поведение функции  $\omega'(\tau)$  при  $\tau \to \delta \to 0$  и  $\to \epsilon \to 0$ , получаем, что  $\omega'(\tau) = O([\tau \to \delta]^{-1/2})$ ,  $\tau \to \epsilon \to 0$ . Тогда ясно, что  $\omega(\tau) = O([\tau \to \delta]^{-1/2})$ ,  $\tau \to \delta \to 0$  н  $\omega'(\tau) = O([\tau \to \delta]^{-1/2})$ ,  $\tau \to \epsilon \to 0$ . Кроме того,  $\omega(\delta \to 0) = \omega(\epsilon \to 0) = 0$ . Таким образом, функция  $\omega(\tau)$  непрерыяна и точках  $\tau = \delta$  и  $\tau = \epsilon$  и равна и них нулю. Учитывая это, для решения уравнения (1.7) вно дим функцию

$$\omega(\theta) = \int_{\delta}^{\theta} \psi\left(\frac{t-\mu}{\nu}\right) dt = \frac{1}{2} \int_{\delta}^{\epsilon} \operatorname{sgn}(\theta-t) \psi\left(\frac{t-\mu}{\nu}\right) dt \left(\mu = \frac{\epsilon+\delta}{2}, \nu = \frac{\epsilon-\delta}{2}\right)$$

$$(1.8)$$

в после несложных преобразований запишем уравнение (1.7) в виде

$$\int_{-1}^{1} \psi(y) \left[ \frac{1}{y-x} + k_0(y, x) \middle| dy = f_0(x) R^2 \quad (|x| \le 1)$$

$$k_0(y, x) = \frac{\pi}{2} \left[ \frac{\pi R}{\mu_0} \operatorname{sgn}(y - x) + p\left(\frac{\pi}{2} |y - x|\right) - \operatorname{ctg}\left(\frac{\pi}{2} |y + x| + p\right) \right]$$

$$p(x) = \begin{bmatrix} \operatorname{ctg} x - 1/x \\ -\sum_{n=1}^{\infty} \frac{2^{2n} B_n}{(2n)!} x^{2n-1}, |x| < \varepsilon_0 \end{bmatrix}$$

 $f_0(x) = -\pi R^{-1}/\mu_0 \cdot f(vx + \mu), \ 0 < \varepsilon_0 < \pi, \ B_n -$  числа Бернулли.

Разыскивая функцию ф(у) в виде ряда по многочленам Чебышева 1-го рода

$$\psi(y) = \sum_{n=0}^{\infty} W_n \frac{T_n(y)}{\sqrt{1-y^2}} R^2$$
 (1.9)

(так как  $\omega(\epsilon)=0$ , то  $\Psi_*=0$ ) и следуя методу ортогональных миогочленов, приходим к бесконечной алгебраической системе относительно коэффициентов  $\Psi_*$ 

$$\psi_{m+1} + \sum_{n=1}^{\infty} a_{mn} \Psi_n = h_m \tag{1.10}$$

$$a_{mn} = \frac{2}{\pi^2} \int_{-1}^{1} \int_{-1}^{1} k_0(y, x) \frac{T_n(y)}{\sqrt{1-y^2}} \sqrt{1-x^2} U_n(x) dx$$

$$h_m = \frac{2}{\pi^2} \int_{-1}^{1} \int_{0}^{1} (x) \sqrt{1-x^2} U_m(x) dx$$

(Un (x) — многочлены Чебыщева 2-го рода).

Коэффициенты  $a_{mn}$ ,  $h_m$  легко вычисляются, если воспользоваться квадратурными формулами типа Гаусса

$$a_{mn} \approx \frac{2}{l(l-1)} \sum_{i=1}^{l} \cos ny_{i} \sum_{i=1}^{l} \sin x_{i} \sin (m-1) x_{i} k_{0} (\cos y_{i} \cos x_{i})$$

$$h_{m} \approx \frac{2}{\pi (l+1)} \sum_{i=1}^{l} \sin x_{i} \sin (m-1) x_{i} f_{0} (\cos x_{i})$$
(1.11)

где  $y_i = (2j-1)\pi/2l, \ x_i = i\pi/(l+1), \ l$  — число увлон квадратурной формулы.

Квазирегулярность системы (1,10) можно показать, используя приемы работ [4, 8].

Для нахождения жесткости при кручении по формуле

$$C = 2G \int_{0}^{\infty} \int_{0}^{R} \varphi(r, \theta) r dr d\theta$$
 (1.12)

определим функцию №, используя (1.9) и (1.8):

$$\omega\left(\tau x+\mu\right)=-\tau\sum_{n=1}^{\infty}\frac{u^{n}}{n}\sqrt{1-x^{2}}U_{n-1}\left(x\right)$$

подставляя которую в первое выражение из (1.6), по формуле (1.12) (интегралы по г и П вычисляются точно, а для вычисления интеграла по т используются квадратурные формулы типа Гаусса) получаем для жесткости следующее выражение:

$$\frac{C}{G_1 R^1} = \frac{\pi}{2} - \frac{4}{\pi} - \frac{8}{l+1} \sum_{i=1}^{\infty} \frac{1}{k(k+2)} \sum_{i=1}^{\infty} \frac{\Psi_n}{n} \sum_{i=1}^{l} \sin x \sin nx$$

$$+ \sin k \left( v \cos x \right) = \frac{1}{n}$$

Перейдем к решенню задачи 16. Вводим фукции  $X_0(r) = (r, 0)$  и  $X_1(r) = \varphi(r, -)$ . Из (1.3) имеем  $X_0(r) = 0$ ,  $r \in [a_0, b_0]$  и  $X_1(r) = 0$ ,  $r \in [a_0, b_0]$ . Следуя схеме, изложенной при решении задачи 1а. получаем для определения введенных функций  $X_0$ ,  $X_1$  систему днух интегро-дифференциальных уравнений

$$\chi_{i}\left(r\right) = \frac{\mu_{0}}{\pi}\left\{\int_{a_{i}}^{b_{i}}\chi_{i}'\left(t\right)\left[\frac{1}{t-r} - \frac{R^{2}}{r\left(rt-R^{2}\right)}\right]dt\right\}$$

$$+ \int_{a_{1-t}} Z_{1-t}'(t) \left[ \frac{1}{t-r} - \frac{R^2}{r(rt-R^2)} \right] dt - h(r) \quad (a_t \leqslant r \leqslant b_t, \ t = 0, 1)$$

$$h(r) = -8\mu_0 R/\pi \sum_{k=1,3,...} \frac{1}{k^2-4} (r/R)^{k-1}$$

Как и при рассмотрении задачи 1а, получаем, что функции  $\mathcal{X}_t(r)$  (i=0,1) в точках  $r=a_i$  в  $r=b_i$  непрерыяны и  $\mathcal{X}_t(a_i)=\mathcal{X}_t(b_i)=0$ . В частных случаях, когда  $a_0=a_1=0$ ,  $b_0=b_1$  или  $a_1=1=0$  (либо  $a_0=b_0=0$ ), получаем относительно функции  $\mathcal{X}(r)=\mathcal{X}_0(r)=\mathcal{X}_1(r)$  одно интегро-дифференциальное уравнение, которое решается так же, как и в случае задачи 1а. Если же  $a_0=a_1=0$ ,  $b_0=b_1=b$ , то для определения  $\mathcal{X}(r)$  имеем уравнение

$$\chi(r) = \frac{\mu_0}{\pi} \int_0^b \chi'(t) \left[ \frac{1}{t-r} + \frac{1}{t+r} - \frac{2tR^2}{t^2r^2 - R^4} \right] dt = h(r) \quad (0 \le r \le b)$$
(1.13)

жоторое в силу того, что ядро имсет в нуле неподвижную особенность, решается ппоче,

Учитывая, что  $\chi(b)=0$  и обозначая  $\chi(0)=A$ , вводим функцию

$$X(r) = A + \int_{0}^{r} \psi\left(\frac{t^{2}}{b^{2}}\right) dt = \frac{A}{2} + \frac{1}{2} \int_{0}^{b} \operatorname{sgn}(r - t) \psi\left(\frac{r^{2}}{b^{2}}\right) dt \quad (1.14)$$

После замены переменных  $r_{-}$  -  $b_{-}$ р,  $t_{-}$  =  $b_{-}$ т из (1.13) приходим к следующему интегральному уравнению:

$$\int_{0}^{1} \psi\left(\tau\right) \left[ \frac{1}{\tau - \rho} + \frac{\mu \operatorname{sgn}\left(\tau - \rho\right)}{V \tau} - \frac{c}{\tau \rho - c^{2}} \right] d\tau = \mathcal{R}\left[h_{0}\left(\rho\right) + 2\mu A^{*}\right] \quad (0 \leqslant \rho \leqslant 1)$$

Здесь

$$\mu = \frac{\pi b}{4 y_0}, \quad c = \left(\frac{R}{b}\right)^2, \quad A^* = \frac{A}{Rb}, \quad h_0(\rho) = 8 \sum_{k=1,3,\dots} \frac{1}{k^2 - 4} \left(\frac{\rho}{c}\right)^{(k-1)/2}$$

Анализ интегралов типа Кови показывает, что  $\psi(\tau) = O(\tau^{12})$ ,  $\tau \to -0$  к  $\psi(\tau) = O([1-\tau]^{-12})$ ,  $\tau \to 1-0$ . Поэтому ищем функцию  $\psi(\tau)$  в виде разложения

$$\dot{v}(z) = R \sum_{n=0}^{\infty} \Psi_{-n} q^{1/2} e^{-1/2} (z)$$
 (1.15)

$$q_{\pi}^{\gamma,\beta}(z) = z^{\gamma}(1-z)F^{(\gamma,\beta)}(1-2z)$$
 (1.16)

 $P_n^{(a,N)}(x)$  — много ілены Якоби.

Полагая  $\Psi_n = \Psi_n + 2\nu A^*\Psi_n^*$  (n=0,1,...), для определения коэффициентон  $\Psi_n^*$   $\Psi_n^*$  получаем бесконечные системы

$$\Psi_m^I + \sum_{n=0}^{\infty} (s_{mn} + a_{mn}) \Psi_n^I = h_m^I \quad (m=0, 1, ...; i=0, 1)$$
 (1.17)

$$a_{mn} = \frac{\mu}{\pi_{mn}} \int_{0}^{1} \int_{0}^{1} \frac{\sin(z-z)}{1-z} q^{1-z-1} (z) q^{-1-z-1/2} (y) dz dy$$

$$a_{mn} = -\frac{c}{\pi_{mn}} \int_{0}^{1} \int_{0}^{1} \frac{q^{1-z-1/2} (z) q^{-1/2/1/2} (y)}{z_{0} - c^{2}} dz dy$$
(1.18)

$$h_{m}^{0} = \frac{1}{\pi \rho_{m}} \int_{0}^{\infty} h_{0}(\rho) \ q_{m}^{-1/2, 1/2}(\rho) \ d\rho, \qquad h_{m}^{1} = \frac{\lambda_{m}}{\pi}, \qquad \rho_{m} = \frac{1}{2} \left[ \frac{\Gamma(m+1/2)}{m!} \right]$$

Из условия X(b) = 0 находим  $A^*$ 

$$A^* = -\frac{\sum_{n=0}^{\infty} \lambda_n \Psi^0}{1 + 2n \sum_{n=0}^{\infty} \lambda_n \Psi^1} \qquad \lambda_n = \frac{\left(\frac{1}{2}\right)_n}{n! (2n+1)}$$

Интегралы в (1.18) вычисляются с помощью метода, изложенного в [3]

$$S = \frac{2\mu\lambda_n}{\pi} \left[ \frac{(-1)^{n+m+1}(2n-1)}{-i_m(n+m+3/2)(n+m+1/2)(n-m+1/2)(n-m-1/2)} - \frac{i_{m0}}{\pi} \right]$$

$$a_{mn} = \frac{(-1)^{n+m+1}(2n-1)i_n}{-ci_m}$$

$$\sum_{j=\max\{m,n\}} \frac{\Gamma(j-3/2)\Gamma(j+1/2)(j!)^{3}e^{-2j}}{(j-n)!(j-m)!(j+n+1)!(j+m+1)!}$$

$$h_m^0 = \frac{4(-1)}{\pi} \sum_{j=m}^{\infty} \frac{\Gamma(j-1/2)j!e^{-j}}{(2j-3)(j-m)!(j+m-1)!}$$

Устанавливая, что для m = 1, 2, ...

$$\sum_{m=0}^{\infty} |s_{mn}| \leq \frac{\mu}{\pi^2 \lambda_m (m^2 - 1/4)^2}, \quad s_m < s_0 \leq \frac{\mu}{\pi^2} [16 + \pi^2]$$

$$= \sum_{m=0}^{\infty} |s_{mn}| \leq \frac{31 \pi \Gamma (m + 3/2)}{8m (m + 1)! c^2}, \quad s_m < s_0 \leq \frac{3\pi}{8c^2}$$

получаем квазирегулярность систем (1.17), а при выполнении условия

$$\mu \left( 1 + \frac{16}{\pi^2} \right) + \frac{3\pi}{8c^2} < 1$$

их регулярность.

Используя спектральное соотношение

$$\int \operatorname{sgn}(\tau - \rho) \frac{P_{n}^{1/2, -1/2}(1 - 2\rho)}{V \overline{1 - \tau}} d\tau = \frac{2V \overline{1 - \rho}}{n + 1/2} P_{n}^{-1/2, 1/2}(1 - 2\rho) - 2\lambda_{n}$$

$$(0 \leqslant \rho \leqslant 1)$$

при подстановке разложения (1.15) в (1.14), получаем выражение для функции х

$$\chi(bV_{p}^{-}) = -Rb \sum_{n=0}^{\infty} \frac{w_{p}}{2n+1} \sqrt{1-\rho} P_{n}^{-1/2} (1-2\rho)$$

с помощью которого находим жесткость при кручении

$$\frac{C}{G_1R^4} = \frac{\pi}{2} - \frac{4}{\pi} + \frac{2}{\pi} \sum_{n=0}^{\infty} \frac{(-1)^n \Gamma(1/2 + n)}{n!} \times W_n \sum_{i=n}^{\infty} \frac{\Gamma(i-1/2) i! e^{-i-1}}{(i-n)! (i+n+1)! (2i+3)}$$

В результате численной реализации (эначения величин, для которых проведена численная реализация, вынесены на фигурах) показано, что жесткость стержня достигает максимума, если подкрепление расположить в месте, где максимальны касательные напряжения в основном материале, то есть в центре прямолниейной грани (фиг. 2). Менее аффективно подкрепление дугового участка боковой поверхности, причем для длины подкрепления t > R подкрепление боковой поверхности вообще неаффективно (фиг. 2). Также установлено, что в случае подкрепления стержней как прямолинейной грани, так и боковой поверхности подкреплениями небольших длин  $t \le R/3$  изменения жесткости стержней находятся в пределах 10% (фиг. 1).

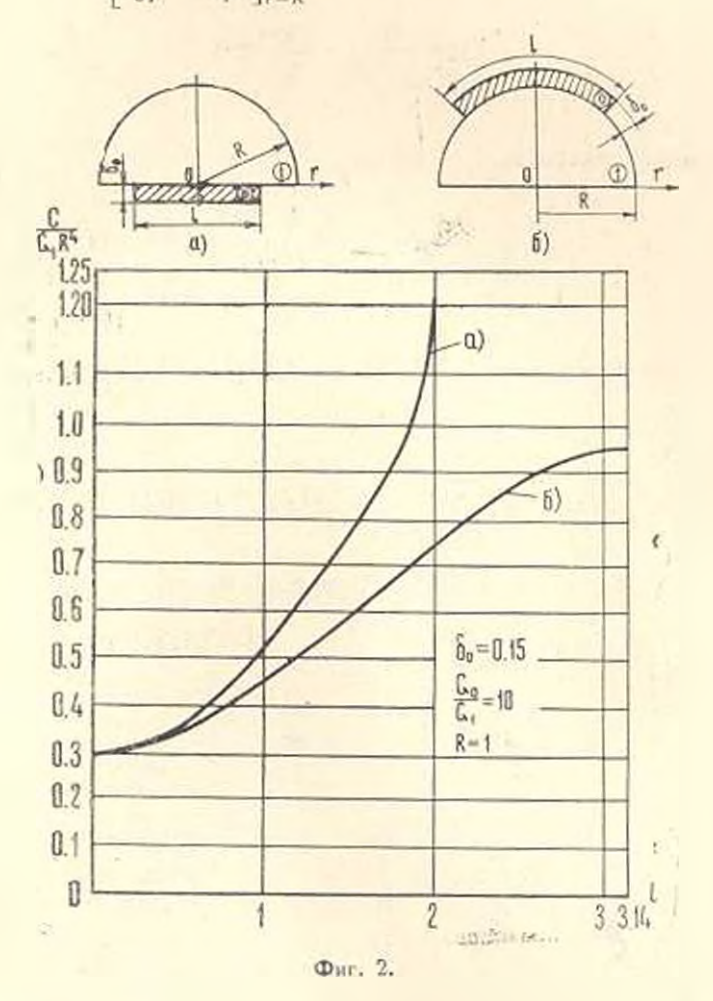
 $\S$  2. Рассмотрим задачу 2 в предположении, что на участках  $(a_1, a_2 = c_1, a_2 = b_2, a_3 = c_4)$  имеется  $(a_1, a_2 = c_3, a_3 = c_4)$ 

(фиг. 3). Задача эквивалентна определению функции  $u=u\left(r,z\right)$  (перемещение в тангенциальном направлении), удовлетноряющей уравнению

$$\frac{\partial^2 u}{\partial r^2} + \frac{1}{r} \frac{\partial u}{\partial r} - \frac{u}{r^2} + \frac{\partial^2 u}{\partial z^2} = 0 \quad (0 \leqslant r \leqslant R, -\infty \leqslant z \leqslant \infty) \quad (2.1)$$

краевому условню

$$\left[ \frac{\partial u}{\partial r} - \frac{u}{r} \right]_{c=R} = 0 \quad (-\infty < z < \infty)$$
 (2.2)



и 2k условиям на трещинах

$$\frac{\partial u}{\partial z}(r, c_j) = -\frac{2Mr}{-GR^1} \quad (a_j \leqslant r \leqslant b_j)$$
 (2.3)

$$u(r, c_i - 0) - u(r, c_i - 0) = \lambda_i(r) \quad (0 < r - R)$$

$$\lambda_j(r) = 0, \quad r \in (a_j, b_j) \quad (j = 1, 2, ..., k)$$
(2.4)

$$(\tau_A = G(\partial u/\partial r - u/r), \quad = G\partial u'\partial z, G - модуль сдвига).$$

Применяя к (2.1). (2.2) по схеме работы [7] преобразование Фурье

$$u_{k}(r) = \int_{-\infty}^{\infty} u(r, z) e^{izz} dz, \quad u(r, z) = \frac{1}{2\pi} \int_{-\infty}^{\infty} u_{k}(r) e^{-izz} dr. \quad (2.5)$$

учитывая условия (2.4), приходим к одномерной краевой задачи

$$\frac{d^{2}u_{\lambda}(r)}{dr^{2}} - \frac{1}{r} \frac{du_{\lambda}(r)}{dr} - \frac{1}{r^{2}}u_{\lambda}(r) - i^{2}u_{\lambda}(r) = i\lambda \sum_{i=1}^{n} \mathcal{I}_{n}(r) e^{i\lambda c_{n}}$$

$$\frac{du_{\lambda}(r)}{dr}\Big|_{r=R} = \frac{u_{\lambda}(r)}{r}\Big|_{r=R} \quad (0 \le r \le R)$$

решая которую с помощью функции Грина

$$G_{1}(r,\xi) = -\int_{1}^{\infty} \frac{t\xi}{r^{2}+t^{2}} J_{1}(tr) J_{1}(t\xi) dt - \frac{K_{2}(iR)}{I_{2}(iR)} \xi I_{1}(i\xi) I_{1}(ir)$$

 $(J_n(z))$  — функции Бесселя,  $I_n(z)$  и  $K_n(z)$  — модифицированные функции Бесселя), переходя к функции u(r,z) и реализуя условня (2.3), получаем окончательно следующую систему интегральных уравнений:

$$\sum_{n=1}^{k} \frac{d}{dr} \int_{a_{j}}^{b_{j}} \xi I_{n}(\xi) \frac{\partial}{\partial \xi} k_{n,j}(r,\xi) d\xi =$$

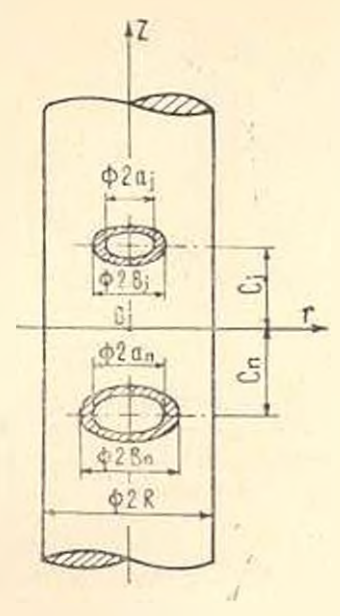
$$= f(r) \quad (a_{i} \leqslant r \leqslant b_{i}, j = 1, 2, ..., k)$$

$$\frac{\partial^{2}}{\partial r \partial \xi} k_{n,j}(r,\xi) = \int_{0}^{\infty} k^{2} f_{1}(i\xi) \times$$

$$\times f_{1}(kr) e^{-k|c_{n} - c_{j}|} dk =$$

$$= \frac{2}{\pi} \int_{0}^{\infty} \frac{K_{2}(iR)}{I_{1}(iR)} I_{1}(iR) I_{1}(iR) i^{2} \cos k(c_{n} - c_{j}) dk$$

 $f(r) = -4Mr\left(\pi GR^4\right)^{-1}$ 



Фиг. 3,

В случае одной монетообра зкои прецикы  $(k=1, a_i=0, b_i=b, c_i=0, \chi_i=\chi)$  имеем интегральное уравненис

$$\frac{d}{dr} \int_{0}^{b} \mathbb{R}(1) \frac{\partial}{\partial z} \left[ W_{00}^{(0)}(r, z) + \mathcal{R}(r, z) \right] dz = f(r) \quad (0 \leqslant r \leqslant b)$$
 (2.6)

W (r, с) — разрывный интеграл Вебера-Сонина

$$\begin{split} \mathcal{W}_{t^{2}}^{(1)}(r,\xi) &= \int\limits_{0}^{\infty} t^{2} \int_{\mathbb{R}} (tr) \int_{\mathbb{R}} (t\xi) dt \\ \\ \frac{\partial^{2}}{\partial r \partial \xi} R(r,\xi) &= -\frac{2}{\pi} \int\limits_{0}^{\infty} \frac{K_{2}(\lambda R)}{I_{2}(\lambda R)} I_{1}(\lambda \xi) I_{1}(\lambda r) \lambda^{2} dt. \end{split}$$

В случае двух трещин радиуса b, расположенных на расстоянии 2c друг от друга (k=2,  $a_1=a_2=0$ ,  $b_1=b_2=b$ ,  $c_1=c$ ,  $c_2=-c$ ,  $\chi_1=\chi_2=\chi$ ) получаем уравнение

$$\frac{d}{dr} \int_{0}^{b} \xi \lambda\left(\xi\right) \frac{\partial}{\partial \xi} \left[ W_{\infty}^{(0)}\left(r,\xi\right) + R^{*}\left(r,\xi\right) \right] d\xi = f\left(r\right) \quad (0 \leqslant r \leqslant b)$$

$$\frac{\partial}{\partial r \partial \xi} R^{*}\left(r,\xi\right) = \int_{0}^{\infty} \lambda^{2} f_{1}\left(\lambda\xi\right) f_{1}\left(\lambda r\right) e^{-2\lambda c} d\lambda -$$

$$-\frac{4}{\pi} \int_{0}^{\infty} \frac{K_{1}\left(R\right)}{I_{1}\left(\lambda R\right)} I_{1}\left(\lambda\xi\right) f_{1}\left(\lambda r\right) r^{2} \cos^{2} k c d\lambda$$

$$(2.7)$$

Согласно спектральному соотношению

$$\frac{d}{dy} \int \tau^2 V \overline{1 - \tau_1^2} P_n^{1, 1/2} (1 - 2\tau^2) \frac{d}{d\tau} W_{00}^{(0)} (y, \tau) d\tau =$$

$$= \pi (n + 1) (2n + 3) \left[ \frac{(2 - 1)!!}{(2n + 2)!!} \right]^{-1/2} (1 - 2y^2)$$
(2.8)

решение уравнеший (2.6), (2.7) ищем в виде

$$Z(\xi) = \sum_{n=0}^{\infty} X_n - \frac{\xi}{b} + b - \frac{1}{2} P^{-1/2} \left( 1 - 2 \frac{\xi}{\sigma} \right)$$
 (2.9)

Соотношение (2.8) устанавливается следующим образом. Интегриру

$$\int W_{10}^{(0)}(y, x) \frac{x^{p_{2n}}(\sqrt{1-y^2})}{|1-\eta^2|} dy = \frac{\pi}{4} \left[ \frac{(2n-1)!!}{(2n)!!} \right]^2 P_{2n}(|1-y^2|)$$

(Pn (z) — многочлены Лежандра), учитывая значение интеграла

$$\int_{-\infty}^{\infty} \frac{\tau_i P_{2n}(\sqrt{1-\chi^2})}{\sqrt{1-\chi^2}} d\tau_i = \frac{y^2 \sqrt{1-y^2}}{2n} P_{n-2}^{3-1/2} (1-2y^2)$$

получаем соотношение

$$\int_{0}^{1} \frac{\partial}{\partial \tau_{i}} W_{n0}^{(n)}(y_{i}, \tau_{i}) \eta^{2} \left\{ \overline{1 - \tau_{i}^{2}} P_{n-1}^{1, 1/2} (1 - 2\tau_{i}^{2}) d\tau_{i} = -\frac{\pi n}{2} \left[ \frac{(2n-1)!!}{(2n)!!} \right]^{2} P_{2n}(1, \overline{1 - y^{2}})$$

анфференцируя обе части которого с учетом

$$\frac{d}{dy}P_{2n}(||\overline{1-y^2}|) = -(2n+1)yP_{n-1}^{1,1/2}(1-2y^2)$$

приходим к (2.8).

Подставляя (2.9) последовательно и уравнения (2.6) и (2.7), следуя методу ортогональных многочленов, приходим к бесконечной алгебранческой системе, имеющей пид в первом случае

$$i_m X_m + \sum_{n=0}^{\infty} a_{mn}^{(0)} X_n = f_m \qquad (m = 0, 1, ...)$$

н во втором

$$I_{m}X_{m} + \sum_{m=0}^{\infty} (a^{(2)} - b_{mn}) X_{n} = f \quad (m = 0, 1, ...)$$

$$= \frac{2\pi (m + 1)^{2}}{4m + 5} \left[ \frac{(2m + 1)!!}{(2m + 2)!!} \right]^{2}, \quad f_{m} = -\frac{8Mab_{n0}}{15 - R^{4}G}$$

$$a^{(j)}_{mn} = \frac{(2n + 1)(2m + 1)(2n - 1)!!(2m - 1)!!}{(-1)^{m+n-1}m!n!2^{m+n}} \times$$

$$\int_{0}^{\infty} \frac{J_{2n+5} - (ib) J_{2m-5} 2(ib)}{i!} \frac{K_{n}(iR)}{J_{n}(iR)} \cos^{j} i c di.$$

$$b_{nn} = \frac{1 - (2n - 1)!!(2m - 1)!!(2m + 1)(2n + 1)}{m!n!}$$

$$\times \sum_{j=0}^{\infty} \frac{(-1)^{k} (m + n + k + 2)! e^{m+n+k+5/2}}{j! \Gamma(2n + k + 7/2) \Gamma(1/2 - n + m - k + j)} \frac{1}{1 + 4(c/b)^{2}}$$

Для этих систем можно доказать квазирегулярность [4, 8].

Наибольший интерес представляет коэффициент интенсивности напряжений

$$K_{10} = 1 \ \overline{2} \lim_{r \to b \to 0} | \ \overline{r - b} = (r, \ 0)$$
 (2.10)

который определим для случая одной трещины (он вычисляется аналогично, когда имеется  $k \geqslant 2$  трещин). Запишем выражение для  $\tau_0$  при z=0

$$\tau_{bs} = \frac{G}{2} \left\{ \frac{d}{dr} \int_{0}^{b} \xi \mathcal{N}(\xi) \frac{\partial}{\partial \xi} \left[ W_{\infty}^{(a)}(r, \xi) + R(r, \xi) \right] d\xi - f(r) \right\}$$
 (2.11)

которое при r - b + 0 можно представить в виде

$$\tau_{0s} = \frac{G}{2} \frac{d}{dr} \int_{0}^{b} \xi \mathcal{X}(\xi) \frac{\partial}{\partial \xi} W_{00}^{(0)}(r, \xi) d\xi + \Omega_{0}(r)$$
 (2.12)

где  $\Omega_i(r)$  (i=0,1,...,4) ограничены при  $r\to b+0$ . Учитывая, что для  $W_{co}^{(0)}(r,z)$  при  $z\to r\neq 0$  справедливо следующее представление:

$$W_{00}^{(0)}(r, \xi) = \frac{1}{\pi V r \xi} \ln |\xi - r| + \Phi_0(r, \xi)$$

 $(\Phi_0(r, 1)$  ограничена при (r, 1) имеем при r-b+0

$$\tau_{1s} = \frac{G}{2\pi} \frac{d}{dr} \frac{1}{r} \int_{0}^{b} \xi \chi(\xi) \frac{d\xi}{\xi - r} + \Omega_{1}(r)$$

откуда с учетом (2.9) получаем при  $r \to b + 0$ 

$$\tau_{\theta_{2}} = \frac{G}{2\pi} \sum_{n=0}^{\infty} X_{n} \frac{d}{dr} \frac{1}{r} s_{n}(r) + \Omega_{2}(r)$$
 (2.13)

где

$$s_n(b|V|\vec{t}) = b^2 \int_0^1 \frac{q_n^{1,1/2}(\tau) d\tau}{\tau - t}$$

 $(q_n^{*,\beta}(z))$  определяются формулой (1.16)).

Принимая во внимание представление, получающееся из формулы 15.3 (9) из [2] при -1+0

$$\int_{0}^{\infty} \frac{q_{n}^{0}(\tau) d\tau}{\tau - t} = \frac{1}{\sin \tau \beta} t^{n} (t - 1)^{2} P_{n}^{n, 3} (1 - 2t) + \Phi_{1}(t)$$

 $(\Phi_1(t))$  ограничена при  $t \to 1+0$ ), имеем при  $r \to b+0$ 

$$\frac{d}{dr} \frac{1}{r} s_n(r) = \frac{1}{\sqrt{r-b}} \frac{(-1) \Gamma(a+3/2)}{n!} \sqrt{2\pi b} + 2 (r)$$

Подставляя последнее выражение в (2.13), получяем, что при  $r \to b + 0$  при  $\tau_{b} = (r, 0)$  имеет место представление

$$\tau_{s} = G \sqrt{\frac{b}{2\pi}} \sum_{n=0}^{\infty} \frac{(-1)^{n} \Gamma(n+3;2)}{n!} X_{n} \frac{1}{\sqrt{r-b}} + \Omega_{4}(r)$$

откуда, учитывая (2.10), находим

$$K_{\rm III} = G \sqrt{\frac{b}{\pi}} \sum_{n=0}^{\infty} \frac{(-1)^n \Gamma(n+3/2)}{n!} X_n$$

Для одной трещины при  $b=0.6\,R$  получаем следующее приближенное выражение для коэффициента интенсивности напряжений  $\tau_{0.0}$  которое согласуется с результатом работы [9]

$$K_{\rm HI} \sim \frac{8}{3} \pi^{-2} M b^{3/2} R^{-4}$$

В случае двух трещин радиуса b, расположениых на расстоянии 2c друг от друга, обнаружено, что при b/c = 10, c = 10,

§ 3. Задача 2 при  $b_i = R$  (j = 1, 2, ..., k), когда кольцевые трещины неглубокие ( $a_j/R$  0.85), эквивалентна антиплоской задаче теории упругости для ослабленной k-полосовыми трещинами ( $0 \le x \le a_j$ ,  $y = c_i$ , j = 1, 2, ..., k) полуплоскости ( $0 \le x \le \infty$ ,  $-\infty < y = \infty$ ), к берегам трещин которой приложена сдвигающая нагрузка, равномерно распределенная вдоль осн z (фиг. 4). В такой постановке для случая одной трещины задача рассмотрена в [6]. Здесь же иным способом решается более общая (для k-трещин), задача, которая сводится к следующей краеной задаче:

$$|W| = \left(\frac{\partial^2}{\partial x^2} + \frac{\partial^2}{\partial y^2}\right) |W| = 0 \quad (3.1)$$

$$|V| = \left(\frac{\partial^2}{\partial x^2} + \frac{\partial^2}{\partial y^2}\right) |W| = 0 \quad (3.1)$$

$$|V| = \left(\frac{\partial^2}{\partial x^2} + \frac{\partial^2}{\partial y^2}\right) |W| = 0 \quad (3.1)$$

$$|V| = \left(\frac{\partial^2}{\partial x^2} + \frac{\partial^2}{\partial y^2}\right) |W| = 0 \quad (3.1)$$

$$|V| = \left(\frac{\partial^2}{\partial x^2} + \frac{\partial^2}{\partial y^2}\right) |W| = 0 \quad (3.1)$$

$$|V| = \left(\frac{\partial^2}{\partial x^2} + \frac{\partial^2}{\partial y^2}\right) |W| = 0 \quad (3.2)$$

$$|V| = \left(\frac{\partial^2}{\partial x^2} + \frac{\partial^2}{\partial y^2}\right) |W| = 0 \quad (3.2)$$

$$|V| = \left(\frac{\partial^2}{\partial x^2} + \frac{\partial^2}{\partial y^2}\right) |W| = 0 \quad (3.2)$$

$$|V| = \left(\frac{\partial^2}{\partial x^2} + \frac{\partial^2}{\partial y^2}\right) |W| = 0 \quad (3.2)$$

$$|V| = \left(\frac{\partial^2}{\partial x^2} + \frac{\partial^2}{\partial y^2}\right) |W| = 0 \quad (3.2)$$

 $( au_{xx}=G(\partial W_l\partial x),\; au_{xx}=G(\partial W_l\partial y),\; G$ — модуль сдвига) с выполнением условий на трещинах

$$\frac{\partial W}{\partial y}\Big|_{y=c_{j}} = -\frac{2M}{\pi GR^{2}} \quad (0 \leqslant x \leqslant a_{j}) \tag{3.3}$$

$$W(x, c_i - 0) - W(x, c_j + 0) = \chi_j(x)$$

$$(\lambda_j(x) - 0, x \geqslant a_1, j = 1, 2, ..., k)$$
(3.4)

Применяя интегральное преобразование (2.5) по схеме [7] к (3.1). (3.2) и учитывая условия (3.4), обозначая при атом

$$W_{\lambda}(x) = \int W(x, y) e^{iy} dy$$

приходим к красвой задаче

$$\frac{d^{2}W_{1}(x)}{dx^{2}} - h^{2}W_{1}(x) = ih \sum_{n=1}^{\infty} k_{n}(x) e^{i+n}$$

$$\frac{dW_{1}(x)}{dx} \Big|_{x=0} = 0, \quad W_{1}(x)|_{x=0} = 0$$

решая которую с помощью функции Грина

$$G_{\lambda}(x, y) = -\frac{1}{2|\lambda|} \left[ e^{-0.1(x-y)} + e^{-0.1(x-y)} \right]$$

так же, как и в задаче 2, получаем следующую систему интегральных уравнений:

$$\sum_{n=1}^{a_n} \int_0^{a_n} \langle r_i \rangle [l_{-i}(r_i - x) + l_{n,-i}(r_i + x)] dr = f_0 \quad (0 \leqslant x \leqslant a_i)$$

$$(y) = \frac{n}{y^2 - (c_n - c_i)^2} \quad (1 \leqslant i, n \leqslant k), \quad f_0 = \frac{4M}{Gk^2}$$

(производные функций ‰ (ц) появились за счет интегрирования по частям).

В случае двух одинаковых трещин ( $a=a_1=a$ ), расположенных на расстоянии 2с друг от друга ( $c_1=c$ ,  $c_2=-c$ ), имеем уравнение ( $\chi_1=-\chi_2=\chi_3$ )

$$\int d^{n}(x) \left[ \frac{1}{x_{1} - x} + \frac{x_{1} - x}{(x_{1} - x)^{2} + 4c^{2}} \right] dx = f_{0} \quad (0 \le x \le a)$$
 (3.5)

Эдесь функция  $\chi'$  ( $\eta$ ) нечетным образом продолжена на отрицательные эначения аргумента. Вводя функцию  $\psi$  ( $\eta/a$ ) =  $\chi'$  ( $\eta$ ), получаем уравнение ( $\rho=c/a$ )

$$\int_{-2}^{1} q(z) \left| \frac{1}{z - t} + \frac{z - t}{(z - t)^2 + 4z^2} \right| dz = f_4 \quad (|t| < 1)$$

решение которого с учетом того, что  $\psi(\tau) = -\psi(-\tau)$ , ищется в виде

$$\phi\left(\tau\right) = \sum_{n=0}^{\infty} \Psi_n \frac{T_{2m+1}\left(\tau\right)}{\sqrt{1-\tau^2}}$$

Для определения Ч<sup>г</sup>, приходим к квазирегулярной бесконечной системе (аналогичной (1.10))

$$a_{mn} = \frac{2}{\pi^2} \int_{-1}^{1} \int_{-1}^{1} \frac{1}{1 - \tau^2} \frac{1}{1 - \tau^2} \frac{1}{1 - t^2} dt$$

$$h_m = 2$$

Для получаются формулы, аналогичные (1.11).

Ковффициент интенсивности напряжений ту, определяется по схеме, изложенной при рещении задачи 2, только вместо формулы (2.11) следует воспользоваться выражением

$$\tau_{gx}(x, c) = -\frac{G}{2\pi} \left\{ \int X'(z) \left[ \frac{1}{z - x} + \frac{\eta - x}{(z - x)^2 + 4c^2} \right] dz - f_0 \right\}$$

и окончательно имеем

Как и для внутренних трещии, рассмотрен случай сближения двух трещии (с — 0). Результаты вычислений сведены в таблицу, из которой видно, что при сближении трещии хозффициент интенсивности напряжений также уменьшается, причем взаимное влияние трещин друг на друго проявляется в большей степени, когда трещины выходят на границу, по сравнению с внутренними дискообразными трешинами.

В заключение авторы приносят глубокую благодарность Н. Х. Арутончну за постановку задач.

Одесский государственный университет им. И. И. Мечинкова Одесский политехнический пиститут

Поступная 10 Х 1980

Boi. U. Ubsimand, U. S. Autquaha, A. Sm. Mand

«ԱՔԵՐԻ ԵՎ ԲԱՐԱԿ ԱՄԲԱՑՈՒՄՆԵՐ<mark>Ի ԱՌԿ</mark>ԱՅՈՒԹՅԱՆ ԴԵՊՔՈՒՄ ՉՈՂԵՐԻ ՈԼՈՐՄԱՆ <mark>ՄԻ ՔԱՆԻ ԽՆԴԻՐՆԵՐԻ</mark> ՄԱՍԻՆ

Այիսատանրը նվիրված է բարակ ծածկույիներով ուժեղացված կիսակլոր լայնական կտրվածրով առաձղական հողերի և լայնական օղակաձև ճարեր ունեցող գլանային լիսեռննթի ոլորժան խնդիրներին։ Ուժեղացված ձողնրի ոլորման խնդրի համար ստացվել են ոլորման կոչտության համար տարակցություններ՝ կախված ամրացման երկարությունից և դիրքից, իսկ ճարևրով գլանային լիսևուների ոլորման խնդրի համար որոշվել են լարումների ինահնաիվության գործակիցները կախված ճարևրի բանակից և դիրքից։

Բերված խնդիրների Համար արվում են Ովային օրինակներ։

# ON SOME PROBLEMS OF ROD TWISTING AT THE PRESENCE OF CRACKS AND THIN PROPS

J. A. ANTIPOV, A. F. DASCHENKO, G. J. POPOV

## Summary

This paper deals with the problems of twisting elastic rods with semi-circular cross-sections strengthened with thin reinforced coverings and circular cylindrical shafts with transversal annular cracks. For problems with reinforcement, rigidity relationships are given: twisting depending on the position and length of reinforcement and problems concerning crack relationships of tension coefficients at the edges of cracks depending on the position and quantity of cracks are indicated.

A numerical solution is given for all problems discussed in the paper.

#### **ЛИТЕРАТУРА**

- 1. Аругюнян Н. Х., Абрамян Б. А. Кручение упругих тел. М. Физматсиз, 1963, 686 с.
- 2. Вейтман Г., Эрдени А. Таблицы интегральных преобразовании. т. 2. М.: «Наука—1970, 328 с.
- Марицео О. И. Метод вычисления интегралон от специальных функций. Минск-Наука и техника», 1978, 311 с.
- 4. Морерь Г. А., Петов Г. Я. К. контактной задаче для полуплоскости с упругим изпечным креплением.— ПММ, 1970, т. 34, в. 3, с. 412—421.
  - 5 Паносюк В. В., Саврих М. П., Даньшин А. П. Распределение напряжении около трении в пластинках и оболочках. Киев: Изд-во «Наукова думка», 1976, 443.
  - Партон В. З., Моровов Е. М. Механика упруго-пластического разрушения. М.: Физматена, 1974, 416 с.
  - Попов Г. Я. Об одном способе решения задач механики для области с разрезами и тонкими включениями.— ПММ, 1978. т. 42, в. 1, с. 122—135.
  - 8. Попов Г. Я. О методе ортоговальных многочленов в контактных задачах теории упрусости.— ПММ, 1969, т. 33, в. 3, с. 518—531.
  - Си Дж., Эмбли Дж. Меновенное приложение крутящего момента к дискообразноч трещине.—Прикл. механика, над-во «Мир», 1972, № 2, с. 76—81.
- 10. Smith E. The extension of two parallel non-coplanor cracks by an applied stress.

  —Int. J. Eng. Sci., 1971, 9, 7, c. 631 638

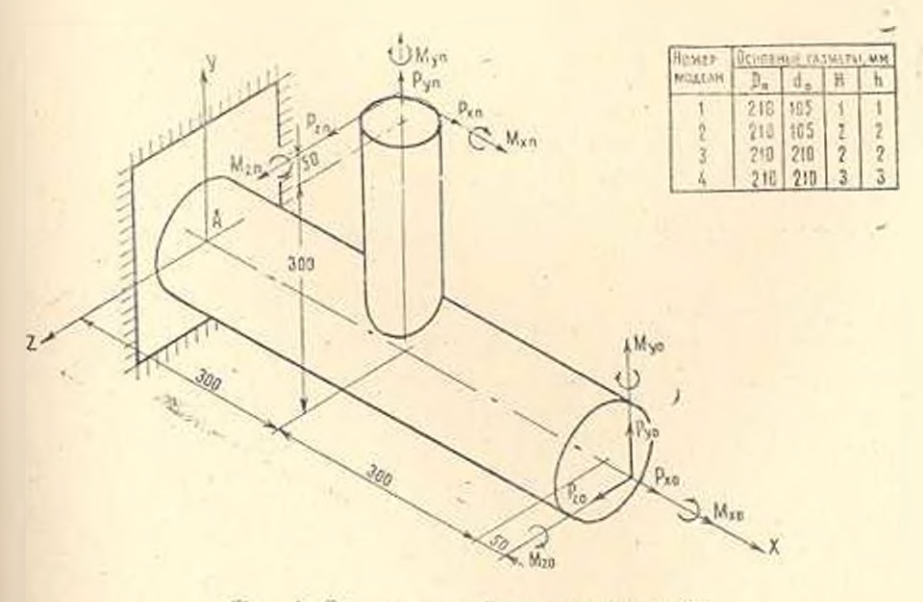
XXXV, No 2, 1982

Механика

## А. И. ЕЛЬЦОВ, А. Л. ЛИВШИЦ, Э. А. МОЛДАВСКИГІ

# КОНЦЕНТРАЦИЯ НАПРЯЖЕНИЙ В ПЕРЕСЕКАЮЩИХСЯ ЦИЛИНДРИЧЕСКИХ ОБОЛОЧКАХ

В различных отраслях техники широко используются конструкции, представляющие собой пересечение цилиндрических оболочек (оболоченые тройники). Определение папряженно-деформированного состояния (НДС) таких конструкций в воне пересечения оболочек является весьма сложной проблемой, особенно если отношение диаметров патрубка (d) и основной оболочки (D) близко к единице. Случай внутреннего давлении был рассмотрен в работах [1]—[3], случай поперечной силы, действующей на патрубок — в работе [4]. Отдельные численные результаты получены в США группой профессора Корума [5], [6] для более широкого диапазона нагрузок. Однако, отсутствие алгоритма расчета не дает возможности использовать эти результаты в расчетной практике.



Фиг. 1. Оболочки и действующие нагрузки.

В настоящей работе экспериментально исследуется влияние вида нагружения на напряженное состояние оболочек-тройников в случае защемления горца основной оболочки. Основные размеры моделей и нарианты нагружения представлены на фиг. 1. В работе излагаются лишь результаты испытаний моделей № 4, изготовленных из стали и эпоксидной смолы. Приняты обозначения: первый индекс обозначает направление действия нагрузки, второй — объект приложения Например,  $R_{\rm c}$  — сила, направленная вдоль оси  $A_{\rm X}$  и приложенная к оболочке;  $M_{\rm c}$  — пара сил. скручивающая патрубок, момент которой параллелен оси  $A_{\rm Y}$ .

Обе модели испытывались методом тензометриронания, а эпоксидный тройник испытывался также методом фотоупругости с «замораживанием» деформаций.

Для экспериментов применялись деформационные тензорезисторы ПКБ-5-100 с коэффициентом тензочувствительности 2.1. Количество тензорезисторов на оболочках колебалось от 368 до 480 штук. Подготовка тензорезисторов производилась по обычной методике (проверка коэффициента тензочувствительности, нанесение подслоя, сушка, вторичное нанесение подслоя), прикленвание тензорезисторов на металлические модели осуществлялось клеем БФ-2. Термообработка: нагрев до 70°С, выдержка в течение часа, нагрев до 140°С и выдержка в течение двух часов, нагрев до 180°С и выдержка два часа, датем — охлаждение вместе с термостатом.

Для приклеивания тензорезисторов на эпоксидную оболочку примеиялся клей того же состава, что и сама оболочка. Так как процесс полимеризации длится около трех часов, тензорезисторы при приклейке прижимались специальными пружинными поджимами.

Тензометрирование проводилось с использованием измерительновымислительного комплекса «Харьков» (измеритель деформаций ИД-40, ЭВМ «Днепр-21»), разработанного в Харьковском авнационном институте, который позволяет производить как регистрацию относительных деформаций тензорезисторов в двух режимах (ручном и автоматическом), так и дальнейшую обработку результатоп измерений.

При пропедении экспериментов на эпоксидной модели тройника регистрация показаний тензорезисторов проводилась в ручном режиме, так как на квждом этапе нагружения приходилось делать выдержку в 1,5—2 мин. для диплидации явления последействия (из-за нагрева тензорезисторов).

Испытание эпоксидной модели методом фотоупругости проводилось на кафедре теории упругости Кневского государственного университета на стандартной аппаратуре. Срезы делались с помощью алманых дисков, применение которых не требует дальнейшей полировки срезов.

Использование четырехдатчиковых ролеток, наклесниых снаружи и внутри моделей, позволило получить достаточно полную картину НДС тройников при каждом виде нагружения. Розетки устанавливались на лучах, сходящихся (в плане) в одном центре-точке пересечения оси патрубка и поверхности основной оболочки. Первый луч (0) лежит в поперечной плоскости симметрии и совпадает с образующей основной оболочки, остальные лучи образуют между собой углы в 30°.

I-leoбходимость сравнения опытных данных для различных вариантов нагружения потребовала введения номинальных напряжений, которые определялись следующим образом!

осевая нагрузка  $\sigma_n = P_i F_i$  поперечная сила  $= Pa\left(r_1 / \right)_i$  изгибающий момент  $= M_n\left(r_1 / f\right)_i$  крутящий момент  $\sigma_n = M_{np}\left(r_1 / f\right)_i$ , где

P— неличина действующей осеной (поперечной) силы;  $M_{\bullet}$ — величина изгибающего момента;  $M_{\bullet}$ , неличина крутящего момента;  $r_1$ — наружный радиус оболочки (патрубка); J— осеной момент инерции оболочки (патрубка); a— полярный момент иперции оболочки (патрубка); a— наименьшее расстояние от точки приложения поперечной силы до образующей оболочки (в случае нагружения потрубка) или расстояние от точки приложения силы до поперечной плоскости симметрии (пелучае нагружения оболочки); F— площадь сечения оболочки (патрубка).

Относя максимальные значения пормальных напряжений, полученные и эксперименте, к поминальным напряжениям, вычисляем коэффициент концентрации напряжений

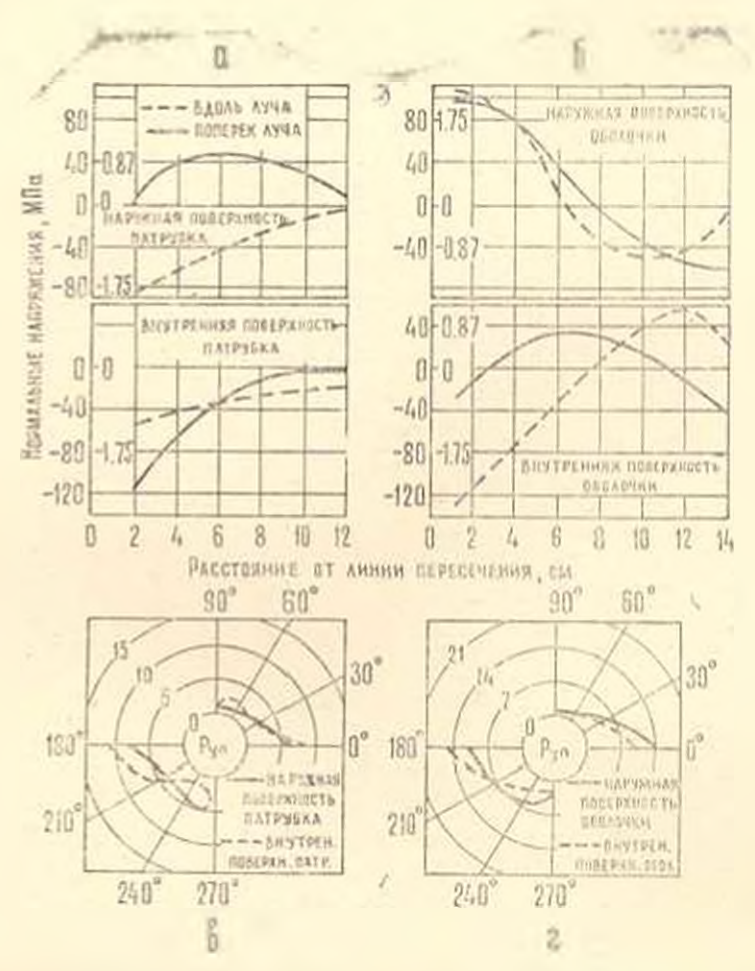
$$K = \frac{z_n}{\sigma_n}$$

где э. — папряжения, найденные и эксперименте; — поминальные напряжения, пычисляемые по вышеприведенным формулам.

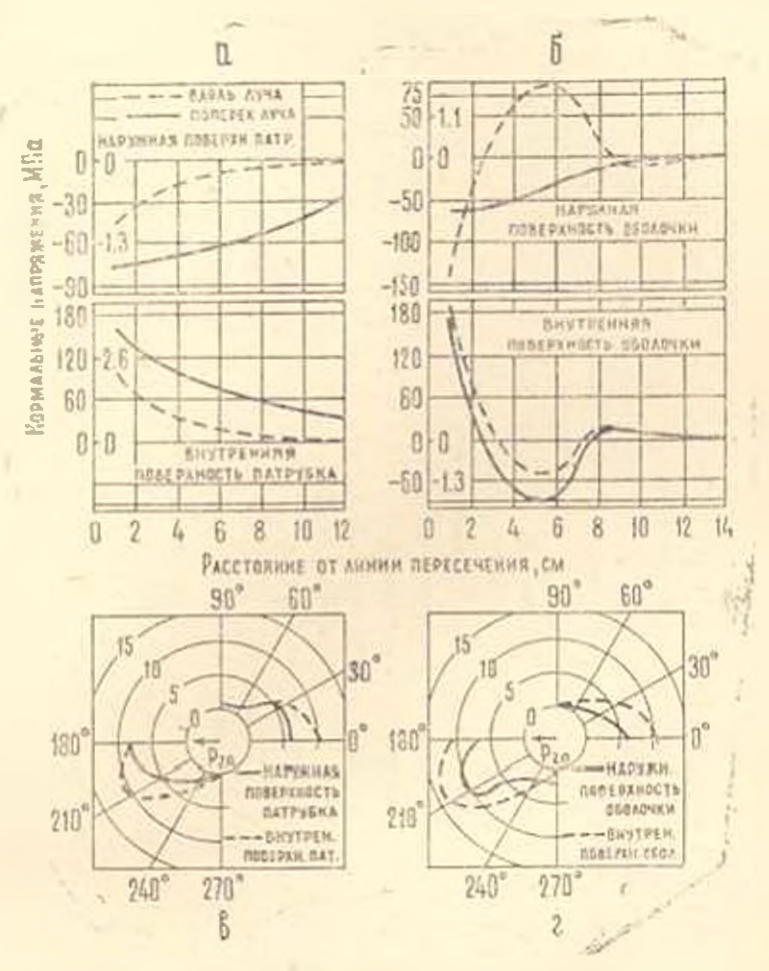
На фиг. 2—11 представлены графики, показывающие зависимость пормальных изприжений ит расстояния до линии пересечения основной оболочки и патрубка (случай в.б) на наиболее нагружением луче при каждом виде нагружения. Левые вертикальные шкалы напряжений для металлической модели, правые для эпоксидной. На тех же фигурах (случай н.г.) показаны зависимости коэффициентов концентрации от расположения лучей на модели.

Тиблица 1

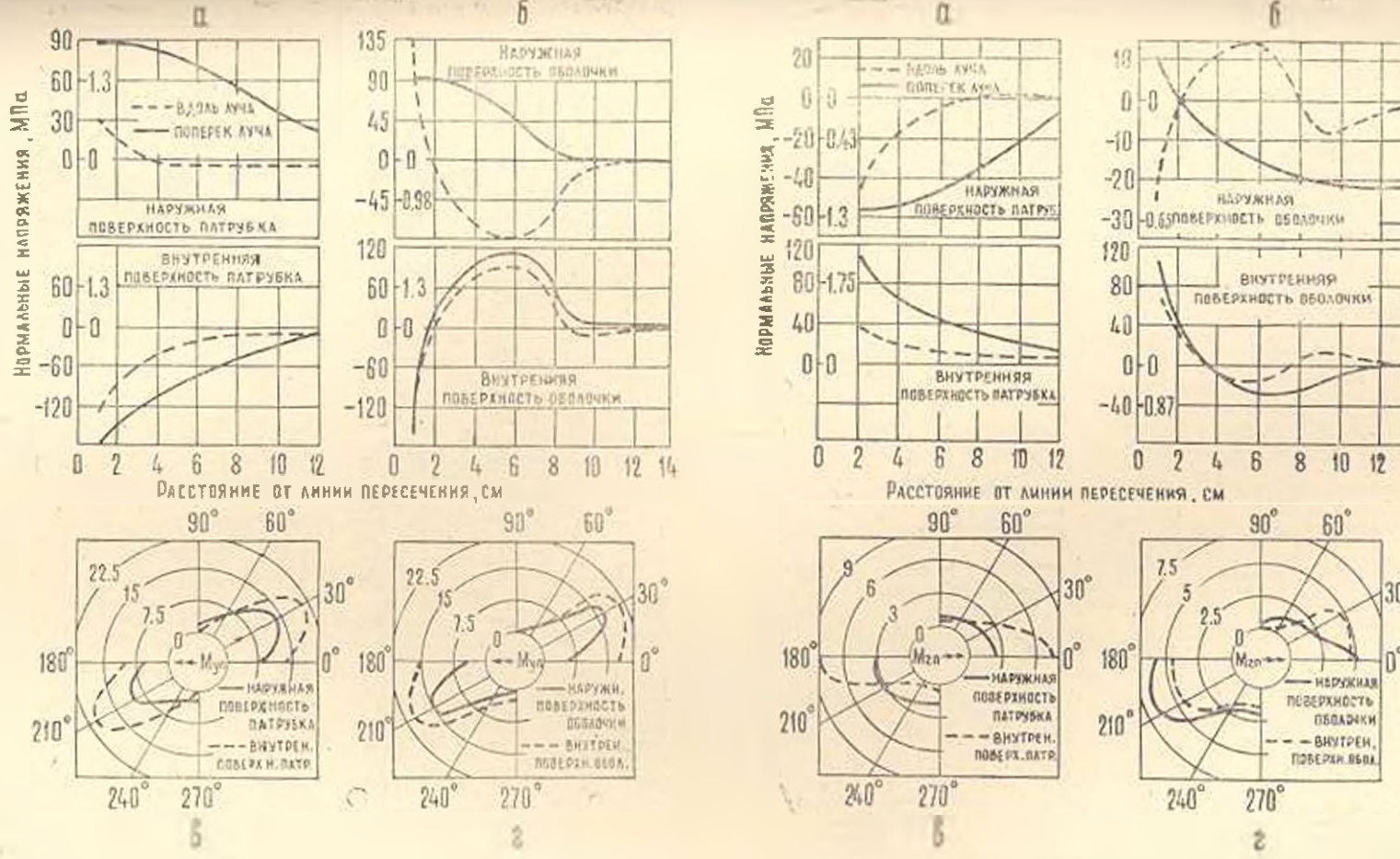
Harpyana	конбендовин Коэффийнен	Зоно мексимальных напряжений
$P_{gh}$ — осевая сила на патрубов	15.2	Наружива поверхность оболоч- кв. луч 180
$P_{zn}$ — поперечная силь на патрубов, плоскость $Ayz$	13.6	Внутренавя поверхность натрубка, куч 180°
Мул- крутящий момент на патрубок	21.6	Внутрениям померхность па- трубка, луч 210°
$M_{\rm en}$ — нагибающий менент на патру- бок, наоскость $Axy$	7,8	Вяутренияя поверхность патрубка, мун 180
Мін нагибающий момент на патру- бов, плоскость Ауг	7.7	Виутренняя померяность обо- лочин, луч 0°
P <sub>20</sub> — осения сила на оболочку	17.8	Внутренияя поверхность по-
Pgo - поперечная сила на оболочку, плосиость Аху	11.3	Внутренияя попераность натрубав, луч 180
M-0- крутицый момент на оболочку	22	Виутрениям новерхнесть пя- трубке, луч 30°
Мар- изгиблющий моненз на оболов-	10.3	Виутрения поворхность питрубии, луч 0"
Pan - поперочная сила на патрубов, плосвоеть Аху	11.5	Внутренняя померхность патрубла, жуч 180°



Фиг. 2. Картина напряменного состоянкя при действии на патрубок осовой силы  $P_{\eta\eta}$ 

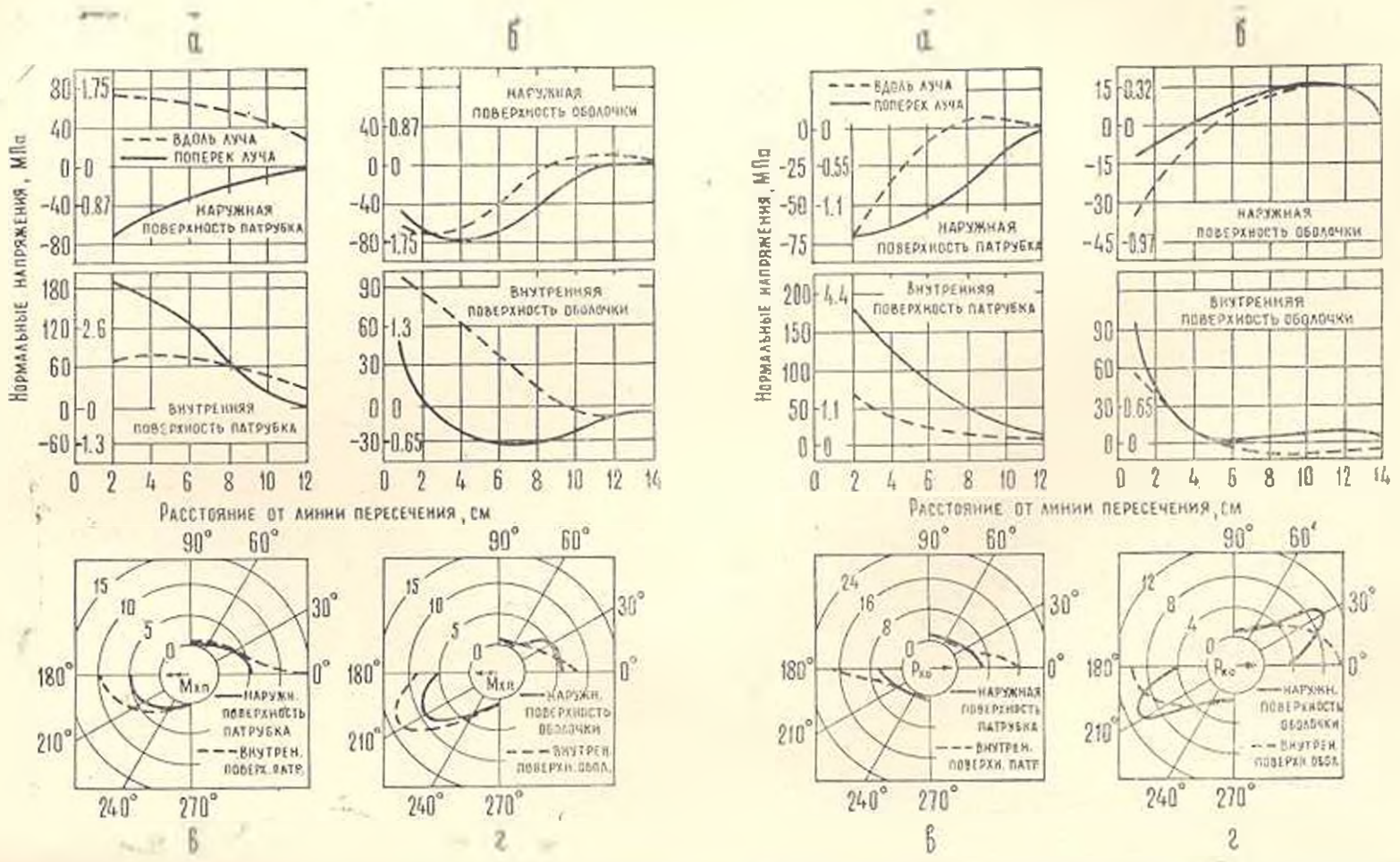


 $\mathfrak{O}_{\mathrm{MF}}$ . 3. Картина напряженного состояния при действии на патрубок поперечной силы, плоскость  $A_{\pi^{\pm}}$ 



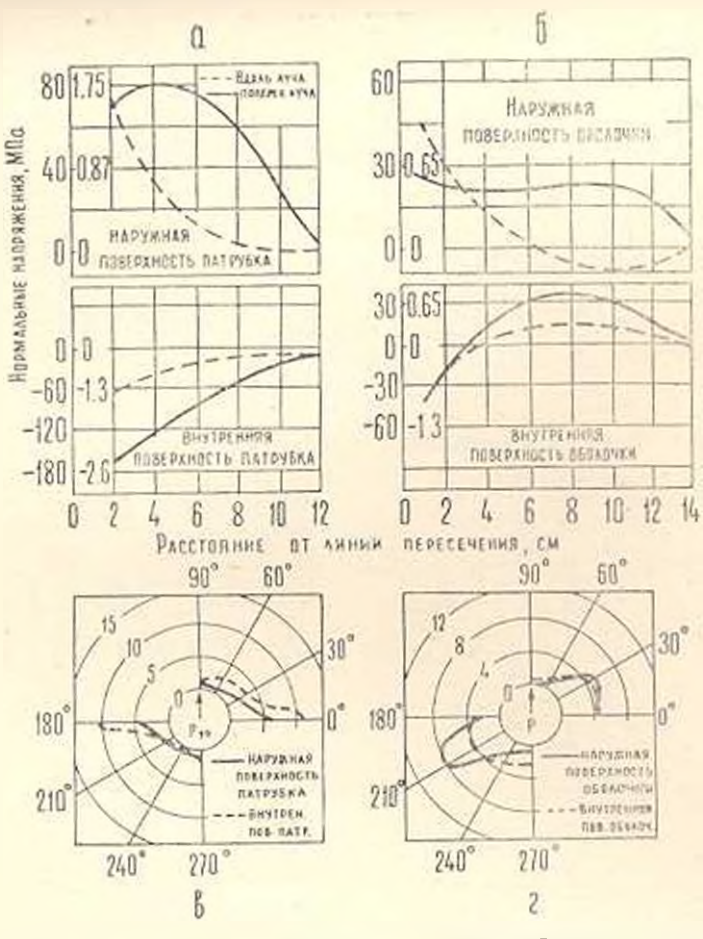
Фиг. 4. Картина напряженного состояния при действии на потрубок крутящего момента  $M_{gn}$ 

Фиг. 5. Картина напряженного состояния при действии на потрубов изгибающего момента, плоскость  $A_{xy}$ 

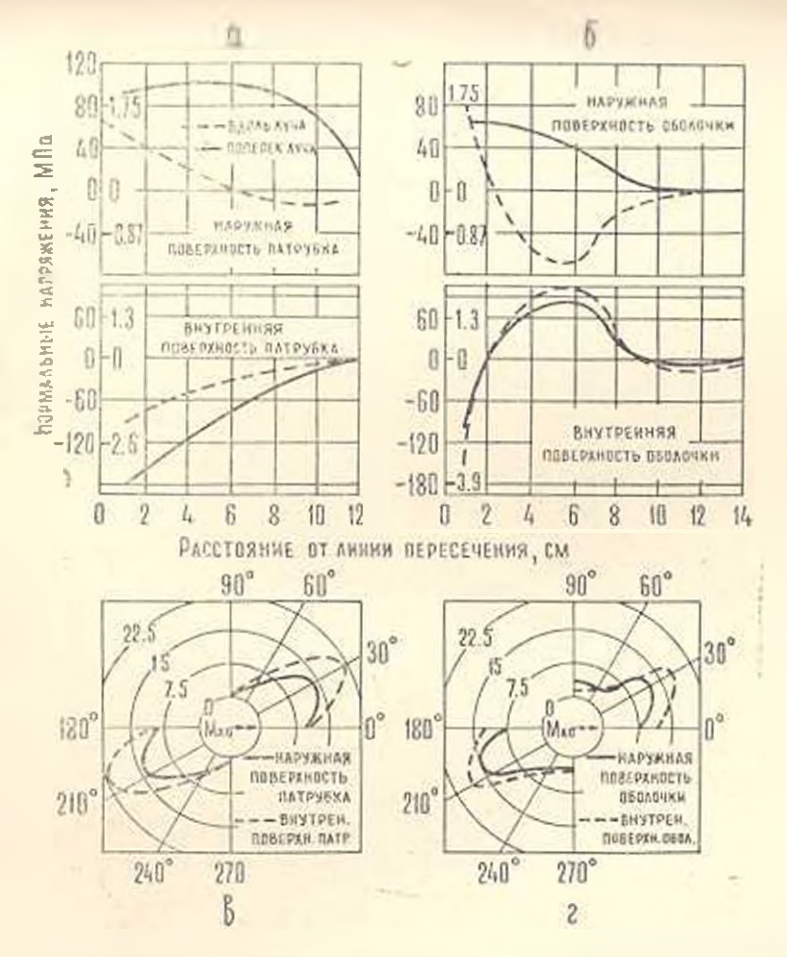


Фиг. 6. Картина непряженного состояния при действик на патрубля

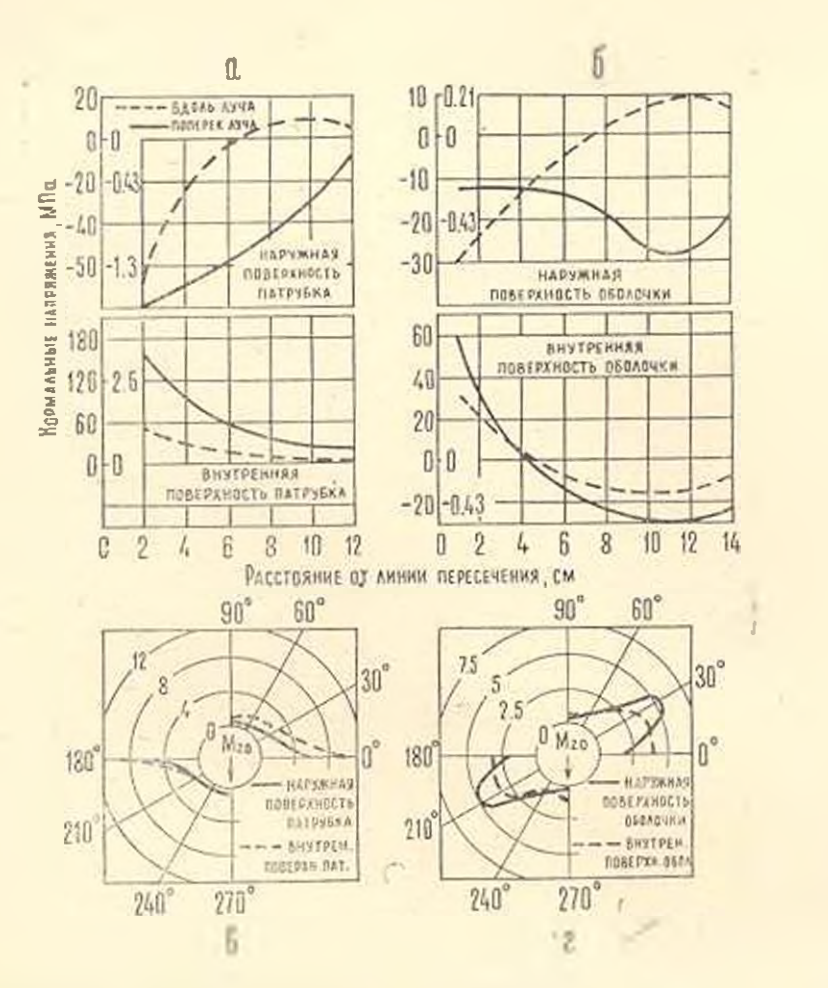
Фиг. 7. Картина напряженного состояния при действии из основную оболочку осовой силы  $P^{*0}$ 



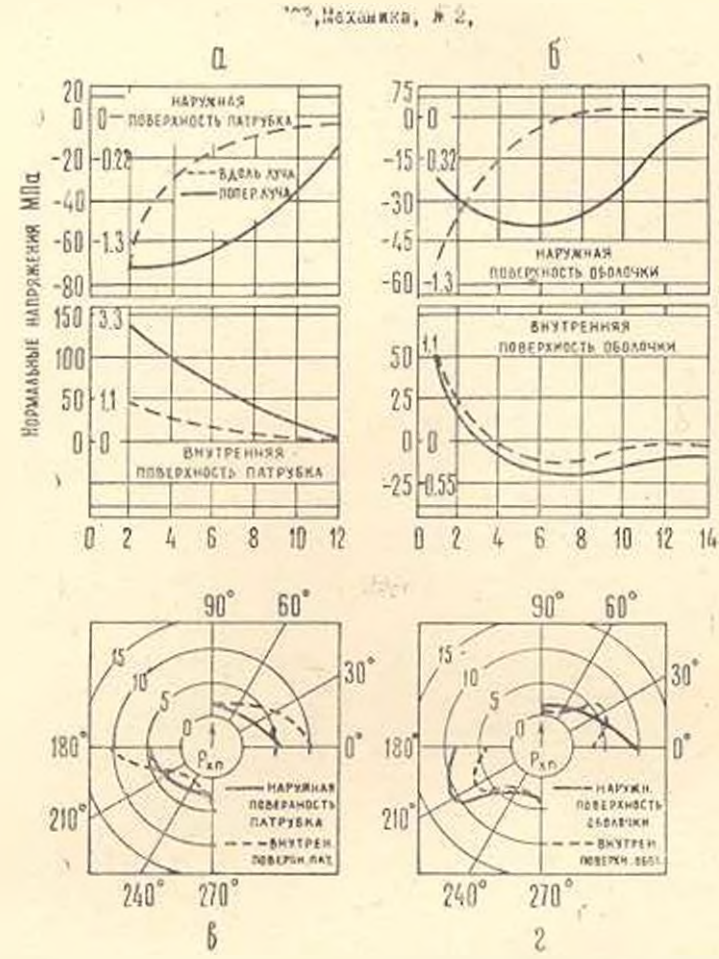
Фис. 8. Картина напряженного состояния при действии не основную оболочку поперсчной силы, плоскость Asy



Фит. 9. Картина папряженного состояния при действии на основную оболозку кругящего момента M 10



 $\Phi_{\rm MF}$ , 10, Картина напряженного состояния при действии на основную оболочку изгибающего момента, плоскость  $A_{\rm Mp}$ 



Фиг. 11 Картина напряженного состояния пря действил на нагрубов поперочной силы, плоскость Ату

В таблицу виссены наибольшие для каждого вида нагружения коаффициенты концентрации напряжений и указаны местоположения розеток, в которых обнаружены наибольшие коэффициенты концентрации.

Из таблицы видно, что при действии на тройники большинства нагрузок коэффициенты концентрации имеют величины порядка 10-15, самые низкие коэффициенты концентрации (7.7-7.8) наблюдаются при действии моментов  $M_{\text{гл.}}$   $M_{\text{гл.}}$  максимальные коэффициенты концентрации напряжений (порядка 22) — при действии крутящих моментов на патрубок и основную трубу.

В таблице не приведены результаты испытаний тройникой при действии на оболочку поперечной силы в плоскости  $A_a$ : и изгибающего момента в той же плоскости из-за нестабильности показаний приборов при атих нагрузках, которую можно объяснить резкими граднентами напряжений в зоне пересечения, что подтвердил дальнейший расчет методим конечных элементов. Это отмечается и в работах [5] и [6].

Наиболее нагруженные участки (для большинства нагрузок) располагаются в зонах 0—30° и 180—210°, то есть в плоскости поперечной симметрии, где и следует производить усиление конструкции в случае необходимости.

ИПП Харькопского заводя «Электротяжман»

Поступнаа 17 IX 1980

և, թ. કાકલન, և. լ. լեվշեց, ն. և. ՄոլԳևՎՍԿԵ

լաբությունը հունցնանրանիկան Հանվող հվաճանին թավանթանրությ

Մոնավորակում

Հոդվածում բերվում են փորձարարական արդյունքները լարումը ռորշելու համար, միատեսակ կորություններ ունեցող գլանային Բաղանքների հատման որջակայքում։

# STRESS CONCENTRATION NEAR CYLINDER-TO-CYLINDER INTERSECTION

A. I. FI.CHOV, A. L. LIVSHITS, E. A. MOLDAVSKY

Summary

The paper gives the results of the experimental determination of stress near cylinder-to-cylinder intersections of equal diameters.

#### **ЛИТЕРАТУРА**

1. Reidelbach W. Der Spunnungzustand im übergangsgehiet einer rechtwinkligen Rohrabzweigung - Ingenier Archiv. 1961. Bd. 30. No. 5, s. 293-316.

- Bijlard P. P., Dohrmann R. J., Wang I. C. Stresses in junction of nozzle to
  cylindrical prossure vessel for equal diameter of vessel and nozzle. Nuclear
  engineering and design, 1967. v. 5, p.p. 349-369.
- 3. Куликов Ю. А., Стисенко И. В. Расчет тройникового соединения тонкостенима труб методом конечных элементов.—В ям. Расчеты на прочность. Вып. 18, М.: Машиностроение, 1977, с. 141—152
- Ando Y., Yagawa G., Kikuch F. Stress distributions in thin-walled intersecting
  cylindrical shells subjected to internal pressure and in-plane force. Proprints
  on the first international conference of structural mechanics in reactor technology, v. 3. Berlin, 1971, G. 2-2/1-G. 2-2/13.
- 5 Corum J. M., Greenstreet W. L. Experimental elastic stress analysis of cylinder-to-cylinder shall models and comparisons with theoretical predictions. Proprints of the first international conference of structural mechanics in reactor technology, v. 3, Berlin, 1971, G, 2.5, pp. 1-24.
- 6. Gwaltneg R. C., Corum J. M., Bolt S. E., Bryann J. W. Experimental stress analysis of cylinder-to-cylinder shall models and comparisons with terrotical predictions.—Transactions of ASME. Journal of pressure vessel technology, Patroleum division, 1976, V. 1. 98, No. 4, p.p. 283—290.

#### **А. Н. МАРТИРОСЯН**

# НЕКОТОРЫЕ НЕСТАЦИОНАРНЫЕ ГРАНИЧНЫЕ ЗАДАЧИ для упругой среды, граничашей с жилкостью

Рассматриваются задачи о соударении упругих плоских и осесняметричных тел, граничациях с жидностью и движущихся и противоположных направлениях со скоростью У. Метод решения динамических гадач теории упругости для изотропной среды предложен Смирновым и Соболевым 11. Решение ряда задач динамической теории упругости методом Смирнова Соболена и методом интегральных преобразований получено в [1-6]. Решение динамических задач при наличии трещии дано в [7, 4]. а с применением метода Каньяра [8] — в работе [9]. Близкий по идес к [8] метод обращения интегральных преобразований с принедением рещения к форме Смирнова—Соболева развит в [10, 11, 12, 13]. Применение указанного метода к задачам с трешинами дано в [14, 15]. Задача соударения плоских тел (стержней) со свободными поверхнстями методом [3] решена в [16, 17]. Задача соударения цилиндоических стержнен со свободными поперхностями решена в [18].

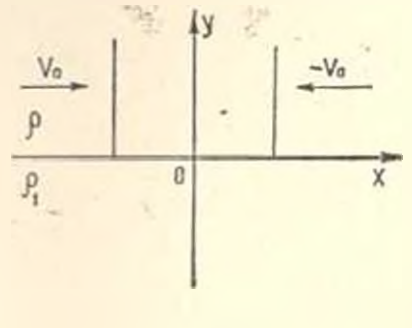
Плоская и осесимметричная задачи о соударении тел при наличии смешанных граничных условий методом [11, 14] решены в [19].

В настоящей работе дано решение плоских и осесниметричных задач соударения упругих тел, граничащих с жидкостью. Определена асимптотика задачи соударения тонких стержней. Для задач со смешаниыми граничными условиями определены коэффициенты интенсивности напряжений.

§ 1. Рассмотрим формулировку граничной задачи соударения полубесконечных упругих тел, ограниченных поверхностями прямых двугран-

ных углов, которые по терминологии работы [16, 17] называем стержиями, и граничащих с сжимаемой жидкостью, (фиг. 1).

Если бы стержии были бесконечными и обе стороны, то задача была бы одномерной по х, где ось х паправлена ндоль поверхности стержней парадлельно скоростям их дияжения, и для проекций перемещений и, и на оси ж, у имело бы место [14] и условиях неупругого соударения стержией



Фиг. 1.

$$\frac{\partial u_0}{\partial t} = -V_0 z (x - at) + V_0 z (-x - at)$$

$$\frac{\partial u_0}{\partial x} = -\frac{V_0}{a} z (at - |x|), \quad V_0 = 0$$
(1.1)

Вводя двумерные возмущения  $U=u=u_a,\ V=v,$  можно записать уравнения движения для упругих сред при g>0

$$\frac{\partial^{2} U}{\partial t^{2}} = a^{2} \frac{\partial^{2} U}{\partial x^{2}} + b^{2} \frac{\partial^{2} U}{\partial y^{2}} + (a^{2} - b^{2}) \frac{\partial^{2} V}{\partial y \partial x}$$

$$\frac{\partial^{2} V}{\partial t^{2}} = b^{2} \frac{\partial^{2} V}{\partial x^{2}} + a^{2} \frac{\partial^{2} V}{\partial y^{2}} + (a^{2} - b^{2}) \frac{\partial^{2} U}{\partial x \partial y}$$
(1.2)

Уравнения движения жидкости в полуплоскости у < 0 имеют вид:

$$\frac{\partial^2 U_1}{\partial \ell^2} = c \left( \frac{\partial^2 U_1}{\partial x^2} + \frac{\partial^2 U_1}{\partial y^2} \right) 
\frac{\partial^2 V_1}{\partial \ell^2} = c^2 \left( \frac{\partial^2 V_1}{\partial x^2} - \frac{\partial^2 V_3}{\partial y^2} \right)$$
(1.3)

где а и b — скорости продольных и поперечных воли соответственно,  $\sigma(x)$  есть единичная функция,  $\epsilon$  — скорость воли в жидкости. Предположим, что на границе  $y=0, -\infty < x < \infty$  удовлетворяются следующие граничные условия:

$$K\frac{\partial U}{\partial x} + a^{2}\frac{\partial V}{\partial y} + K\frac{\partial u_{0}}{\partial x} = \frac{1}{\rho} - \left(\frac{\partial V}{\partial y} + \frac{\partial U}{\partial x}\right)$$

$$\frac{\partial V}{\partial x} + \frac{\partial U}{\partial y} = 0, \quad V = V_{1}, \quad K = a^{2} - 2b^{2}$$

Переходя к преобразованиям Лапласа  $\overline{U}, \overline{V}, \overline{U}_i, \overline{V}_i$  от  $U, \overline{V}, \overline{U}_i, \overline{V}_i$  по  $I_i$  граничные условия можно записать в виде

$$K\frac{\partial \overline{U}}{\partial x} + \alpha \frac{\partial \overline{V}}{\partial y} = K\frac{V_0}{\alpha s} + \frac{P_1}{P} = \left(\frac{\partial V_1}{\partial y} + \frac{\partial \overline{U}_1}{\partial x}\right)$$

$$\frac{\partial V}{\partial x} + \frac{\partial \overline{U}}{\partial y} = 0, \quad \overline{V} = V_1$$
(1.4)

где  $S = - \iota \omega$  есть параметр преобразования Лапласа, а  $\rho$ ,  $\rho$ , — плотность соответствующих сред. Ищем решение уравнений (1.2), (1.3), записанных для U, V,  $\overline{U}_0$ ,  $\overline{V}_0$ , в виде

$$\overline{U}_{1}, \overline{V} = \sum_{i=-\infty}^{2} \int_{-\infty}^{\infty} \overline{U}^{(n)}, \overline{V}_{(n)} e^{i(\overline{u}x + \overline{v}_{1}y)} d\overline{u}$$

$$\overline{U}_{1}, \overline{V}_{1} = \int_{-\infty}^{\infty} \overline{U}_{1}, \overline{V}_{1} e^{i(\overline{u}x + \overline{v}_{1}y)} d\overline{u}$$
(1.5)

$$\overline{V}^{(n)} = \frac{a^2 \beta_1 - \frac{1}{(a^2 - b^2) a \beta_n}}{(a^2 - b^2) a \beta_n}, \quad \overline{U}_1 = \frac{1}{\overline{\beta_1}} \overline{V}_1$$

$$\overline{\beta}_n = \sqrt{\frac{w}{c^2} - x^2}, \quad \overline{\beta}_1 = -\sqrt{\frac{u}{c} - 1}, \quad c_1 = a, \quad c_2 = b$$

Подставляя (1.5) в (1.4) и проводя обратное преобразование Фурье по х. получим алгебранческие системы уравнений относительно  $U^{(1)}$ .  $U^{(2)}$ , решение которых дается в ниде

$$\overline{U}^{(1)} = -\frac{iKV_0b^2\overline{\alpha}}{a^2\pi} \frac{\overline{\beta}_3 \overline{X}}{\overline{\beta}_1 R(\alpha)}, \qquad \overline{z} = \frac{2KV_0b\overline{\alpha} \overline{\beta}_1}{\overline{\alpha}^2 R(\alpha)}$$

$$\overline{V}_1 = -\frac{iKV_0\omega^2\overline{\beta}_3}{\overline{\alpha}\overline{\beta}_1 R(\alpha)} \qquad \overline{z} = \frac{b^2}{b^2} - 2z$$

$$R(a) = b^4\overline{\beta}_1 [X^2 + 4\overline{\alpha}^2\overline{\beta}_1 \overline{\beta}_2] - \frac{\Gamma_1}{\overline{\rho}} \overline{\beta}_1 \omega^4$$
(1.6)

где  $R(\alpha)$  — функция Рэдея, которая имеет только два корня, находящихся на вещественной осн [20].

Подставляя (1.6) в (1.5), получим решение поставленной задачи, периодическое во времени. Обратное преобразование по 1, соответствующее решению исстационарной задачи, имеет вид

$$U; \ V: \ V_1 = \frac{1}{2^{-1}} \int_{a_{-1}}^{a+1} \overline{U}; \ \overline{V}: \ V_1 e^{at} ds \tag{1.7}$$

При применении обратного преобразования Лапласа по t введем вместо z переменную (z=1,  $s=z-i\pi$ ,  $\beta=1$ ,  $r_{i}$ ,  $\beta=1$ ,  $r_{i}$ ,  $\beta=1$ ,

Существенными оказываются охрестности точек  $\alpha = \alpha_{n_1}$  для которых выражения в экспонентах обращаются в нуль

$$f_n(a_n) = 0, \quad f_n(a) = 1 - ax - \theta_n(a) y, \quad n = 1, 2, 3$$
 (1.8)

причем сопряженные значения  $a_n$  также удовлетноряют (1.8). Как показано в [11], можно контур интегрирования —  $a < \infty$  заменить контуром  $\Gamma_n$ , проходящим через указанные точки  $a_n$ ,  $a_n$  в направлении  $a_n = a_n y$  = 0. Вычисляя интеграл по s, окончательно получим

$$\frac{\partial^2 U}{\partial t} = 2 \operatorname{Re} \sum_{n=1}^{2} \frac{U^{(n)}(z_n)}{f_n(z_n)} \qquad \frac{\partial^2 V_1}{\partial t^2} = 2 \operatorname{Re} \frac{V_1(z_n)}{f_n(z_n)}$$
(1.9)

и такое же выражение для V с эаменой  $\overline{U}$  на  $\overline{V}^{**}$ , где = tx + yi  $t^2 - r^2c^{-2}$ ,  $r^2a_3^2 - tx - yi$   $t^2 - r^2/c^2$ ,  $r^2 = x^2 + y^2$ . Здесь  $\overline{U}^{***}$ .  $V_1$  дается (1.5), где положено  $\omega = 1$ .

Ил (1.9) можно получить значение напряжений и перемещении при у = 0

$$\frac{\partial}{\partial t} \frac{1}{\varphi} = \frac{2iKV_0c_R c(t - |x|/c_R)}{\alpha |x|^2 - c_R |R'(1/c_R)|} - Rc \frac{2iKV_0^{-1}(|x| - ct) + (|x| - at)}{\pi a^2 x R(x) |3_1(x)|}$$

$$\frac{\partial}{\partial t^2} = - Rc \frac{2iKV_0c_R^2(x) + (|x| - ct)}{\pi a^2 x R(x) |3_1(x)|}$$

$$\alpha = \frac{t}{x}, \quad R\left(\frac{1}{c_R}\right) = 0$$

де  $\delta(x)$  — дельта-функция,  $\sigma(x)$  — единичная функция, а при x=0, то есть на поверхности соударения стержней имеем

$$\frac{z_{uu}}{a} = \frac{KV_0}{a} \lambda(t) = \frac{2Kb^4V_0 \overline{\lambda^2}(iz_1)\beta_3(iz_1)}{\pi a \cdot y R(iz_1)\beta_1(iz_1)\beta_1(iz_1)} + \frac{8}{\pi a^2 y R(iz_2)\beta_1(iz_2)\beta_2(iz_2)} = \frac{1}{y^2} \frac{1}{c_n} \quad n = 1, 2$$

Для выделения особой части решения вблизи точечных воли полагаем

$$a_n \approx a_n^0 + \frac{iy}{r^2} \sqrt{\frac{2r}{c_n} \left(t - \frac{r}{c_n}\right)}, \quad n = 1, 2$$

$$a_3 \approx a_3^0 - \frac{iy}{r^2} \sqrt{\frac{2r}{c} \left(t - \frac{r}{c}\right)}$$

$$\tilde{U}^{(n)}(a_n) \approx \tilde{U}^{(n)}(a_n^0) + \tilde{U}^{(n)'}(a^0)(a_n - a_n^0), \quad a_n = tx/r^2$$

и поскольку  $a_n$ ,  $\theta_n(a_n')$  действительны, а  $U^{(r)}(a_n)$ ,  $\overline{V}^{(n)}(a_n^0)$ ,  $\overline{V}_1(a_3^0)$  чисто мнимые, то можно вз (1.9) получить

$$\begin{split} \frac{\partial u}{\partial t} &= 2\sum_{1}^{r} i \overline{U}^{(s)}\left(s_{s}^{0}\right) \frac{y}{r^{s}} \sqrt{\frac{2r}{c_{s}}\left(t-\frac{r}{c_{s}}\right)} & \varepsilon\left(t-\frac{r}{c_{s}}\right) \\ \frac{dV_{1}}{\partial t} &= -2i \overline{V}_{1}\!\left(s_{s}^{0}\right) \frac{y}{r^{2}} \sqrt{\frac{2r}{c}\left(t-\frac{r}{c}\right)} & \varepsilon\left(t-\frac{r}{c}\right) \end{split}$$

и такое же выражение для  $\sigma V_i di$  с заменой  $U^{(n)}$  на  $V^{(n)}$ .

Можно получить решение для соударения слоев конечной высоты 2h и получить асимптотику для больших t так, как сделано в [19], првчем  $\partial U/\partial x$  имеет тот же вид, что и для осесимметричной задачи, решеннов в  $\S 2$ .

§ 2. Получим решение задачи соударения упругих цилиндрических стержней радиуса є, причем при  $r>\epsilon$  среда заполнена жидкостью. Уравнения движения в цилиндрических координатах при наличии осевой симметрии для возмущений  $U_x=u_x-u_0$ ,  $U_r=u_r$  имеют нид (для  $r>\epsilon$ ) (фиг. 2)

$$\frac{\partial^2 U_r}{\partial t^2} = a^2 \frac{\partial \Delta}{\partial r} + 2b^2 \frac{\partial \omega_0}{\partial x}, \quad \frac{\partial^2 U_r}{\partial t^2} = a^2 \frac{\partial \Delta}{\partial x} - \frac{2b^2}{r} \frac{\partial}{\partial r} (r\omega_0) \quad (2.1)$$

где

$$\Delta = \frac{1}{r} \frac{\partial}{\partial r} \left( rU_r \right) + \frac{\partial U_r}{\partial x}, \quad \omega_0 = \frac{1}{2} \left( \frac{\partial U_r}{\partial x} - \frac{\partial U_r}{\partial r} \right)$$

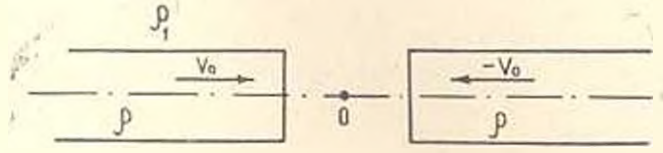
В дастся (1.1), а для r > є уравнення движення имеют вкд

$$\frac{\partial^{2}U_{1r}}{\partial t^{2}} = c^{2} \frac{\partial^{2}U_{1x}}{\partial r} = c^{2} \frac{\partial^{2}U_{1x}}{\partial t^{2}} = c^{2} \frac{\partial^{2}U_{1x}}{\partial x}$$

$$= \frac{1}{r} \frac{\partial}{\partial r} (rU_{1x}) + \frac{\partial}{\partial x}$$

$$Q_{1}$$

$$(2.2)$$



Фиг. 2,

Граничные условия на поверхности соударяющихся стержней берем в виде ( $r=\epsilon$ )

$$z_{rr} = e \left[ \frac{\chi \Delta}{\Delta} + 2b^{2} \frac{\partial U_{r}}{\partial r} - \frac{KV_{0}}{\alpha} \circ \left( t - \frac{|x|}{\alpha} \right) \right] = z_{1rr}$$

$$\frac{\partial u}{\partial r} = b^{2} \left( \frac{\partial U_{s}}{\partial r} + \frac{\partial U_{s}}{\partial x} \right) = 0, \quad U_{r} = U_{1rr} \quad \frac{z_{1rr}}{\varrho_{1}} = c^{2} \Delta_{1}$$
(2.3)

Решение задачи (2.1), (2.2), (2.3) ищем в виде

$$\overline{U}_{r} = \sum_{n=0}^{\infty} \int_{0}^{\infty} e^{i\alpha x} \int_{1} (r_{1}^{2} a_{n}) \overline{U}_{r}^{(n)} d\overline{\alpha} \qquad \overline{U}_{s} = \sum_{n=0}^{\infty} \int_{0}^{\infty} e^{i\alpha x} \int_{0}^{\infty} (2.4)$$

$$\overline{U}_{1r} = \int_{0}^{\infty} e^{i\alpha x} \int_{1} (r_{1}^{2} a_{n}) \overline{U}_{1r} d\overline{\alpha}, \qquad (2.4)$$

где

$$U_{*}^{(n)} = i \frac{\alpha \cdot \overline{\beta}_{1}^{2} - b \cdot \overline{\beta}_{2}^{2}}{(\alpha \cdot - b^{2}) z} U^{(n)}, \qquad U_{*} = \frac{i \beta_{3}}{\alpha} \overline{U}_{1*}$$

 $\beta_n$  — дается (1.5), а  $J_0$ ,  $J_1$  — функции Бесселя.

Подстанляя (2.4) в (2.3), получим

$$U^{(2)} = -\frac{2ik V_0 \overline{\alpha} \overline{\beta}_2 \int_1 (\overline{\epsilon} \overline{\beta}_1)}{a^{\frac{1}{2}}}$$

$$I_{1x} = \frac{k V_0 \overline{\beta}_2 \int_1 (\overline{\epsilon} \overline{\beta}_1)}{a^{\frac{1}{2}}}$$

$$F(\overline{1}) = b^2 k^2 \int_0 (\overline{\epsilon} \overline{\beta}_1) \int_1 (\overline{\epsilon} \beta_2) + 4b^3 2\beta_1 \overline{\beta}_2 \int_1 (\overline{\epsilon} \overline{\beta}_1) \int_2 (\overline{\epsilon} \beta_2) - \int_1 (\overline{\epsilon} \beta_1) \int_1 (\overline{\epsilon} \beta_2) \overline{\beta}_1 - \overline{\zeta}_1 (\overline{\epsilon} \beta_2) \overline{\beta}_1 - \overline{\zeta}_2 (\overline{\epsilon} \beta_2)$$

$$(2.5)$$

Подставляя (2.5) в (2.4), получим решение поставленной задачи, периодическое во времени 1. однако обратное преобразование Лапласа в простом виде записать не удается. Определим асимптотику решения для больших  $t_1$  в которой  $\omega s \rightarrow 0$ ,  $\omega r \rightarrow 0$ , тогда

$$F(z) \approx \frac{1}{2\alpha^{2}\beta_{1}^{2}} (3a^{2} - 4b^{2}) (z^{2} - z^{2}) (z^{2} - z^{2})$$

$$z_{1,1}^{4} - \frac{3a^{2} - 4b^{2} - c^{2}}{c^{2}(3a^{2} - 4b^{2})} \alpha^{2} - \frac{a^{2} - b^{2} - c^{2}}{b^{2}c^{2}(3a^{2} - 4b^{2})} = 0$$

$$(2.6)$$

Затем подстаним (2.6) в (2.5) с учетом (2.4) и того, что ос о,  $wr \to 0$ . Вычисляя в интегралах по я вычеты в точках  $z = a_{11} - a_{21} - a^{-1}$ при x>0 и  $a=-a_{11}-a_{21}=a^{-1}$  при x<0, можно получить асимптотику в виде

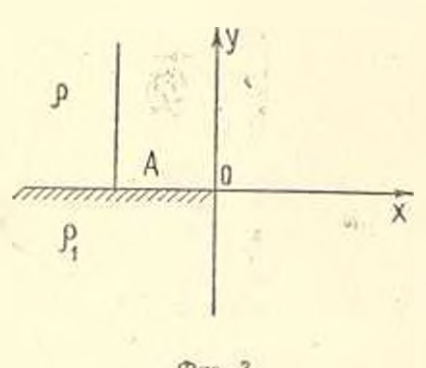
$$\frac{dV}{dx} = A \left[ \frac{\alpha_1 \beta_2^2 (\alpha_1) \sigma (t - \alpha_1 | x|)}{a} - \frac{\alpha_2 \beta_2^2 (\alpha_2) \sigma (t - \alpha_2 | x|)}{a} \right] - \frac{V_0}{a} \sigma \left( t - \frac{|x|}{a} \right)$$

$$\frac{\partial L_{1x}}{\partial x} = \frac{a^2 A}{K(a_1 - a_2)} \left[ z_{1x} \left( t - a_1 x \right) - a_2 z \left( t - a_2 |x| \right) \right], \quad A = -\frac{K V_A}{a^2 b^2 (3a^2 - 4b^2)}$$

где  $z_{1/2}^{-1}$  по (2.6) дают скорости волн вдоль поверхности стержней жидкостей. Таким образом, наличие жидкого полупространства влияет как на значения скоростей воли, так и на величину деформации.

При отсутствии жидкости c=0 и получим 2.  $c_0 = c_0 = 19$ ,  $c_0 = 10$ , и можно решать задачу соударения со смещанными граничными условиями.

§ 3. Рассматривается плоская задача соударения при смешанных граянчных условиях на поверхности стержней. Обозначим через х = -- 1



Our. 3.

координату точки соударения А, фиг. 3. Вначале рассмотрим значения l > 0, при которых точка А, фиг. 3, находится на жесткой опоре. Переходя к преобразона-HERM Admanda  $\overline{U}_1$   $\overline{V}_1$   $\overline{U}_2$ ,  $V_3$  or  $U_1$ V,  $U_1$ ,  $V_1$  по t, граничные условия можно записать в виде (y=0)

$$K \frac{\partial \overline{U}}{\partial x} + a^2 \frac{\partial V}{\partial y} + K \frac{\partial u_0}{\partial x} =$$

$$= \frac{\rho_1}{\sigma} c^2 \left( \frac{\partial \overline{V_1}}{\partial y} + \frac{\partial \overline{U_1}}{\partial x} \right) \text{ при } x > 0$$

$$V=V_1$$
 при  $x>0$ ;  $\overline{V}=\overline{V}_1=0$  при  $x<0$ 

$$\frac{\partial V}{\partial x} + \frac{\partial U}{\partial y} = 0, \quad -\infty < x < \infty \tag{3.1}$$

$$U_1, \overline{V}_1, \overline{V}_1 = O(r^{1/2}), r = |\overline{x^3 + y^2}| \to 0$$

(условие на ребре)

где  $\partial u_0/\partial x = -V_0/as \exp{(-x's'a)}$ , x' = x + l, U, V,  $\bar{U}_1$ ,  $\bar{V}_1$  дается (1.5). Подставляя (1.5) в (3.1) и проводя обратное преобразование Фурье по x, можно получить уравнение Винера— Хопфа

$$\frac{2ib^{3}}{a^{1}} \left(a^{2} - b^{2}\right) \sqrt{\frac{\omega}{b} - \overline{\lambda}} F^{-}(\overline{\lambda}) V^{-}(z) = \frac{\Omega_{0}^{+}(\overline{\lambda})}{F^{+}(\overline{\lambda})} + \frac{V_{0}K \exp(i\omega t/a)}{2\pi a\omega \left(\overline{\lambda} - \frac{\omega}{a}\right) \sqrt{\frac{\omega}{b} + \overline{\lambda}} F^{+}(\overline{\lambda})}, \quad \Omega_{0}^{+} = \Omega_{1}^{+} - \Omega^{+}$$

$$\Omega_{0}^{+} = \frac{1}{2\pi} \int_{-\infty}^{0} e^{-i\overline{\lambda}x} \left(\frac{\overline{\lambda}_{yy}}{b}\right)_{y=0} dx, \quad \Omega_{1}^{+} = \frac{1}{2\pi} \int_{-\infty}^{0} \frac{p_{1}}{b} c^{2} \left(\frac{\partial \overline{V}_{1}}{\partial y} + \frac{\partial \overline{U}_{1}}{\partial x}\right)_{y=0} e^{-i\overline{\lambda}x} dx$$

$$V^{-} = V_{1}^{-} - \frac{1}{2\pi} \int_{0}^{\infty} (\overline{V}_{1})_{y=0} \exp(-i\overline{\lambda}x) dx$$

$$F^{-}(\overline{\lambda}) = \frac{\sqrt{(\omega/a + \overline{\lambda})} (\omega/b + \overline{\lambda})}{\sqrt{(\omega/a + \overline{\lambda})} (\omega/b + \overline{\lambda})} \exp\left[\frac{1}{2\pi i} \int_{0}^{\omega/c} \ln \frac{R(\tau)}{R(\tau)} \frac{d\tau}{\tau - z}\right]$$

где (2) в V ( $\alpha$ ) аналитична соответственно в верхней и нижней полуплоскостих  $\alpha$ . Леная часть (3.2) аналитична в нижней полуплоскости, кроме  $\alpha$  -  $1/\alpha$ , где имеют простои полюс. Вычитая из обеих частей (3.2)

$$\frac{V_0 K \exp(i\omega l/a)}{2\pi a \omega (a - \omega la) \left[\frac{\omega l}{\omega l} + \frac{\omega lb}{a} F\right] (\omega la)} = B(a) \exp(i\omega l a)$$

н используя условие на ребре, можно показать, что обе части полученного уравнения тождествению равны нулю, причем решение уравнения Винера-Хопфа получится в виде

$$V = \frac{ia^{2}B(\alpha)\exp(i\omega l/a)}{2b^{2}(b^{2}-\alpha)^{2}\frac{\omega/b-\alpha}{b-\alpha}F^{-}(\alpha)} V_{1} = id_{2}(\alpha)\exp(i\omega l/a)$$

$$U_{1} = i\frac{\alpha}{a}d_{2}(\alpha)\exp(i\omega l/a) = id_{1}(\alpha)\exp(i\omega l/a)$$

$$U^{(1)} = \frac{ia^2\pi\chi B(a)\exp(i\omega l/a)}{2(b^2 - a^2)\omega^2\overline{\beta}_1F^{-}(\overline{a})|} = ia_1(a)\exp(i\omega l/a)$$

$$\overline{I}^{I(2)} = \frac{ia^2a\,\overline{\beta}_2\,B(a)\,\exp\left(i\omega\,I/a\right)}{(a^2-b^2)\,\omega^2\,I\,\overline{\omega/b-\overline{a}}\,I^{-}(\overline{a})} \qquad ia_2(a)\exp\left(i\omega\,I/a\right)$$

Аналогично (1.9) можно получить

$$\frac{\partial U}{\partial t^{2}} = -2\operatorname{Re} i \sum_{1} \frac{a_{n}(\alpha_{n})}{f_{n}(\alpha_{n})}, \quad \frac{\partial U}{\partial t^{2}} = -2\operatorname{Re} i \frac{d_{1}(\alpha_{3})}{f_{3}(\alpha_{3})}$$

$$f_{n}(\alpha_{n}) = i - \frac{1}{a} - \alpha_{n}x - \beta_{n}(\alpha_{n}) y = 0$$

$$\frac{\partial V}{\partial t^{2}} = -2\operatorname{Re} i \sum_{1} \frac{b_{n}(\alpha_{n})}{f_{n}(\alpha_{n})} \quad \frac{\partial V}{\partial t^{2}} = -2\operatorname{Re} i \frac{a_{2}(\alpha_{3})}{f_{3}(\alpha_{3})}$$

$$b_{3}(\alpha) = (a^{2}\beta_{1} - b^{2}\beta_{n}^{3}) \left[ (a^{2} - b^{2})\alpha_{n}^{2} \right]^{-1} a_{n}(\alpha)$$
(3.3)

Из (3.3) можно получить значения коэффициента при  $(1-x)^{-1}$  в зурь то есть коэффициента интенсивности напряжений  $(y=0, x\to -0)$ 

$$\frac{z_{yy}}{p} = \frac{2V_0 K}{|t - x|} \left[ \frac{1}{a} = \left(t - \frac{l}{a}\right) \right]$$

$$\frac{z_{1yy}}{p_1} = \frac{aV_0 K \left[ ab(-x)^{3/2} = (t - l/a) \right]}{3 - b^4 (a^2 - b^2) \left[ a^2 + b^2 F^+ (1/a) (t - l/a)^{3/2} \right]}$$

§ 4. Рассмотрим теперь случай, когда ( 0, то есть соударение стержне происходит вне жесткой опоры.

Аналогично § 3 можно получить уравнение Винера-Хопфа

$$\frac{2ib^{2}}{a^{2}}(a^{2}-b^{2}) \mid \overline{b} \mid F^{-}(a) V^{-} = \frac{1}{|w/b+\alpha F|^{2}(a)} + \frac{V_{0} \exp(s|l/a)}{2\pi a^{\omega}(w/a+\alpha) \mid w/b+\alpha F|(a)} + \frac{V_{0} \exp(s|l/a)}{2\pi a^{\omega}(w/a+\alpha) \mid w/b+\alpha F|(a)} + \frac{V_{0}K}{a^{2}X^{-}(a) \mid w/a+\alpha(a-\omega)}$$

$$f(\overline{a}) = \frac{V_{0}K}{a^{2}X^{-}(a) \mid w/a+\alpha(a-\omega)}$$

$$f(\overline{a}) = \frac{F^{-}(a) \mid (w,a+\alpha)(w,b+\alpha)}{w/c_{R}+\alpha}$$
(4.1)

гле V , F ,  $Q_0$  дается (3.2),  $\alpha_R = w/c_R$ .

Для того, чтобы применить метод Винера-Хопфа, необходимо AD представить как сумму двух функций, одна из которых аналитична в нижней полуплоскости, в другая— в верхней полуплоскости плоскости 2,

$$f_1(a) = f_1(a) + f_1(a)$$
 (4.2)

Можно показать, что | 14|

$$f_{1}(\overline{s}) = \int_{\overline{s}} \varphi(z, \overline{s}) e^{iz\overline{s}} dz$$

$$\overline{z} = \varphi_{1}(z, \overline{s}), \quad z \in \left(-\infty \infty, -\frac{\omega}{c}\right)$$

$$\frac{\overline{z}b^{i}\overline{\beta}_{3}(z) \times \overline{z}(z)}{\overline{R}(\overline{z})} = \varphi_{2}(z, \overline{s}), \quad z \in \left[-\frac{\omega}{c}, -\frac{\omega}{b}\right]$$

$$\frac{\overline{z}b^{i}\overline{\beta}_{3}(z)}{\overline{R}(z)} [\overline{Z}^{2}(z) - 4z^{2}\overline{\beta}_{1}(z) \overline{\beta}_{2}(z)] = \varphi_{3}$$

$$z \in \left[-\frac{\omega}{b}, -\frac{\omega}{a}\right]$$
(4.3)

$$\xi\left(\mathbf{t},\;\overline{\mathbf{a}}\right) = V_{0}K\left[\pi^{\mathbf{x}}a^{\mathbf{x}}X^{+}\left(\mathbf{t}\right)\sqrt{-\frac{\mathbf{a}}{a}-\mathbf{b}}\left(\mathbf{t}+\frac{\mathbf{a}}{c_{R}}\right)\left(\mathbf{t}-\frac{\mathbf{a}}{a}\right)\left(\mathbf{t}-\overline{\mathbf{a}}\right)\right]^{-1}$$

причем под X (\*) подразуменаются граничные значения  $X^*$  (\*) снер\* ху на участке —  $\varpi/c = \pi < -\pi \omega/a$ .

Подставляя (4.3), (4.2) в (4.1) и решая урапнение Винера-Хопфа, можно получить

$$\overline{U}^{(n)} = iA_1^{(n)} e^{i\overline{z}l} + i\sum_{k=1}^{3} \int_{-\infty/e_k}^{\infty} A_{2,k}^{(n)}(z,\overline{z}) e^{izl} dz$$

$$\overline{V}_1 = iD_1 e^{i\overline{z}l} + i\sum_{k=1}^{3} \int_{-\infty/e_k}^{\infty} D_{2,k}(z,\overline{z}) e^{izl} dz$$

и такое же выражение для  $V^{(n)}$ , где A заменено на B, причем

$$A_{1}^{(1)} = \frac{a^{3}zJ_{1}(a)\lambda_{k}(z, a)}{2(a^{2} - b^{2})V_{1n}/b - aF^{-}(a)\beta_{1}(a)\omega^{2}}$$

$$= \frac{a^{3}zJ_{1}(a)\lambda_{k}(z, a)}{2(a^{2} - b^{2})V_{1n}/b - aF^{-}(a)\beta_{1}(a)\omega^{2}}$$

$$= \frac{\gamma(a)A_{1}^{(2)} = -23_{1}\beta_{2}A_{1}^{(1)}}{(a^{2} - b^{2})a\beta_{1}},$$

$$= \frac{a^{2}zJ_{1}(a)\lambda_{k}(z, a)}{(a^{2} - b^{2})V_{1n}/b - aF^{-}(a)\beta_{1}(a)\omega^{2}}$$

$$= \frac{a^{2}zJ_{1}(a)\lambda_{k}(z, a)}{(a^{2} - b^{2})\sigma^{2}}$$

$$= \frac{a^{2}zJ_{1}(a)\lambda_{k}(z, a)}{(a^{2} - b^{2})\sigma^{2}}$$

Аналогично (1.9) можно получить при / <= 0

$$\frac{\sigma^{n}U}{\partial t^{2}} = -2\operatorname{Re} i \sum_{n=1}^{\infty} \left| \frac{A_{2,k}^{(n)}(a_{2}^{(n)}, \xi) d^{2}}{f_{2}^{(n)'}(a_{2}^{(n)}, \xi)} \right| -\frac{1/c_{k}}{f_{2}^{(n)'}(a_{2}^{(n)}, \xi)} \\
= -2\operatorname{Re} i \left| \frac{-1/c_{k}}{f_{3}(a_{3})} + \sum_{k=1}^{\infty} \int_{-\infty}^{\infty} \frac{D_{2,k}(a_{4}, \xi) d^{2}}{f_{4}(a_{4})} \right| \\
f_{1}^{(n)}(a_{1}^{(n)}) = i - (x+l) - y_{k}(a_{1}^{(n)}) = 0 \qquad (4.5)$$

$$f_{2}^{(n)}(a_{2}^{(n)}, \xi) = i - a_{2}^{(n)}x - y\beta_{n}(a_{2}^{(n)}) - \xi l = 0$$

$$f_{3}(a_{3}) = i - (x+l)a_{3} - y\beta_{3}(a_{3}) = 0$$

$$f_{4}(a_{4}, \xi) = i - xa_{4} - y\beta_{1}(a_{4}) - \xi l = 0$$

и такое же выражение для  $\hat{\sigma}^{\circ}V/\partial t^{2}$ , гле A заменено на B.

В (4.5) функции A, B, D находятся из (4.4), (4.3), где положено  $\omega=1$ .

Из (4.5) можно получить значения коэффициента интенсивности напряжений для обеих сред  $(y=0,x\to-0)$ 

$$= -4\sum_{k=1/6}^{2} \int_{-1/6}^{-1/6} \frac{1-x}{1-x} u_{k}(z) z(t-zt) dz$$

$$= -\frac{2\rho a^{2}(-z)}{3b^{2}(a^{2}-b^{2})} \int_{k=1}^{2} \int_{-1/6}^{-1/6} \frac{\mu_{k}(z)}{(t-zt)^{3/2}} z(t-zt) dz$$

где  $\mu_k(z) = \lambda_k(z,z)(z-a)$ , причем решение равно нулю при z < -1/c.

Педагогический институт им. X, Абовяна

Поступнаа 5 11 1981

Ա. Ъ. ՄԱՐՏԻՐՈՍՅԱՆ

ՄԻ ՔԱՆԻ ՈՉ ՍՏԱՑԻՈՆԱՐ ԵԶՐԱՅԻՆ ԽԵԳԻՐԵՍՐ ՀԵՂՈՒԿԻ ՀԵՏ ՍԱՀՄԱՆԱԿՑՈՂ ԱՌԱՁԳԱԿԱՆ ՄԻՋԱՎԱՅՐԻ ՀԱՄԱՐ

### Ամփոփում

Ստացված է անալիտիկ լուծում հեղուկի հետ սահմանակցող `արք և առանցրասիմեարիկ մարմինների առածդական խնդրի համար խառը եղրային պայմանների առկայությամբ։ Լուծումը որոշված է Սմիրնով—Սորոլևի ձևով, դանված է լարումների ինտենսիվության դործակցի արժերը ամրակցման մատակայթում։

# SOME UNSTEADY BOUNDARY PROBLEMS FOR ELASTIC MEDIUM BOUNDED BY FLUID

#### A. N. MARTIROSIAN

## Summary

Analytic solution for the elastic problem of impact of plane and axial symmetric bodies bounded with fluid in the presence of mixed boundary conditions is obtained. The solution in the Smirnov-Sobolev form is determined; the value of coefficient of intensity of stress near the support is found. For the small value of height or radius respectively in plane or axial symmetric problems, the simple formulae for elastic displacements corresponding to the asymptotic one-dimensional solution in the form of core waves are given.

#### **ЛИТЕРАТУРА**

- Франк Ф., Милес Р. Дифференциальные и нитегральные уравнения математической физики. М.—А.: ОНТИ, 1937.
- 2. Бобич В. М., Капилеоич М. Б. и др. Анкейные уравнения математической физики. М.: Изд. Наука, 1964.
- Векна И. Н. К вопросу распространения упругих воли в бескопечном слое, ограниченном двумя параллельными плоскостями. Тр. Тбилисск. геофия. ин-та, 1937, т. 2.
- Черепинов Г. П. Дифракция упругих воли на разрезе.—В сб. Механика сплошнов среды и родственные проблемы акализа М.: Изд. Наука, 1972.
- Зволинский Н. В., Флитман А. М., Костров Б. В., Афанасьев В. А. Некоторые задачи дифракции упругих воли. В сб. Приложения теории функций в механиксилошной среды, т. 1. М.: Изд. Наука, 1965.
- б. Сосклю В А. К решению динамических задач плоской теории упругости для апизотропного тела.— ПММ, 1961, т. 25, вып. 5.
- 7. Mayo A. Die Entspannungswelle bei plützlichen Einschnitt eines gespannten elastischen Körpers. ZAMM, 1954, BD. 34, H 1/2.
- 8. Каньяр A. Reflaxion of refraction des ondes seismiques progressives. Paris: Gauthier — Villards, 1939.
- 9. Boxep B. Dynamic stresses created by a moving crack. Trans. ASME, Sor. E., J. Appl. Mach., 1962, vol. 29. No. 3.
- Петрашень Г. И., Марице Г. И., Озденов К. И.— Ун. зап. АГУ 1950, № 135.
- Ватлиса А. Г. Определегие фундаментальных решений для уравнений магнетоупрукости.— Изв. АН АрмССР, Механика, 1974, т. 27, № 2.
- 12. Болдова А. Г., Мантиросян А. Н. Решение ряда нестационарных пространственных радач для сплошной среды ири наличии сосредоточенных пипульсов.— Изв. АН Арм.ССР, Механика, 1974, т. 27, № 3,
- Будась В. С. Об однов красвой задаче динамической теории упругих анизотролных сред.—ПМТФ, 1974, № 3.
- Выглово А. Г. Мартироски А. Н. Решение нествинопарион задачи для анилотропной упругой плоскости с полубескомечным разрезом, на праняцих которого заданы пормальный и касательный импульсы.— М. 1. 1976. № 1.
- 15. Мартиросян А. Н. Решенне исстационарной граничной задачи для магнитоупругой среды.— Изв. АН Арм.ССР, Мехеника, 1974, т. 27, № 6.

- 16. Малков М. А. Длумерная задача об упругом гоздарении стержией. Дока. All СССР, 1965, т. 148, № 4.
- Skuluk R. Longitudinal Impact of some Infinite bars.—Journal of Applied Mechanics. 1957, 24, 1, 59-64.
- 19 Богдося А. Г., Мартиросян А. Н. Задача соударения стержией при смешания и граничные условиях.— Дока. АН СССР, 1976, т. 226, № 3.
- 20. Гатоладае III Г Дисперсия поли Рэлея в слос. Тр. сенемолог, ин-та АН СССР, 119, 1947.